

**PENGEMBANGAN, UJI TOKSISITAS, PROFIL FARMAKOKINETIK
DAN KAJIAN METABOLISME SENYAWA TURUNAN PIRAZOLO-(3,4-D)-
PIRIMIDIN SEBAGAI INHIBITOR MER SECARA INSILICO**



SKRIPSI

Diajukan untuk Memenuhi Salah Satu Syarat Meraih Gelar Sarjana Farmasi
Jurusan Farmasi Pada Fakultas Ilmu Kesehatan
UIN Alauddin Makassar

Oleh:

UN MUH. HIDAYAT NEGERI
NIM. 70100110067
ALAUDDIN
M A K A S S A R

**FAKULTAS ILMU KESEHATAN
UIN ALAUDDIN MAKASSAR
2014**

**PENGEMBANGAN, UJI TOKSISITAS, PROFIL FARMAKOKINETIK
DAN KAJIAN METABOLISME SENYAWA TURUNAN PIRAZOLO-(3,4-D)-
PIRIMIDIN SEBAGAI INHIBITOR MER SECARA INSILICO**



SKRIPSI

Diajukan untuk Memenuhi Salah Satu Syarat Meraih Gelar Sarjana Farmasi
Jurusan Farmasi pada Fakultas Ilmu Kesehatan
UIN Alauddin Makassar

Oleh:

MUH. HIDAYAT
NIM. 70100110067

UNIVERSITAS ISLAM NEGERI
ALAUDDIN
M A K A S S A R

**FAKULTAS ILMU KESEHATAN
UIN ALAUDDIN MAKASSAR
2014**

PERNYATAAN KEASLIAN SKRIPSI

Mahasiswa yang bertanda tangan di bawah ini:

Nama : Muh. Hidayat
NIM : 70100110067
Tempat/Tanggal Lahir : Ujung Pandang/20April 1993
Jurusan : Farmasi
Fakultas : Ilmu Kesehatan
Alamat : Jl. SerkaMunir No. 51

Judul: Pengembangan, Uji Toksisitas, Profil Farmakokinetik

Dan Kajian Metabolisme Senyawa Turunan Pirazolo-
(3,4-D)-Pirimidin Sebagai Inhibitor Mer Secara
Insilico

Menyatakan dengan sesungguhnya dan penuh kesadaran bahwa skripsi ini benar adalah hasil karya sendiri. Jika di kemudian hari terbukti bahwa ia merupakan duplikat, tiruan, plagiat, atau dibuat oleh orang lain, sebagian atau seluruhnya, maka skripsi dan gelar yang diperoleh karenanya batal demi hukum.

UNIVERSITAS ISLAM NEGERI Makassar, 19 Juli 2014

ALAUDDIN
M A K A S S A R
Penyusun,

Muh.Hidayat
NIM: 70100110067

PENGESAHAN SKRIPSI

Skripsi yang berjudul “Pengembangan, Uji Toksisitas, Profil Farmakokinetik dan Kajian Metabolisme Senyawa Turunan Pirazolo-(3,4-D)-Pirimidin Sebagai Inhibitor Mer Secara Insilico” yang disusun oleh Muh. Hidayat, NIM: 70100110067, Mahasiswa Jurusan Farmasi Fakultas Ilmu Kesehatan UIN Alauddin Makassar, diuji dan dipertahankan dalam Ujian Munaqasyah yang diselenggarakan pada hari Kamis tanggal...Agustus2014 M yang bertepatan dengan tanggal....1435 H, dinyatakan telah dapat diterima sebagai salah satu syarat untuk memperoleh gelar Sarjana dalam Fakultas Ilmu Kesehatan, Jurusan Farmasi.

Gowa, 26 Juni 2014 M
28 Sya'ban1435 H

DEWAN PENGUJI

Ketua	:Fatmawaty Mallapiang, S.KM., M.Kes.	(.....)
Sekretaris	: Mukhriani, S.Si., M.Si., Apt.	(.....)
Pembimbing I	: Nursalam Hamzah, S.Si., M.Si., Apt.	(.....)
Pembimbing II	: Nurmaya Effendi, S.Si., M.Sc., Apt.	(.....)
Penguji I	:Surya Ningsi, S.Si., M.Si., Apt..	(.....)
Penguji II	: Dr. Abdullah, S.Ag., M.Ag.	(.....)

Diketahui oleh:
Plt. Dekan Fakultas Ilmu Kesehatan
UIN Alauddin Makassar,

Prof. Dr. H. Ahmad M. Sewang, M.A.
NIP. 19520811 198203 1 001

KATA PENGANTAR

Puji dan syukur yang sebesar-besarnya penulis panjatkan kepada Allah swt. atas limpahan rahmat, rezeki dan karunia-Nya, sehingga skripsi yang berjudul "Pengembangan, Uji Toksisitas, Profil Farmakokinetik dan Kajian Metabolisme Senyawa Turunan Pirazolo-(3,4-D)-Pirimidin Sebagai Inhibitor Mer Secara Insilico " ini dapat diselesaikan dengan baik. Skripsi ini disusun sebagai salah satu syarat untuk meraih gelar Sarjana dari Program Studi Farmasi pada Fakultas Ilmu Kesehatan UIN Alauddin Makassar.

Dalam kesempatan ini, penulis juga ingin menyampaikan terima kasih yang sebesar-besarnya kepada pihak-pihak yang telah membantu penelitian ini hingga skripsi ini selesai dibuat, terutama kepada:

1. Ibunda Bau Lawang Almh, Bibi Syamsinar, Paman Abdu, serta semua anggota keluarga yang senantiasa memberi dukungan dengan setulus hati.
2. Bapak Prof. Dr. H. A. Qadir Gassing HT., M.S. selaku Rektor UIN Alauddin Makassar dan bapak Prof. Dr. H. Ahmad M. Sewang, M.A. selaku Dekan Fakultas Ilmu Kesehatan.
3. Ibu Fatmawaty Mallapiang, S.KM., M.Kes selaku Wakil Dekan I, ibu Dra. Hj. Faridha Yenny Nonci, M.Si., Apt. selaku Wakil Dekan II, dan bapak Drs. Wahyuddin G, M.Ag. selaku Wakil Dekan III Fakultas Ilmu Kesehatan.
4. Bapak Nursalam Hamzah, S.Si., M.Si., Apt. selaku pembimbing I dan Ibu Nurmaya Effendi, S.Si., M.Sc., Apt. selaku pembimbing II yang telah memberikan bimbingan dan pengarahan untuk menyelesaikan skripsi ini.

5. Ibu Surya Ningsi, S.Si., M.si., Apt., selaku penguji I dan bapak Dr. Abdullah, S.Ag., M.Ag. selaku penguji II yang telah memberikan saran dan pengarahan untuk menyelesaikan skripsi ini.
6. Teman-teman seperjuangan di Farmasi angkatan 2010 “Corrigensia”, kelas B, Naswina Putrianti, Fitriya Sakinah, Kamsia Dg. Paewa, Fathiyah Nuhrang, Fatmawati, Firdyawati, Hasriadi, Hasriani, Heriana, Husnul Khatimah S, Ika Lismayani, Ika Misqawati, Irna Umar, Israyani, Isrul Zulfajrin, Juliandri, Jumatia, Jurandi Efendi, Khairunnisa, Muh. Agus Safar, Muh. Ali Khumaini, Muhammad Basir, Mukhlis Rauf, Mumang, Mustakim Masnur, Nasrawati Basir, dan Mir’atun Syarifah.
7. Kakak-kakak dan adik-adik di Farmasi UIN Alauddin Makassar yang juga selalu memberi dukungan, serta pihak-pihak yang tidak sempat dituliskan.

Penulis menyadari sepenuhnya bahwa skripsi ini masih jauh dari sempurna. Oleh karena itu, masukan berupa saran dan kritik yang membangun sangat diharapkan demi menyempurnakan kekurangan yang ada. Semoga tulisan ini bermanfaat dengan segala keterbatasannya.

Makassar, Juli 2014

Penulis

DAFTAR ISI

JUDUL		i
PERNYATAAN KEASLIAN SKRIPSI		ii
PENGESAHAN		iii
KATA PENGANTAR		iv
DAFTAR ISI		vi
DAFTAR LAMPIRAN		ix
DAFTAR TABEL		x
DAFTAR GAMBAR		xi
ABSTRAK		xii
BAB I	PENDAHULUAN	1-8
	A. Latar Belakang Masalah	1
	B. Rumusan Masalah	5
	C. Defenisi operasional dan ruang lingkup penelitian	6
	D. Kajian Pustaka	7
	E. Tujuan dan Kegunaan Penelitian	8
	1. Tujuan Penelitian	8
	2. Kegunaan Penelitian	8
BAB II	TINJAUAN TEORITIS	9-31
	A. Tinjauan Islam	9
	B. Leukimia	15
	C. Leukemia Limfositik Akut (ALL)	18

	D. TAM Reseptor Tyrosine Kinase	23
	E. Mer Tirosin Kinase	24
	F. Tahapan Pengujian Obat Berbasis Komputer	25
	1. Prediksi target obat	27
	2. Repositioning Obat	29
	3. Interaksi Protein Ligand	29
	4. Skrining Virtual dan Optimasi Penuntun	30
	5. Prediksi In Silico dari Sifat ADME/T	30
BAB III	METODOLOGI PENELITIAN	32-39
	A. Jenis dan Lokasi Penelitian	32
	1. Jenis Penelitian	32
	2. Lokasi Penelitian	32
	B. Pendekatan Penelitian	32
	C. Alat dan Bahan	32
	1. Perangkat Keras	32
	2. Perangkat Lunak	32
	D. Prosedur Kerja	33
BAB IV	HASIL PENELITIAN DAN PEMBAHASAN	40-55
BAB V	PENUTUP	56-67
	A. Kesimpulan	56
	B. Implikasi Penelitian	67
	KEPUSTAKAAN	68-70
	LAMPIRAN-LAMPIRAN	71



DAFTAR TABEL

Tabel III.1	SAR pirazolo-[3,4-d]-pirimidin sebagai inhibitor Mer	34
Tabel III.2	Hasil perhitungan IC50 senyawa turuna pirazolo[3,4d]pirimidin	35
Tabel III.2	Daftar deskriptor	36
Tabel IV.1	Senyawa Pengembangan Terpilih	44
Tabel IV.2	Model persamaan terpilih (inhibitor reseptor keluarga TAM)	46
Tabel IV.3	Hasil prediksi toksisitas dan hasil degradasinya oleh toxtree dan admetsar	49
Tabel IV.4	Hasil prediksi farmakokinetik dengan admetsar dan DemPred	58



DAFTAR GAMBAR

Gambar II.1	Gambar II. 1 Peperangan antara sel kanker (merah jambu) dan limfosit (kuning)	10
Gambar II.2	Jika diperlukan, dengan penuh disiplin sel akan bunuh diri	11
Gambar II.3	Proses sel sehat berubah menjadi sel kanker. Sel normal seperti yang tampak di sebelah kiri melakukan bunuh diri atau berubah menjadi sel kanker karena mengalami berbagai mutasi genetik	13
Gambar II.4	Gambar A menunjukkan gambar dari sel-sel sumsum tulang normal. Perbedaan dari penampakan pada sel-sel adalah karakteristik sum-sum tulang normal. Gambar B menunjukkan gambar dari sel-sel sumsum tulang dari pasien ALL. Tidak adanya perbedaan penampakan adalah karakteristik dari sel-sel ledakan leukemia (<i>leukemic blast</i>)	19
Gambar II.5	Sumbu horizontal menunjukkan 4 tahun interval. Sumbu vertikal menunjukkan frekuensi dari kasus baru per 100,000 pada tiap kelompok usia. Tercatat bahwa kemungkinan ALL paling besar pada 5 tahun pertama. Peristiwa bertambah juga terlihat pada individu yang lebih tua	20
Gambar II.6	ALL1 <i>lymphoblast</i>	21
Gambar II.7	ALL2 <i>lymphoblast</i>	22
Gambar II.8	ALL3 <i>lymphoblast</i>	23

Gambar II.9	skematis dari reseptor TAM dan ligannya yaitu protein S dan Gas6. a, Struktura utama dari keluarga reseptor TAM. b, Dua ligan reseptor TAM, Protein S dan Gas6, juga bagian struktur domain umum	24
Gambar II.10	jalur sinyal Mer pada agregasi platelet, keselamatan sel, regulasi dari produksi sitokin proinflamasi, dan regulasi dari sitoskeleton aktin	25
Gambar II.10	senyawa PP7 dan PP28	26
Gambar II.11	Skema diagram perbandingan (A) konvensional docking dan (B) <i>reverse docking</i> pada 'hit' identification	28
Gambar III.1	Pirazolo-[3,4- <i>d</i>]-pirimidin	32
Gambar III.2	Jendela <i>Hyperchem</i>	33
Gambar III.3	Jendela <i>Database Viewer</i>	36
Gambar III.4	Jendela Chemical Reactivity and Fate Tool (CRAFT)	38
Gambar III.5	Jendela Chemical Reactivity and Fate Tool (CRAFT)	38
Gambar III.6	Jendela Plug in Chemical Reactivity and Fate Tool (CRAFT)	38
Gambar III.7	CRAFT Explorer – Reaction generation options page	39
Gambar III.8	CRAFT Explorer – Reaction generation options page	40
Gambar III.9	CRAFT Explorer – Reaction generation options page	41
Gambar III.10	CRAFT Explorer – Result and reports page	41
Gambar III.11	Jendela Toxtree	42

Gambar III.12	Jendela AdmetSAR	43
Gambar III.13	Jendela DemPred	43



ABSTRAK

Nama : Muh.Hidayat

NIM : 70100110067

Judul : Pengembangan, Uji Toksisitas, Profil Farmakokinetik, Dan Kajian Metabolisme Senyawa Turunan Pirazolo-[3,4-D]-Pirimidin Sebagai Inhibitor Mer Secara Insilico

Reseptor Mer merupakan target penting untuk pengembangan molekul dalam onkologi karena hanya diekspresikan pada sel T pada Leukimia Limfoblastik akut dan tidak diekspresikan pada sel T normal dan merupakan inhibitor kompetitif ATP kinase. Tujuan penelitian ini adalah mengembangkan senyawa turunan Pirazolo-[3,4-D]-pirimidin kemudian memilih senyawa kandidat yang aktif dan selektif untuk reseptor mer kemudian menentukan profil farmakokinetik, toksisitas, dan toksisitas metabolit untuk pengobatan kanker Leukimia Limfoblastik akut secara insilico. Prosedur dimulai dengan pemodelan dan optimasi geometri struktur molekul yang dibuat dengan HyperChem 8.0. Optimasi geometri dilakukan dengan metode *Ab initio*. Deskriptor HKSA dihitung dengan menggunakan MOE 2009. Selanjutnya dilakukan kajian biodegradasi dengan CRAFT, pengujian toksisitas dengan Toxtree dan AdmetSAR, serta penentuan profil farmakokinetik dengan menggunakan AdmetSAR dan DemPred.



ABSTRACT

Name : Muh. Hidayat

NIM : 70100110067

Title: Development, Toxicity Test, Pharmacokinetic Profile, and Metabolism Evaluation Derivate Pirazolo-[3,4-D]-Pyrimidin As Mer Inhibitor By Insilico

The Mer receptor is an important target for development of molecular probes in oncology because just expressed by T-cell Acute Leukemia Lymphoblastic and not expressed by T-cell normal and a ATP kinase competitive inhibitor. The purpose of this research is development derivate Pyrazolo-[3,4-D]-pyrimidin then choose candidate active and selective chemicals for Mer receptor to be a treatment for acute leukemia lymphoblastic by insilico. Procedures are began with modeling and geometry optimization of molecular structure which made by HyperChem 8.0. Geometry optimization was performed by *Ab initio* method. QSAR descriptors were calculated by MOE 2009. The next step is evaluation metabolism biodegradation with CRAFT, Toxicity with Toxtree and AdmetSAR, and determine pharmacokinetic profile with AdmetSAR and DemPred.



BAB I PENDAHULUAN

A. Latar Belakang Masalah

Allah berfirman dalam QS Al Mulq/ 67: 3 :

الَّذِي خَلَقَ سَبْعَ سَمَوَاتٍ طِبَاقًا ۗ مَا تَرَىٰ فِي خَلْقِ الرَّحْمَنِ مِن تَفْوُتٍ ۗ
فَارْجِعِ الْبَصَرَ هَلْ تَرَىٰ مِن فُطُورٍ ﴿٣﴾

Terjemahnya: Yang telah menciptakan tujuh langit berlapis-lapis. Kamu sekali-kali tidak melihat pada ciptaan Tuhan Yang Maha Pemurah sesuatu yang tidak seimbang. Maka lihatlah berulang-ulang, adakah kamu lihat sesuatu yang tidak seimbang?

Menurut tafsir Ibnu Katsir *الَّذِي خَلَقَ سَبْعَ سَمَوَاتٍ طِبَاقًا* “Yang telah menciptakan tujuh langit berlapis-lapis.” Yakni, tingkat demi tingkat. Apakah lapisan-lapisan langit itu bersambungan, apakah sebagian lapisan langit berada di atas sebagian lainnya atau masing-masing terpisah, yang di antara lapisan-lapisannya ada ruang hampa udara? Mengenai hal ini terdapat dua pendapat, dan yang paling benar di antara keduanya adalah pendapat kedua, sebagaimana hal itu ditunjukkan oleh hadits isra’ dan lain-lain.

Firman Allah Ta’ala *مَا تَرَىٰ فِي خَلْقِ الرَّحْمَنِ مِن تَفْوُتٍ* “Kamu sekali-kali tidak melihat pada ciptaan Rabb Yang Maha Pemurah sesuatu yang tidak seimbang,” Maksudnya, semuanya saling bersesuaian dan seimbang. Tidak ada pertentangan, benturan, ketidakcocokan, kekurangan, aib, dan kerusakan. Oleh karena itu, Dia berfirman *فَارْجِعِ الْبَصَرَ هَلْ تَرَىٰ مِن فُطُورٍ* “Maka lihatlah berulang-ulang, adakah kamu lihat sesuatu yang tidak seimbang?” Yakni, lihatlah ke langit dan telitilah, apakah terdapat cacat, kekurangan, kerusakan atau ketidak seimbangan padanya? Ibnu‘Abbas, Mujahid,

adh-Dhahhak, ats-Tsauri, dan lain-lain mengenai firman Allah Ta'ala. *أَلْبَصَرَ هَل تَرَى مِنْ فُطُورٍ* “Maka lihatlah berulang-ulang, adakah kamu lihat sesuatu yang tidak seimbang!”
 Yakni pecah. As-Suddi mengatakan *هَل تَرَى مِنْ فُطُورٍ* “Adakah kamu lihat sesuatu yang tidak seimbang,” yakni, kerusakan. Ibnu ‘Abbas mengatakan dalam sebuah riwayat *مِنْ فُطُورٍ* yakni kelemahan (Isma’il, 2000: 506-507)

Seperti diterangkan ayat-ayat di atas, Allah memerintahkan manusia untuk mempelajari dan mengkaji berbagai aspek dunia, seperti langit, hujan, tumbuhan, binatang, kelahiran, dan bentangan geografis. Cara untuk menyelidiki semua ini adalah melalui sains. Pengamatan ilmiah memperkenalkan manusia pada misteri penciptaan, dan akhirnya pada pengetahuan, kebijakan dan kekuasaan tanpa batas yang dimiliki Allah. Sains adalah suatu cara untuk mengenal Allah dengan tepat, dan karena itulah sepanjang sejarah, sejumlah ilmuwan yang memberikan sumbangan besar bagi kemanusiaan telah beriman kepada Allah, termasuk di dalamnya yaitu penemuan obat baru dalam menyembuhkan suatu penyakit. Dewasa ini, salah satu penyakit yang sangat membutuhkan penemuan-penemuan obat yaitu kanker.

Kanker adalah penyakit akibat pertumbuhan tidak normal dari sel-sel jaringan tubuh yang berubah menjadi sel kanker. Dalam perkembangannya, sel-sel kanker ini dapat menyebar ke bagian tubuh lainnya sehingga dapat menyebabkan kematian (Rahmawati, 2013: 1).

Di Indonesia diprediksi tiap tahun terdapat penderita kanker baru dari 100.000 penduduk, 2 persen diantaranya atau 4.100 kasus merupakan kanker anak. Angka ini terus meningkat lantaran kurangnya pemahaman orang tua mengenai penyakit kanker dan bahayanya (Chandrayani, 2009:2). Salah satu kanker yang sering kita temui yaitu leukemia.

Leukemia adalah kanker yang disebabkan pertumbuhan tidak normal pada sel darah putih (leukosit), dimana sel darah putih muda tidak menjadi matang seperti

seharusnya melainkan menjadi sel yang dikenal sebagai sel leukemia (Rahmawati, 2013: 1).

Dibandingkan dengan penyakit kanker lain seperti kanker paru dan kanker payudara, leukemia (kanker darah) termasuk kanker yang jarang terjadi. Meskipun demikian, leukemia merupakan jenis kanker yang paling banyak ditemukan pada anak dibawah umur 15 tahun. Pada anak-anak, leukemia yang terjadi pada umumnya adalah leukemia akut yaitu Leukemia Limfositik Akut (LLA) dan Leukemia Mielositik Akut (LMA) dimana Leukemia Limfositik Akut (LLA) pada anak 5 kali lebih sering terjadi dibandingkan dengan Leukemia Mielositik Akut (LMA) (Chandrayani, 2009:1).

Insiden leukemia 2,5-4,0 per 100.000 anak dengan estimasi 2000-3200 kasus baru jenis ALL tiap tahunnya. Dari penelitian yang dilakukan di Rumah Sakit Dr. Sardjito Universitas Gadjja Mada Yogyakarta 30-40 leukemia anak jenis ALL didiagnosa setiap tahun (Chandrayani, 2009:2).

Leukemia Limfoblastik Akut (ALL) merupakan kanker yang paling umum pada anak-anak dan menunjukkan hampir 30% dari seluruh kanker anak. Walaupun banyak tipe ALL pada anak-anak yang dapat disembuhkan, sel T ALL, sebuah sub tipe yang menjadi penyebab 10-15% pada kasus ALL anak memiliki prognosis yang lebih buruk. Pada 5 tahun tingkat keselamatan yang terjadi sakit dan sembuh yaitu pada 60–75% rata dengan pengobatan yang efektif (Liu Jing *et al*, 2012: 129).

حَدَّثَنَا مُحَمَّدُ بْنُ الْمُثَنَّى حَدَّثَنَا أَبُو أَحْمَدَ الزُّبَيْرِيُّ حَدَّثَنَا عُمَرُ بْنُ
سَعِيدِ بْنِ أَبِي حُسَيْنٍ قَالَ حَدَّثَنِي عَطَاءُ بْنُ أَبِي رِيَّاحٍ عَنْ أَبِي
هُرَيْرَةَ رَضِيَ اللَّهُ عَنْهُ عَنِ النَّبِيِّ صَلَّى اللَّهُ عَلَيْهِ وَسَلَّمَ قَالَ مَا أَنْزَلَ
اللَّهُ دَاءً إِلَّا أَنْزَلَ لَهُ شِفَاءً

Telah menceritakan kepada kami *Muhammad bin Al Mutsanna* telah menceritakan kepada kami *Abu Ahmad Az Zubairi* telah menceritakan kepada kami

'Umar bin Sa'id bin Abu Husain dia berkata; telah menceritakan kepadaku 'Atha' bin Abu Rabah dari Abu Hurairah radliallahu 'anhu dari Nabi shallallahu 'alaihi wasallam beliau bersabda: "Allah tidak akan menurunkan penyakit melainkan menurunkan obatnya juga" (Muslimin, 2011: 56)

Reseptor tyrosine kinase (RTK) adalah protein transmembrane yang mentransduksi signal dari lingkungan ekstraseluler ke sitoplasma dan nukleus. Pada mekanisme ini, RTK mengatur proses seluler yang normal, termasuk kelangsungan hidup, pertumbuhan, diferensiasi, adhesi, dan motilitas sel (Rachel *et al*, 2008: 1).

Studi sebelumnya telah ditunjukkan peran reseptor tirosin kinase (RTK) pada ALL. Mer secara ektopik diekspresikan pada 50% dari sampel pediatric T-cell ALL pediatric sebaik pada sampel pre-B ALL. Hal tersebut menjadikan Mer sebagai kandidat yang sangat baik untuk target selektif oleh molekul-molekul kecil.

Mer merupakan salah satu reseptor dari famili TAM (Tyro3, Axl, Mer), reseptor ini termasuk dalam golongan RTK (reseptor tirosin kinase). Setiap anggota dari golongan TAM memiliki daerah ekstraseluler, daerah transmembran, dan daerah intraseluler (Liu Jing *et al*, 2012: 129).

Jing Liu (2012) telah berhasil mengembangkan hubungan kualitatif struktur dan aktivitas dan menemukan senyawa penghambat Mer yaitu pirazolopirimidin yang selektif, dan diusulkan dapat menjadi kandidat optimasi penghambat Mer pada aplikasi klinik.

Sementara itu, jumlah obat yang dipasarkan yang ditarik kembali semakin meningkat, utamanya karena masalah ADME/T yang tidak dapat dideteksi sebelumnya. Saat ini, banyak solusi yang dapat digunakan untuk mengidentifikasi dan masalah ini sebelum senyawa contoh obat mencapai tingkatan klinik. Diantaranya peranan awal ADME/T dengan *in silico* yang telah luas diapresiasi. Biotransformasi metabolik dari senyawa kimia baru karena sangat mempengaruhi bioavailabilitas, aktivitas, dan profil toksisitas (Zheng Mingyue *et al*, 2013: 554).

Penemuan dan pengembangan obat baru membutuhkan waktu lama dan menuntut proses laboratorium. Studi pertama yang secara umum merupakan waktu

untuk menemukan, mengembangkan, dan mengakui sebuah obat baru di U.S telah meningkat tajam dari 8.1 tahun pada 1960 menjadi 14.2 tahun pada 1990. Waktu yang sebenarnya dibutuhkan lebih lama sebagai kalkulasi dengan mempertimbangkan mulai dari sintesis kimia, waktu untuk identifikasi target obat dan proses seleksi yang secara umum memakan waktu dua tahun atau lebih. (Wan, Jiangling. 2004 : 73)

Pada Beberapa dekade belakangan ini, penelitian pada desain dan penemuan obat termasuk di Cina telah mengalami perkembangan yang cepat dalam mengembangkan obat baru dengan berbagai macam metodologi. Penggunaan dari metode komputasi ini of these methods menjangkau wilayah yang luas, dari identifikasi target hingga penemuan senyawa dan optimasi pengembangan (Zheng, Mingyue. 2013 : 549).

Pada senyawa aktif, toksisitas merupakan permasalahan utama yang pada gagalnya sebuah obat baru dan sering mendasari mekanisme biologi dari toksisitas yaitu hasil metabolisme. Metabolit dan kecenderungan hal tersebut tidak hanya pada keamanan oabat tapi juga sangat relevan dengan Seistem industry termasuk suplemen nutrisi, kosmetik, agrokimia. Kajian metabolit dapat mengantar pada beberapa permasalahan, sebagai contoh seperti interaksi obat, termasuk inhibisi enzim, induksi, dan mekanisme inaktivasi. Efek ini potensial pada kehilangan efisiensi farmakologi hingga eningkatkan klirens dan efk toksik dikarenakan akumulasi dalam tubuh. (Kirchmair, 2012 : 617).

Nursalam (2013) telah menemukan Hubungan kuantitatif struktur dan aktivitas senyawa turunan pirazolo-[3,4-d]-pirimidin sebagai inhibitor Mer menunjukkan bahwa lima prediktor berpengaruh terhadap aktivitas senyawa, sebagaimana digambarkan dengan persamaan HKSA terbaik yaitu sebagai berikut :

$$\text{Log } 1/\text{IC}_{50} \text{ Mer} = 1.731(\pm 1.417) - 3.201(\pm 0,984) \text{ AM1_LUMO} - 0.065(\pm 0.012) \text{ ASA_H} - 0.846(\pm 0.144) \text{ LogS} - 8.348(\pm 1.262) \text{ mr} + 0.243(\pm 0.036) \text{ vdw_vol}$$

B. Rumusan masalah

1. Apakah terdapat Senyawa Turunan pirazolo-[3,4-*d*]-pyrimidines yang memiliki tidak toksik, profil farmakokinetik yang baik dan metabolitnya yang tidak toksik ?
2. Bagaimana pandangan Islam terhadap penentuan Senyawa Turunan pirazolo-[3,4-*d*]-pyrimidines yang memiliki tidak toksik, profil farmakokinetik yang baik dan metabolitnya yang tidak toksik?

C. Definisi Operasional dan Ruang Lingkup Penelitian

1. Defensi Operasional

Uji toksisitas merupakan uji hayati yang berguna untuk menentukan tingkat toksisitas dari suatu zat atau bahan pencemar pada suatu organisme.

Fase farmakokinetik berkaitan dengan masuknya zat aktif ke dalam tubuh. Pemakaian *in vivo* tersebut secara keseluruhan merupakan fenomena fisiko-kimia yang terpadu di dalam organ penerima obat. Fase farmakokinetik ini merupakan salah satu unsur penting yang menentukan profil keberadaan zat aktif pada tingkat biofase dan selanjutnya menentukan aktivitas terapeutik obat.

Kajian metabolisme berkaitan dengan bagaimana melihat prediksi dari hasil biodegradasi suatu senyawa pada suatu organisme.

Mer reseptor tyrosine kinase (MerTK) merupakan bagian dari keluarga TAM (Tyro3/Axl/Mer) reseptor tirosin kinase yang pada awalnya di kloning dari komplemen B-lymphoblastoid pada DNA.

Metode *In Silico* merupakan metode yang membantu dalam mengidentifikasi target obat melalui alat bioinformatika atau system komputer. Mereka juga dapat digunakan untuk menganalisis struktur target mungkin mengikat situs / aktif, menghasilkan kandidat senyawa, dan lebih mengoptimalkan senyawa untuk meningkatkan karakteristik yang dihasilkan.

2. Ruang Lingkup Penelitian

Ruang lingkup penelitian ini adalah untuk menentukan senyawa terbaik dari senyawa pirazolo-[3,4-d]-pirimidin sebagai inhibitor Mer berdasarkan persamaan HKSA, serta mempelajari kajian metabolisme, profil farmakokinetik, dan toksisitasnya.

D. Kajian Pustaka

1. Rachel *et al* (2009) melaporkan ekspresi ektopik dari Mer reseptor tirosin kinase pada sel B ALL pada anak. Penghambatan Mer mencegah aktivasi Erk 1/2, meningkatkan sensitivitas sel B-ALL pada agen sitotoksik in vitro oleh apoptosis, dan menunda onset penyakit leukemia pada tikus. Di samping itu, ditemukan juga hubungan antara Mer dengan jalur signal rapamisin (mTOR) pada mamalia. Hasilnya diidentifikasi Mer sebagai target terapi baru pada ALL dan inhibitor Mer akan berinteraksi secara sinergis dengan terapi yang sudah ada. Strategi ini bisa mengurangi dosis hingga mengurangi toksisitas dan meningkatkan angka kesembuhan.
2. Jing Liu *et al* (2012) telah mengaplikasikan pendekatan berbasis struktur untuk menemukan molekul kecil baru sebagai penghambat Mer. Beberapa turunan pirazolopirimidin secara efektif menghambat aktivitas Mer kinase pada konsentrasi subnanomolar. Selanjutnya, senyawa penuntun menunjukkan profil selektivitas yang menjanjikan sebab melawan 72 kinase dan karakteristik farmakokinetik yang sangat baik. Jing Liu *et al* juga menggambarkan struktur kompleks kristal antara senyawa penuntun dan Mer, yang dapat membuka kesempatan baru pada optimasi dan desain *template* baru.
3. Nursalam (2013) telah menentukan prediktor-prediktor yang mempengaruhi aktivitas inhibisi reseptor Mer tirosin kinase dan menentukan persamaan HKSA terbaik yang menunjukkan hubungan kuantitatif struktur aktivitas pirazolo-[3,4-d]-pirimidin, menentukan fitur farmakofor yang berperan dalam interaksi dengan reseptor dan merancang senyawa baru turunan

pirazolo-[3,4-d]-pirimidin yang diharapkan memiliki aktivitas dan selektifitas yang lebih baik. Model HKSA menunjukkan bahwa parameter sterik seperti refraktivitas molekul dan volume van der Waals sangat penting untuk aktivitas inhibisi. Selain itu, ASA_H, log S dan energi LUMO juga berkontribusi terhadap inhibisi Mer. Model farmakofor sebagai inhibitor Mer menunjukkan bahwa satu aromatik, satu interaksi ionik dan empat ikatan hidrogen memiliki peran penting dalam aktivitas inhibisi Mer. Senyawa baru didesain dengan memodifikasi substituen agar fit dengan fitur farmakofor dan berdasarkan deskriptor pada model persamaan HKSA terbaik. Sepuluh senyawa baru turunan pirazolo-[3,4-d]-pirimidin yang telah didesain memiliki aktivitas teoritis lebih baik dari pada senyawa induk. Senyawa yang paling aktif memiliki skor *docking* yang baik, dan memiliki kemampuan untuk berinteraksi dengan reseptor Mer tirosin kinase.

E. Tujuan dan Kegunaan Penelitian

1. Tujuan Penelitian

- a. Mengembangkan senyawa turunan pirazol[3,4d]pirimidin dengan aktifitas lebih baik dan selektif serta profil farmako kinetiknya baik, toksisitas metabolitnya yang rendah.
- b. Mengetahui pandangan Islam terhadap penentuan kajian metabolisme, uji prediksi toksisitas, profil farmakokinetik secara insilico.

2. Kegunaan Penelitian

a. Kegunaan Teoritis

- 1) Menghasilkan senyawa turunan pirazol[3,4d]pirimidin sebagai inhibitor reseptor MerTirosin Kinase untuk pengobatan Leukemia yang aktivitasnya lebih baik dan aman.
- 2) Menambah wawasan tentang pengobatan Leukemia.

b. Kegunaan Praktis

Memberikan tambahan informasi dan sebagai bahan penyuluhan tentang bahaya kanker leukemia kepada masyarakat



BAB II

TINJAUAN TEORITIS

A. *Tinjauan Islam*

Dalam pengertian secara umum, kanker dapat dikatakan sebagai pembelahan sel yang tidak terkendali. Tanpa memperhatikan jenisnya, kanker pada mulanya berkembang pada sel normal dan sehat yang memiliki karakteristik dasar sel normal, setidaknya dalam tahapan perkembangan awalnya. Namun demikian, sel-sel ini cenderung kehilangan sebagian kemampuannya. Salah satu kemampuan yang penting adalah kemampuan untuk bereaksi terhadap pesan yang dikirimkan oleh lingkungannya atau oleh organismenya sendiri, yang mengatur replikasi sel. Ketika ketidakteraturan seperti ini terjadi, sel tidak lagi dapat mengendalikan replikasinya dan pertumbuhan jaringan. Proses ini, yang dikenal dengan "pembelahan berkesinambungan" secara genetik ditransfer kepada sel-sel baru, mengakibatkan penyebaran tumor, yang pada gilirannya menyerang jaringan tetangganya. Sel yang rusak ini memakan nutrisi sel lain, menghabiskan suplai asam amino yang sangat penting. Sel kanker akhirnya menutup saluran dalam tubuh manusia dengan volumenya yang terus membesar. Mereka berakumulasi dalam berbagai organ seperti otak, paru-paru, hati dan ginjal, mengelilingi sel sehat dan normal dalam organ ini dan menghalangi fungsi normalnya, akhirnya menimbulkan ancaman yang serius terhadap kehidupan manusia.

Sel normal hanya membelah diri kalau mereka menerima perintah. Hal tersebut termasuk cara pengamanan di dalam organisme itu. Akan tetapi, sel kanker tidak merespon mekanisme ini dan menolak setiap pengendalian pada sistem replikasinya. Jenis kanker yang dijelaskan sejauh ini tidak menyebabkan masalah pada sistem pertahanan. Tubuh yang kuat dengan sistem pertahanan yang efektif mampu berjuang melawan sel kanker yang berkembang dan bertambah jumlahnya, dan bahkan mengalahkan penyakit itu. Masalah utama muncul ketika membran sel

kanker robek sendiri karena bantuan enzim, dan bercampur dalam peredaran darah dengan menembus cairan limpatik, dan akhirnya mencapai sel dan jaringan yang jauh.

Jika kita bandingkan tubuh manusia dengan sebuah negara, dan sistem pertahanan manusia dengan pasukan yang kuat dan bersenjata lengkap, sel kanker merupakan pemberontak negara. Pemberontak ini semakin hari semakin banyak, terus melakukan kerusakan terhadap struktur saat itu. Akan tetapi pasukan tentara di negara ini sama sekali tidak dapat ditembus.

Salah satu sistem di dalam sel tubuh manusia yang mencegah penyebaran sel kanker adalah apoptosis yang menyebabkan sel bunuh diri. Apoptosis terjadi ketika DNA sel rusak, atau sel berkembang menjadi tumor, atau gen P53 yang juga dikenal sebagai "gen pencegah kanker" kurang efektif. Meskipun apoptosis mungkin terkesan negatif, sebenarnya peristiwa ini sangat penting, karena dia merintangi penyimpangan sel yang berbahaya dan mencegah penyakit diturunkan ke generasi berikutnya. Jika dibandingkan, potensi bahaya yang disebabkan oleh sel kanker bisa merusak seujur tubuh manusia, sementara kehilangan satu sel lebih dapat diterima. Sel-sel di dalam tubuh manusia yang menyadari bahwa ada penyimpangan dalam struktur mereka sendiri yang mengancam tubuh manusia, memulai kematiannya sendiri untuk memperpanjang kehidupan manusia.

Kanker menjadi bentuk yang mengancam nyawa ketika sel yang rusak ini beralih dari sistem bunuh diri. Dalam kasus ini, diaktifkanlah suatu mekanisme pertahanan sekunder untuk mencegah multiplikasi tidak terkendali sel-sel ini. Jika mereka berhasil pula melewati penghalang ini, tahapan berikutnya yang mereka hadapi adalah "saat krisis". Pada tahap ini, sel-sel yang telah berhasil meloloskan diri dari sistem keamanan sebe-lumnya sekaligus dibunuh semuanya. Akan tetapi, bisa jadi satu di antara sel-sel ini berhasil mengatasi "krisis". Sel kanker "pemberontak" tersebut akan mentransfer sifat pemberontakannya kepada turunannya, yang akan bermultiplikasi dalam jumlah besar. Sekarang pasien kanker harus melawan dengan usaha yang intensif.

Apakah hanya sifat tidak terkendalkan, merdeka, dan terus-menerus membelah diri yang membawa sel kanker pada kemenangan? Ada alasan lainnya di balik kesuksesan ini.

Sel membawa sejenis sistem penanda di permukaannya yang menentukan posisi mereka dalam tubuh. Tanda ini dapat dibaca oleh sel lain sehingga membantu sel saling mengenali secara tepat tempat mereka masing-masing dan mencegahnya supaya tidak menempati tempat sel lain. Sistem ini menjamin integritas jaringan. Karena mengetahui posisi mereka, sel tidak akan pergi ke tempat lain, atau membiarkan sel lain menempati tempatnya, sehingga akan menjamin pemeliharaan tubuh supaya tetap dalam keadaan sehat. Sel yang tidak memiliki tempat tertentu atau berada di tempat yang tidak semestinya akhirnya akan bunuh diri. Namun demikian, dengan adanya sistem penanda ini, proses bunuh diri sepenuhnya dihilangkan, karena sel tidak diizinkan untuk tidak memiliki tempat atau menempati tempat yang tidak sesuai. Proses ini tidaklah sesederhana dugaan kita. Supaya sistem tetap berfungsi efektif, setiap sel harus mengenali posisi dirinya sendiri selain menghormati posisi sel lain, dan berhati-hati untuk tidak menduduki tempat sel lain. Prosedur ini diajarkan kepada mereka melalui berbagai molekul mediator yang memungkinkan sel menjaga

tempat mereka masing-masing. Akan tetapi, terkadang ada juga kejadian saat molekul mediator ini absen atau tidak dapat memenuhi tugasnya. Keadaan ini menguntungkan sel kanker. Saat molekul penghalang tidak ada di sekitarnya, sel kanker menyebar lebih cepat. Di samping itu, sel kanker tidak perlu menancapkan dirinya pada satu tempat tertentu. Mereka merusak aturan dengan hidup bebas tanpa menetap di suatu tempat.

Sel yang mendapat pengecualian untuk tidak memiliki tempat tetap adalah eritrosit. Mereka menembus membran sel dan jaringan lain serta merobek rintangan dengan bantuan enzim khusus yang disebut metallo-proteinase. Jadi mereka dapat sekehendaknya mengunjungi bagian mana saja dalam tubuh manusia. Sel pertahanan menggunakan enzim ini untuk menggapai sel musuh, sementara sel kanker menggunakannya untuk tujuan berbeda sama sekali. Tujuan utama sel kanker adalah untuk menyerang sel-sel yang sehat dan mendudukinya.



Gambar II.3 Proses sel sehat berubah menjadi sel kanker.

Keahlian sel kanker tidak dibatasi oleh tujuan penyerangan saja mereka juga mampu memainkan permainan lain melawan sel-sel pertahanan. Mungkin kedengarannya ganjil, kita bukan sedang membicarakan aktor berbakat melainkan tentang sel kanker, yang bermain-main melawan musuhnya. Sebelum mencoba menjelaskan permainan yang benar-benar cerdas ini, mari kita meninjau ulang apa yang sudah dijelaskan sejauh ini. (Yahya, Harun. 2004 ; 569).

Bukankah luar biasa bahwa pasukan pertahanan kita membuat penghalang progresif untuk melawan musuh? Organisasi yang kita sebut sebagai pasukan ini, terdiri atas sel-sel yang hanya dapat dilihat di bawah mikroskop elektron canggih. Kemampuan mereka untuk melindungi dan menjaga tempatnya, kesediaan mereka untuk mempertaruhkan hidupnya sendiri demi menyelamatkan kehidupan tubuh manusia yang memilikinya, komitmen mereka yang kuat dalam meneruskan usahanya, bukanlah merupakan hasil dari suatu kebetulan. Tidak dapat diragukan lagi, pada sel pertahanan kita bisa melihat suatu bentuk fungsi yang sangat sadar dan terorganisasi dengan baik.

Apakah yang akan terjadi jika misi sulit ini diserahkan kepada satu triliun manusia berpendidikan tinggi? Akankah tingkat keberhasilannya sama-sama mengesankan? Apakah mungkin mereka membuat khalayak ramai mengikuti keinginan mereka meskipun ada kewajiban serta aturan disiplin yang ketat? Jika sebagian anggotanya lupa rumus antibodi yang harus dibuatnya, atau enggan memproduksinya, atau menolak bunuh diri saat diperlukan, akankah semua tahapan ini berfungsi dengan ter-atur? Akankah perjuangannya berbuah kemenangan? Dapatkah pasukan yang beranggotakan miliaran orang melanjutkan usaha tanpa kesalahan? Adakah komandan atau manajer terampil yang mau melaksanakannya tanggung jawab mengendalikan miliaran orang ini? Betapapun, sel pertahanan kita tidak memerlukan komandan atau manajer. Sistem mereka beroperasi dengan cara yang sangat teratur, tanpa suatu penghalang atau kesulitan. Tidak ada anarki atau kerancuan selama proses. Hanya ada satu penyebab di balik kesempurnaan dan fungsi yang sangat efektif ini: Allah. Dia-lah yang membangun sistem ini sampai ke rincian terkecil, dan mengilhami unsur-unsur sistem ini untuk memenuhi tanggung jawab mereka. Pada ayat ke-5 surat As-Sajadah dinyatakan:

يُدِيرُ الْأَمْرَ مِنَ السَّمَاءِ إِلَى الْأَرْضِ ثُمَّ يَعْرُجُ إِلَيْهِ فِي يَوْمٍ كَانَ مِقْدَارُهُ أَلْفَ

سَنَةٍ مِمَّا تَعُدُّونَ ﴿١٠٠﴾

Terjemahnya: Dia mengatur urusan dari langit ke bumi, Kemudian (urusan) itu naik kepadanya dalam satu hari yang kadarnya adalah seribu tahun menurut perhitunganmu.

Sesuai dengan aturan ini, sel pertahanan meneruskan usahanya tanpa istirahat ataupun merasa terpaksa dengan wahyu yang diberikan oleh Allah kepada mereka ini.

Tidak satupun ahli di dunia mampu menghasilkan desain sempurna tiada banding seperti ini. Akan tetapi sel-sel yang berukuran hanya seperseratus milimeter, mampu melakukannya. Lalu, bagaimana sel tersebut mempelajari sistem spesial itu?

Nyatanya, tidak ada sel yang berkesempatan mempelajari fungsi biologis dalam artian sebenarnya. Ini dikarenakan sel tidak memiliki kemampuan untuk melaksanakan hal itu sejak lahir. Mereka tidak pula berkesempatan mengembangkan keterampilan yang dibutuhkan selama masa hidupnya. Kalau demikian halnya, adalah suatu keniscayaan bahwa sistem yang ada di dalam sel pastilah sudah siap dan lengkap sejak awal kehidupan. Sel-sel itu juga tidak mempunyai keterampilan untuk mempelajari kombinasi kunci, tidak pula ia punya waktu untuk mempelajarinya, karena hal itu akan menyebabkan kegagalannya menghentikan antigen yang memasuki tubuh, dan tubuh akan kalah dalam pertempuran itu.

Ada makna tersendiri di balik kenyataan bahwa sistem yang mencengangkan umat manusia bahkan pada titik pemahaman ini ditempatkan pada sebuah sel yang tidak memiliki kemampuan untuk berpikir dan bernalar. Ini merupakan cerminan dari keunikan ciptaan Allah Yang Maha Mengetahui, pada sel yang sangat kecil. Dalam Al Quran dinyatakan bahwa kemahabijaksanaan Allah meliputi segalanya:

اللَّهُ لَا إِلَهَ إِلَّا هُوَ الْحَيُّ الْقَيُّومُ لَا تَأْخُذُهُ سِنَّةٌ وَلَا نَوْمٌ لَهُ مَا فِي السَّمَوَاتِ
 وَمَا فِي الْأَرْضِ مَنْ ذَا الَّذِي يَشْفَعُ عِنْدَهُ إِلَّا بِإِذْنِهِ يَعْلَمُ مَا بَيْنَ أَيْدِيهِمْ وَمَا
 خَلْفَهُمْ وَلَا يُحِيطُونَ بِشَيْءٍ مِّنْ عِلْمِهِ إِلَّا بِمَا شَاءَ وَسِعَ كُرْسِيُّهُ السَّمَوَاتِ
 وَالْأَرْضَ وَلَا يَئُودُهُ حِفْظُهُمَا وَهُوَ الْعَلِيُّ الْعَظِيمُ

Terjemahnya : Allah, tidak ada Tuhan (yang berhak disembah) melainkan Dia Yang Hidup kekal lagi terus menerus mengurus (makhluk-Nya); tidak mengantuk dan tidak tidur. Kepunyaan-Nya apa yang di langit dan di bumi. Tiada yang dapat memberi syafa'at di sisi Allah tanpa izin-Nya? Allah mengetahui apa-apa yang di hadapan mereka dan di belakang mereka, dan mereka tidak mengetahui apa-apa dari ilmu Allah melainkan apa yang dikehendaki-Nya. Kursi^[161] Allah meliputi langit dan bumi. Dan Allah tidak merasa berat memelihara keduanya, dan Allah Maha Tinggi lagi Maha. (QS. Al Baqarah, 2: 255). (Yahya, Harun. 2004 ; 21).

Kita tidak segera menyadari bahwa virus atau mikroba sedang menyerang tubuh. Hanya jika gejala sakit muncul ke permukaan, barulah kita mengetahuinya. Ini petunjuk bahwa virus, bakteri atau mikroorganisme lainnya telah cukup lama bersarang dalam tubuh. Artinya, intervensi primer gagal. Kondisi tak terperiksa seperti ini memungkinkan penyakit semakin parah, menimbulkan keadaan yang tak dapat dipulihkan. Kendati seseorang hanya terinfeksi oleh penyakit yang relatif ringan dan dapat disembuhkan, respon (tubuh) yang tertunda dapat menyebabkan krisis yang serius atau bahkan kematian.

Sekarang bayangkan koordinasi dan pengendalian unsur-unsur sis-tem pertahanan, strategi berikutnya yang akan dikembangkan dan dilak-sanakan, pengawasan perangnya sendiri, semuanya diserahkan kepada manusia. Kesulitan macam apa yang akan dihadapi?

Anggaplah gejala awalnya dapat didiagnosis dengan efektif. Ketika sel asing memasuki tubuh, sel prajurit segera harus diproduksi lalu dikirimkan ke tempat kejadian. Sel B harus segera memproduksi senjata (antibodi). Bagaimanakah kita menentukan jenis dan lokasi sel asing ini? Tahapan ini penting karena mendasari

perlakuan selanjutnya. Untuk melakukan hal ini, solusi satu-satunya adalah orang tersebut harus melakukan pemeriksaan kesehatan yang meliputi semua organ dalam tubuhnya sampai ke setiap tetes darahnya dengan dugaan terkecil sekali pun, bahwa musuh telah memasuki tubuh. Kalau tidak, maka tidaklah mungkin untuk menentukan jenis dan lokasi antigen. Waktu panjang yang dibutuhkan untuk melakukan proses ini tentu saja akan menyebabkan amat tertundanya intervensi yang tepat waktu. Terbukti betapa rumit dan sulitnya kehidupan manusia kalau harus pergi ke dokter hanya untuk pemeriksaan terhadap adanya infeksi saja.

Anggaplah intervensi tepat waktu dimungkinkan dan jenis serta lokasi antigen dapat dikenali dengan tepat. Bergantung kepada jenis musuh, terlebih dahulu fagosit harus diaktifkan. Bagaimana cara mengarahkan fagosit agar segera menuju lokasi yang tepat? Jenis pesan seperti apa yang dapat membantu fagosit mencapai lokasi musuh dengan mudah? Anggaplah yang tak mungkin menjadi mungkin. Lalu tiba saatnya untuk mengetahui apakah fagosit telah menang perang atau tidak, karena hal itu akan menentukan apakah makrofag akan diluncurkan atau peperangan akan diakhiri. Tak pelak lagi, satu-satunya solusi yang memungkinkan adalah kembali ke dokter untuk melakukan pemeriksaan menyeluruh. Kalau peperangan belum dimenangkan, kekuatan sekunder, yaitu makrofag, harus dikirimkan ke tempat kejadian. Sementara itu, waktu yang diperlukan untuk pemeriksaan berjalan melawan kehendak kita. Tanpa kehilangan waktu sedikit pun makrofag mestinya merobek musuh dan memperingatkan sel T penolong. Selanjutnya sel T penolong memperingatkan sel T pembunuh, sehingga memicu perjuangan lain. Sel ini juga harus diperiksa apakah mereka sukses atau tidak untuk itu lagi-lagi bantuan dokter dibutuhkan kemudian sel PA harus dipanggil untuk membantu. Setelah pemeriksaan akhir, akan ditentukan apakah sistem pertahanan telah efektif dalam mengalahkan infeksi.

Kalaupun hanya satu yang harus dikendalikan manusia, hanya sistem pertahanan tanpa yang lainnya, dia harus terlibat dalam proses yang sulit dan kompleks. Terserang pilek saja akan membuat seseorang berkali-kali ke dokter, melanjutkan proses penyembuhan dalam sel dengan peralatan medis canggih, dan mengarahkannya sesuai kebutuhan. Penundaan kecil saja atau satu masalah yang dijumpai selama proses akan berakibat penyakit menjadi lebih parah.

Bagaimana jika manusia yang harus membentuk sel-sel ini, membuat mereka mengenali musuh dan memproduksi antibodi yang sesuai, lalu mengajari dan mengatur semua proses yang akan mereka jalankan. Tak ayal lagi hidup akan menjadi

jauh lebih rumit dan sulit dibandingkan dengan model yang tadi telah dijelaskan. Secara harfiah dapat dikatakan tidak mungkin.

Allah telah menjauhkan beban ini dari manusia, menciptakan sis-tem tak bercacat untuk bekerja dengan cara yang sangat rapi dan independen dari yang pernah terbayangkan. Sama seperti hal lain di alam semesta, sistem pertahanan kita juga telah mematuhi tujuan penciptaannya untuk menjadi elemen kehidupan yang kritis dan sangat diperlukan:

وَأَذِنَتْ لِرَبِّهَا وَحُقَّتْ

Terjemahnya: Dan patuh kepada Tuhannya, dan sudah semestinya langit itu patuh. (QS. Al Insiyaaq, 84: 2). (Yahya, Harun. 2004 ; 49).

Ada saat-saat ketika sel ini gagal memenuhi fungsinya. Namun demikian, tak boleh dilupakan bahwa jika Allah menghendaki, ini pun tak akan terjadi. Ketidakteraturan seperti itu diciptakan untuk suatu alasan yang tersembunyi supaya manusia dapat memahami dengan jelas bahwa kehidupan di dunia ini sementara dan sangat tidak sempurna. Tanpa keberadaan berbagai penyakit, manusia mungkin akan melupa-kan betapa tak berdayanya mereka terhadap Allah yang menciptakan mereka. Mungkin mereka gagal mengingat bahwa bagaimana pun majunya teknologi, penemuan-penemuan mereka, juga kehidupan mereka, semuanya bergantung kepada kehendak Allah semata. Mungkin mereka menjalani hidup seolah-olah akan tetap sehat selamanya, seolah-olah mereka takkan menemui kematian dan dipanggil untuk mempertanggung-jawabkan perbuatannya di hadapan Allah pada Hari Pembalasan. Mungkin mereka hidup tanpa becermi pada keadaan buruk mereka yang sakit, yang kehilangan, dan yang teraniaya. Sehingga mereka mungkin tak dapat menghargai kesehatannya sebagai suatu anugerah Allah dan tak dapat menghargai bahwa seharusnya mereka hidup dengan cara yang paling baik dan produktif. Orang seperti ini jarang menerima kenyataan seperti yang diuraikan di atas.

Penyakit membuat orang dengan cepat menerima kenyataan tadi. Saat itulah baru orang mulai memikirkan hal-hal yang tak pernah terjadi pada mereka sebelumnya: Ketakberdayaan mereka dan ketakmampuan mereka melawan kekuatan Allah, kenyataan bahwa teknologi, yang berkembang dengan kehendak Allah, hanya dapat bermanfaat atas kehendak Allah. Mereka berpikir tentang orang-orang yang sedang dalam kesulitan, tentang kematian, dan bahkan tentang keadaan setelah mati.

Hanya saat itulah orang menghargai kesehatannya. Selain itu, mereka yang selama ini menjalani dan mencurahkan segala keberadaannya untuk kehidupan di dunia kini menyaksikan betapa mereka tidak dapat bergantung padanya. Hal ini membuat mereka menilai ulang apakah mereka telah cukup berusaha untuk akhirat, tempat tujuan mereka sebenarnya.

Memang, tempat tinggal kita yang sebenarnya bukanlah dunia ini, tetapi akhirat. Kehidupan di akhirat tidaklah dibatasi oleh tahun, juga kualitasnya tidak ditentukan oleh kebutuhan dasar kita seperti tidur, makan, membersihkan diri, atau faktor negatif seperti penyakit. Nikmat yang tak berakhir di surga disebutkan pada ayat Al Quran berikut ini:

لَا يَسْمَعُونَ حَسِيسَهَا وَهُمْ فِي مَا أُشْتَهَتْ أَنْفُسُهُمْ خَالِدُونَ ﴿١٠٢﴾

Terjemahnya: Mereka tidak mendengar sedikit pun suara api neraka, dan mereka kekal dalam menikmati apa yang diinginkan oleh mereka.(QS. Al Anbiyaa', 21: 102).

Sayangnya kebanyakan orang tidak menghargai kesehatannya, tidak memikirkan singkatnya hidup di dunia ini. Hanya jika jatuh sakit saja mereka berdoa kepada Allah. Namun saat mereka kembali sehat dan kembali kepada kehidupan sehari-harinya, mereka melupakan segalanya. Dalam Al Quran, Allah menyinggung karakteristik manusia seperti ini:

وَإِذَا مَسَّ النَّاسَ ضُرٌّ دَعَوْا رَبَّهُمْ مُنِيبِينَ إِلَيْهِ ثُمَّ إِذَا أَذَاقَهُمْ مِنْهُ رَحْمَةً إِذَا فَرِيقٌ مِّنْهُمْ بِرَبِّهِمْ يُشْرِكُونَ ﴿٣٣﴾

Terjemahnya: Dan apabila manusia disentuh oleh suatu bahaya, mereka menyeru Tuhannya dengan kembali bertaubat kepada-Nya, kemudian apabila Tuhan merasakan kepada mereka barang sedikit rahmat daripada-Nya, tiba-tiba sebagian dari mereka mempersekutukan Tuhannya.(QS. Ar-Ruum, 30: 33).

Allah, Yang Maha Mengetahui kebenaran tentang segala sesuatu (Al Khabir), menciptakan ribuan jenis penyakit. Semuanya tersedia untuk umat manusia. Tak ada jaminan bahwa salah satu dari penyakit ini, barangkali salah satu yang paling

berbahaya, tak akan menyerang kita. Setiap organ dan sistem ajaib yang ada dalam tubuh kita dimungkinkan mengalami kerusakan dan gagal untuk beroperasi. Seperti yang telah dikatakan sebelumnya, jika Allah menghendaki, tak satu pun penyakit menyerang kita dan tidak akan ada masalah di semua organ atau sistem kita. Jelaslah bahwa ada satu pesan yang dikirimkan kepada umat manusia dalam segala sesuatu yang terjadi, bahwa kehidupan di dunia ini bersifat sementara.

Semua sel sistem imun, atau sistem kekebalan, pada awalnya adalah sel normal, yang melalui tahapan pelatihan yang berbeda dan diakhiri dengan suatu ujian kecakapan. Hanya sel yang mampu mengenali sel musuh dan tidak mengalami konflik dengan sel tubuh normal yang diizinkan hidup. Bagaimana dan kapan sel pertama dikembangkan dan siapa yang melakukan ujian kecakapan pertama? Siapa yang mengajari sel apa yang harus dilakukannya?

Jelas kita tidak bisa berharap sel dan organ terkait berunding dengan bebas satu sama lainnya, bekerja dengan kesepakatan penuh, membuat rencana, dan melaksanakan rencana itu dengan efisien. Jangan lupa yang kita bicarakan adalah pelbagai organ tubuh dan satu triliun sel. Tak terbayangkan jika satu triliun orang dapat diatur dengan begitu sempurna dan dapat memenuhi tugas mereka tanpa ada sesuatu yang terlewat, terlupakan, membingungkan, atau menyebabkan kekacauan dalam melak-sanakan pertahanan seperti ini, yang merupakan tugas super sulit.

Ada suatu kenyataan pasti, kenyataan yang harus diterima, yaitu bahwa sel seperti juga segala sesuatu di alam semesta tanpa kekecualian, dari yang terkecil sampai yang terbesar telah diciptakan khusus oleh Allah yang memiliki kekuasaan, pengetahuan, dan kebijaksanaan tak terbatas.

بَدِيعُ السَّمَوَاتِ وَالْأَرْضِ ۖ أَنَّىٰ يَكُونُ لَهُ وَلَدٌ وَلَمْ تَكُن لَّهُ صَاحِبَةٌ ۚ وَخَلَقَ كُلَّ شَيْءٍ ۖ وَهُوَ بِكُلِّ شَيْءٍ عَلِيمٌ ﴿١٠١﴾

Terjemahnya: Dia Pencipta langit dan bumi. Bagaimana Dia mempunyai anak padahal Dia tidak mempunyai isteri. Dia menciptakan segala sesuatu; dan Dia mengetahui segala sesuatu (QS. Al An'aam, 6: 101).

B. Leukemia

Tubuh dibangun dari triliunan sel-sel hidup. Tubuh yang normal berarti sel berkembang, terbagi untuk membuat sel-sel baru, dan mati pada jalan yang sistematis. Selama bertahun-tahun manusia hidup, sel-sel terbelah lebih cepat mengikuti pertumbuhan manusia. Setelah manusia menjadi dewasa, banyak sel-sel terbelah hanya untuk mengganti sel yang tidak berfungsi, rusak, atau sel-sel yang mati. Kanker dimulai ketika sel-sel pada bagian tubuh mulai berkembang dengan tidak terkendali. Ada banyak jenis kanker, tetapi semuanya bermula karena tidak terkendalinya pertumbuhan sel atau abnormal sel (American Cancer Society, 2013: 1).

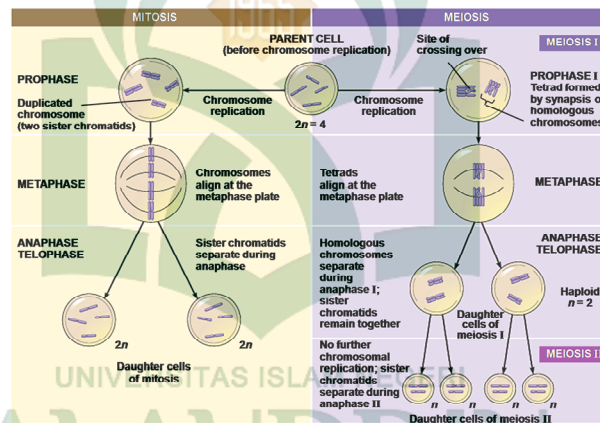


Figure 8.15

Pertumbuhan sel dibagi menjadi 2 proses yang berurutan yaitu replikasi DNA dan pemisahan dari replika kromosom menjadi 2 sel terpisah. Mula-mula, pertumbuhan sel dibagi menjadi 2 tahap: mitosis (M), yaitu proses pembelahan dan interfase yaitu waktu istirahat di antara 2 fase M. Tahapan dari mitosis yaitu profase, metafase, anafase, dan telofase (Vermeluen, 2003: 131) Interfase terdiri dari fase gap 1 (G1), sintesis DNA (S), gap 2 (G2) (Sarmoko, 2009: 1)

Sel kanker berkembang berbeda dari sel normal berkembang. Bahkan menjelang kematian, sel kanker tetap tumbuh dan membentuk sel kanker baru. Sel-sel

kanker dapat tumbuh (menginvasi) jaringan-jaringan lain, hal yang tidak bisa dilakukan sel normal. kemampuan untuk berkembang tidak terkendali dan menginvasi jaringan lain adalah yang menjadikan sebuah sel menjadi sel kanker. Pada banyak kasus sel kanker membentuk sebuah tumor. Tetapi beberapa kanker seperti leukemia jarang membentuk tumor. Bahkan, sel-sel kanker ini berada di darah dan sum-sum tulang. Ketika sel kanker masuk ke dalam aliran darah atau pembuluh getah bening, mereka dapat menempuh bagian tubuh yang lain. Mereka mulai berkembang dan membentuk tumor baru yang mengganti jaringan normal. Proses ini disebut metastasis. Bagaimanapun di mana sebuah kanker dapat menyebar, dia selalu dinamai dari mana dia bermula. Contoh, kanker payudara yang menyebar di hati tetap disebut kanker payudara, bukan kanker hati. Demikian juga, kanker prostat yang menyebar pada tulang disebut kanker prostat metastatik, bukan kanker tulang.

Beberapa jenis dari kanker dapat berkelakuan sangat berbeda. Sebagai contoh, kanker paru-paru dan kanker payudara merupakan penyakit yang sangat berbeda. Mereka berkembang pada kecepatan yang berbeda dan respon yang berbeda pada pengobatan. Oleh karena itu, orang-orang yang mengidap kanker membutuhkan pengobatan yang diarahkan pada jenis kanker mereka. Tidak semua tumor adalah kanker. Tumor tidak seperti penyakit kanker. Penyakit tumor dapat menyebabkan masalah-masalah, mereka dapat tumbuh sangat besar dan menekan organ dan jaringan. Tetapi tidak dapat tumbuh ke dalam jaringan. Karena hal ini, mereka juga tidak menyebar ke bagian tubuh yang (metastasis). Tumor-tumor ini hampir tidak pernah membahayakan (American Cancer Society, 2013: 1)

Leukemia adalah jenis kanker yang bermula dari sel-sel yang membentuk sel darah. Sel-sel ini ditemukan pada bagian lunak, di bagian dalam dari tulang disebut sumsum tulang. Dalam lingkup untuk mengerti perbedaan jenis leukemia, membantu untuk mengetahui sesuatu tentang getah bening dan sistem peredaran darah. Tiap bentukan sel darah dapat menjadi sel leukemia. Ketika hal tersebut terjadi, sel dapat berkembang dan terbelah untuk membentuk sel-sel kanker. Sel-sel ini dapat

menduduki sumsum tulang, mengalir ke dalam pembuluh darah, dan menyebar ke organ-organ lain.

Dalam rangka untuk memahami berbagai jenis leukemia, hal ini membantu untuk mengetahui sesuatu tentang getah bening dan sistem darah. Setiap sel pembentuk darah dapat berubah menjadi sel leukemia. Setelah itu terjadi, sel dapat tumbuh dan membelah untuk membentuk banyak sel-sel kanker baru. Sel-sel ini dapat mengambil alih sumsum tulang, tumpah ke dalam aliran darah, dan menyebar ke organ lain.

1. Sistem getah bening

Sistem kekebalan tubuh terdiri terutama dari jaringan getah bening (juga dikenal sebagai limfatik atau jaringan limfoid). Jenis sel utama yang membentuk jaringan getah bening adalah limfosit, sejenis sel darah putih. (Sel darah putih membantu tubuh melawan infeksi.) 2 jenis utama limfosit yang disebut sel B dan sel T. Sel T normal dan sel B melakukan pekerjaan yang berbeda dalam sistem kekebalan tubuh untuk menemukan dan membunuh kuman.

2. Sumsum tulang dan sel-sel darah

Sumsum tulang itu lembut, kenyal, berada pada bagian dalam tulang. Hal ini ditemukan di beberapa tulang seperti tengkorak, tulang belikat, tulang rusuk, panggul, dan tulang punggung. Semua sel-sel darah dibuat di sumsum tulang. Sumsum tulang terdiri dari sel-sel induk darah, sel-sel pembentuk darah, sel-sel lemak, dan jaringan yang membantu sel-sel darah tumbuh.

Sel induk darah melalui serangkaian perubahan untuk membuat sel-sel darah baru. (Mereka berbeda dari sel induk embrio yang berasal dari janin yang sedang berkembang dan dapat tumbuh menjadi jenis lain sel-sel dalam tubuh.) Selama proses ini, sel-sel berkembang menjadi salah satu limfosit (sejenis sel darah putih) atau pembentuk sel darah lainnya. Sel-sel pembentuk darah dapat berkembang menjadi 1 dari 3 jenis utama dari sel darah: sel darah merah, sel darah putih, atau trombosit.

Sel darah merah: Sel darah merah membawa oksigen dari paru-paru ke seluruh jaringan tubuh lainnya. Mereka juga membawa pergi karbon dioksida, sebuah

produk limbah sel. Kekurangan sel darah merah menyebabkan seseorang merasa lelah, lemah, dan sesak napas.

Sel darah putih: Sel darah putih membantu tubuh melawan infeksi. Ada beberapa jenis sel darah putih. Masing-masing memiliki peran khusus untuk bermain dalam melindungi tubuh terhadap infeksi. 3 jenis utama dari sel darah putih granulosit, monosit, dan limfosit.

Trombosit: Trombosit sebenarnya potongan-potongan yang putus dari sel-sel sumsum tulang tertentu. Trombosit membantu menghentikan pendarahan dengan menyumbat lubang di pembuluh darah yang disebabkan oleh luka atau memar. Kekurangan trombosit dapat menyebabkan seseorang mengalami pendarahan atau memar dengan mudah.

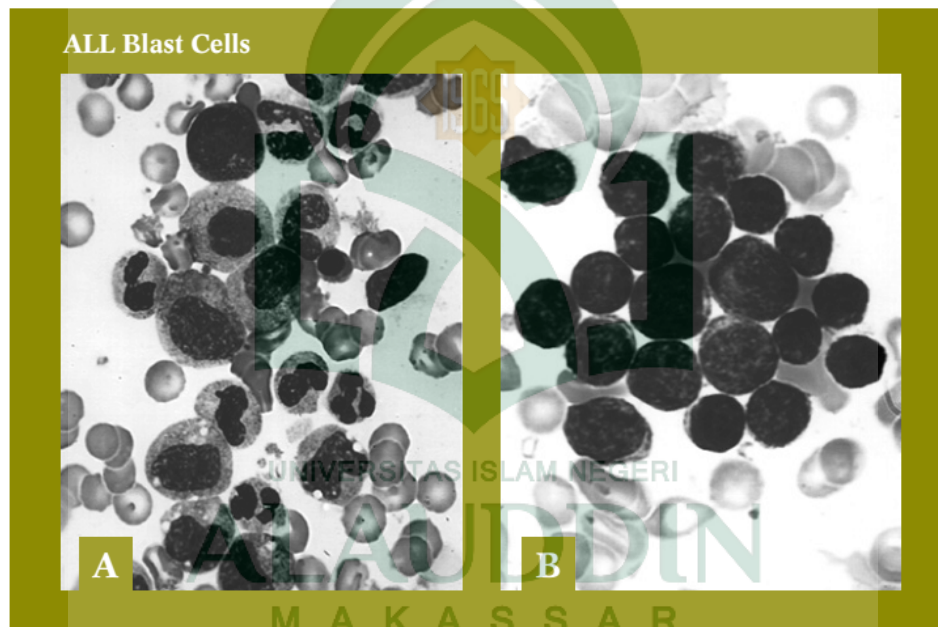
Ada 4 jenis utama leukemia:

- a. Leukemia limfositik akut
- b. leukemia myeloid akut
- c. leukemia limfositik kronis
- d. leukemia myeloid kronis (American Cancer Society, 2013: 2-3)

C. ***Leukemia Limfositik Akut (ALL)***

Leukemia Limfositik akut (ALL) merupakan kanker poliferasi dari terbloknnya sel-sel limfoid pada tingkat permulaan diferensiasi. ALL adalah *abiologically heterogeneous disorder*, oleh karena itu karakteristik morfologi, imunologi, sitogenetik, biokimia, dan molekular genetik dari ALL dibutuhkan untuk menetapkan diagnosis atau untuk mengeluarkan kemungkinan penyebab lain dari kerusakan sum-sum tulang dan akhirnya dapat mengklasifikasikan sub tipe ALL. Heterogenitas mencerminkan fakta bahwa leukemia dapat terjadi selama pembelahan normal dari diferensiasi limfoid normal (Ricerca, 2004: 1).

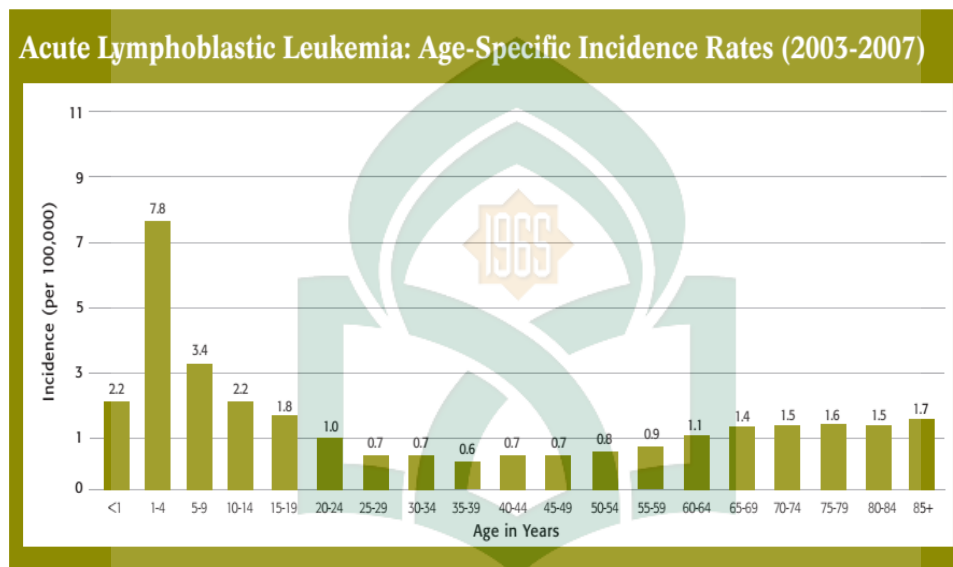
ALL merupakan hasil yang diperoleh dari kerusakan genetik pada DNA dari sebuah sel pada sum-sum tulang. Pengaruh dari ALL yaitu termasuk tidak terkontrolnya dan pertumbuhan berlebihan dan akumulasi sel-sel disebut “*lymphoblasts*” atau “ledakan leukemia (*leukemic blasts*),” mengakibatkan kegagalan fungsi sebagai sel darah normal. Kehadiran dari ledakan leukemia ini memblok produksi sel-sel normal. Hasilnya adalah ketika ALL didiagnosa maka jumlah dari sel darah yang sehat (sel darah merah, sel darah putih dan keping darah) biasanya lebih rendah dari keadaan normal (John Walter, 2010: 7).



Gambar 1 : Gambar A menunjukkan gambar dari sel-sel sumsum tulang normal. Perbedaan dari penampakan pada sel-sel adalah karakteristik sum-sum tulang normal. Gambar B menunjukkan gambar dari sel-sel sumsum tulang dari pasien ALL. Tidak adanya perbedaan penampakan adalah karakteristik dari sel-sel ledakan leukemia (*leukemic blast*) (John Walter, 2010: 10).

Kasus-kasus ALL banyak terjadi pada anak-anak, dengan insiden 3 sampai 4/100,000 pada pasien 0 sampai 14 tahun dan 1/100,000 pada pasien lebih dari 15 tahun, di *United States*. Pada anak-anak, ALL mewakili 75% dari seluruh leukemia

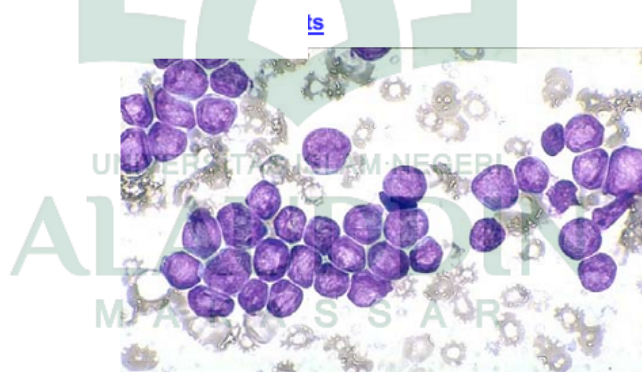
akut (mewakili 34% dari seluruh kanker pada kelompok umur ini), insiden tertinggi terjadi pada 2 sampai 5 tahun. Presentase ini lebih rendah dari orang dewasa, pada akut meiloid leukemia (AML) dan kronik limpositik leukemia lebih umum terjadi. Ada sedikit predominan laki-laki pada semua kelompok usia dan secara signifikan berlebih pada anak-anak berkulit putih (Mihaela Onciu, 2009: 655).



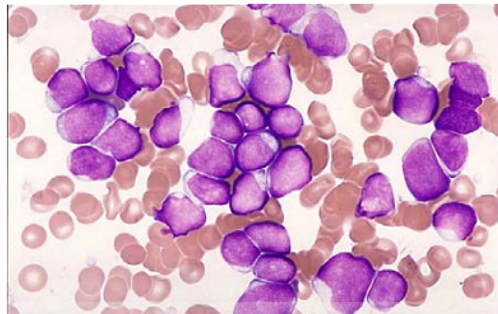
Gambar II.5 : Sumbu horizontal menunjukkan 4 tahun interval. Sumbu vertikal menunjukkan frekuensi dari kasus baru per 100,000 pada tiap kelompok usia. Tercatat bahwa kemungkinan ALL paling besar pada 5 tahun pertama. Peristiwa bertambah juga terlihat pada individu yang lebih tua (Sumber: Surveillance, Epidemiology and End Results [SEER] Program, 2003-2007, National Cancer Institute, 2010).

French-American-British (FAB) Cooperative Working Group menetapkan 3 kategori dari *lymphoblast*: L1 *lymphoblast* memiliki sel-sel kecil dengan karakteristik tingginya rasio *nucleus-to-cytoplasm*. Biru pucat sitoplasma sedikit dan terbatas pada porsi yang kecil dari batas pinggir sel. Sel-sel tersebut memiliki nukleoli yang tidak jelas dan membran nukleus yang berubah-ubah dari proses pembelahan. L2 *lymphoblast* memiliki bentuk lebih besar, bahkan lebih heterogen

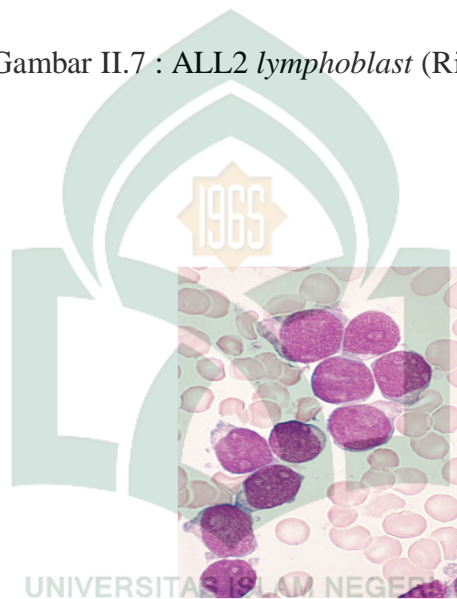
pada populasinya, dengan rasio lebih rendah pada *nucleus-to-cytoplasm*, nukleoli mencolok (bahkan dengan kondensasi kromatin *perinuclear*) dan membran nukleus yang mungkin *reniform* atau *irregular*. Mereka mungkin tidak dapat dibedakan dari varian M1 pada myeloid leukemia, dan diferensiasi secara primer dibantu oleh pencemaran myeloperoxidase (MPO). Varian M0 dari myeloid leukemia dengan MPO negatif, mungkin tidak dapat dibedakan dari ALL tanpa *immunophenotype*. L3 *lymphoblast* merupakan kelompok heterogen dari sel-sel yang identik pada Burkitt-like leukemia dan karakteristiknya dengan basofilik sitoplasma yang dalam dan vakuolisasi (*vacuolization*) sitoplasmik yang menonjol. Kira-kira 85% dari anak-anak dengan ALL mempunyai predominasi pada L1, 14% pada L2, dan 1% pada L3, sedangkan sub tipe L2 lebih umum pada orang dewasa. L3 *lymphoblast* mewakili secara *immunophenotype* yang nyata dengan populasi sel B yang matang, tidak ada korelasi di antara berbagai tingkatan dari diferensiasi sel pre-B atau *immunophenotype* dan morfologis L1 atau L2 (Ricerca, 2004: 2).



Gambar II. 6 : ALL1 *lymphoblast* (Ricerca, 2004: 3).



Gambar II.7 : ALL2 *lymphoblast* (Ricerca, 2004: 3).



Gambar II.8 ALL3 *lymphoblast* (Ricerca, 2004: 3).

Bhojwani dan koleganya menyatidakan bahwa profil ekspresi gen dari sampel ALL yang dikarakterisasi oleh over ekspresi dari keterlibatan gen pada regulasi sel, mereka mengidentifikasi kuat target terapi baru yang menarik. Armstrong dan Stam menunjukkan level tinggi dari *wild-type* FLT3 pada *MLL-rearranged* ALL. Level tinggi dari FLT3 yang berelasi dengan hasil yang buruk, dan inhibisi dari tyrosine kinase yang sangat efektif pad sel-sel *MLL-rearranged* ALL *in vitro* sebaik *in vivo* pada tikus. Penemuan ini menuntun untuk desain dari 2 fase berbeda I/II yang mempelajari penghambat pada *MLL-rearranged* ALL (Pieters dan Carrol, 2010: 10).

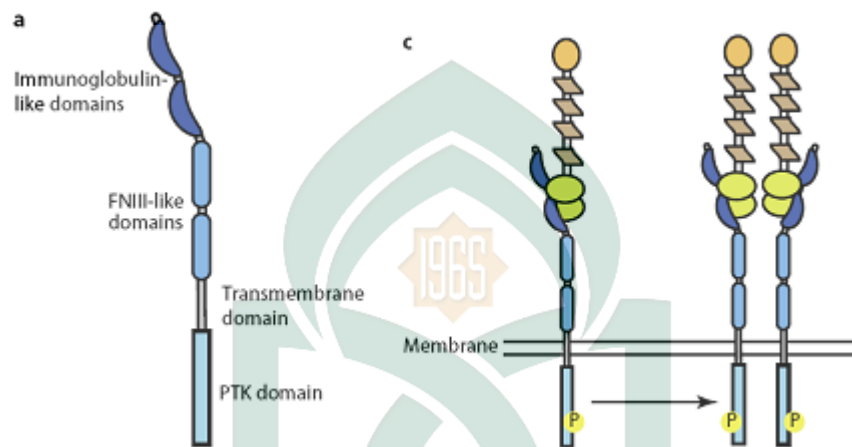
D. TAM Reseptor Tyrosine Kinase

Reseptor tyrosine kinase (RTK) adalah protein transmembrane yang mentransduksi signal dari lingkungan ekstraseluler ke sitoplasma dan nukleus. Pada mekanisme ini, RTK mengatur proses seluler yang normal, termasuk kelangsungan hidup, pertumbuhan, diferensiasi, adhesi, dan motilitas sel. Ekspresi abnormal atau aktifitas dari RTK dapat membuat perubahan pada seluler dan modeling hewan. Selanjutnya, peningkatan ekspresi RTK atau aktivasi telah secara langsung terlibat pada pathogenesis dari banyak sekali kanker pada manusia yang menuntun pada ketertarikan kuat di pengembangan dan pengujian dari penghambat tirosin kinase sebagai terapi kanker (Rachel *et al*, 2008: 1)

Membran-spaning reseptor tirosin kinase mengontrol pertumbuhan sel dan diferensiasi. Tirosin kinase merupakan sub kelas dari protein kinase. Tirosin kinase adalah enzim-enzim yang mentransfer gugus pospat kepada residu tirosin pada protein ini mempunyai bagian pada transduksi signal. Ikatan dari faktor pertumbuhan seperti insulin, faktor pertumbuhan epidermal, dan keping darah penerima faktor pertumbuhan kepada domain ekstraseluler dari penggantian reseptor transmembran pada aktivitas kinase pada daerah katalis. Dengan cepat signal ini diubah pada sel kanker, yang mana menyebabkan tanda over ekspresi dari reseptor tirosin kinase (Bari *et al*, 2012: 36).

Ada 58 anggota dari reseptor PTKs pada manusia dan genom tikus, yang dibagi ke dalam 20 keluarga reseptor PTK berdasarkan pada urutan DNA utama, terutama pada kemiripan dari domain kinase dan fungsi biologisnya. Keluarga TAM terdiri atas 3 bagian: Tyro 3 (juga dinamakan Rse, Sky, Brt, Tif, Dtk and Etk-2), Axl (nama lainnya adalah Ark, Ufo, dan Tyro 7), dan Mertk (juga ditunjuk sebagai Eyk, Nyk, Tyro 12 dan mer. Reseptor ini membagi struktur yang jelas dengan daerah ekstraseluler yang mengandung 2 *immunoglobulin (Ig)-related domains*, diikuti oleh 2 *fibronectin type III (FN-III)-related repeats*, daerah transmembran tunggal, dan separuh sitoplasma tirosin kinase diikuti oleh ekor C-terminal pendek mewardahi

beberapa residu. Ketika reseptor ini diaktivasi, tirosin tersebut difosforilasi dan residu fosforilat tirosin baru pada bagian yang menyediakan *docking sites* untuk *signaling downstream* komponen. Keunikan susunan dari Ig dan domain FN-III pada TAM reseptor menentukan ikatan spesifik pada ligan, Gas 6 dan protein S (Qingxian Lu *et al*, 2010: 2)



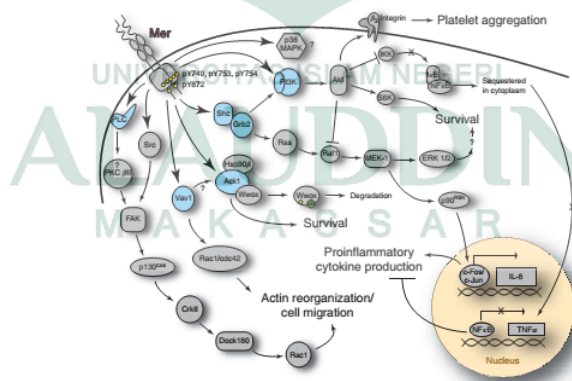
Gambar II.9 : skematis dari reseptor TAM dan ligannya yaitu protein S dan Gas6. a, Struktur utama dari keluaran reseptor TAM. b, Dua ligan reseptor TAM, Protein S dan Gas6, juga bagian struktur domain umum (Wang Yuhua, 2012: 14)

E. Mer Tirosin Kinase

Mer reseptor tyrosine kinase (MerTK) merupakan bagian dari keluarga TAM (Tyro3/Axl/Mer) reseptor tirosin kinase, pada awalnya di kloning dari komplemen B-lymphoblastoid pada DNA. Pada hematopoiesis normal, MerTK penting pada makrofag dan respon inflamasi sel dendrit dan MerTK mempromot fagositosis dari sel-sel apoptosis. Peran fisiologis yang lain MerTK pada sel-sel *hematopoietic*, termasuk pembunuhan diferensiasi sel secara alami dan agregasi keping darah. MerTK diaktivasi oleh ligan Protein S dan Gas6, keduanya secara struktural memiliki kemiripan dengan vitaminK-dependent protein. Kedua ligan tersebut diproduksi oleh berbagai jaringan dan terdapat dalam serum. Menariknya, over

ekspresi dari Gas6 dan Protein S berkorelasi dengan buruknya *prognosis* pada berbagai jenis kanker (Brandao *et al*, 2013: 1).

MerTK pertama kali diidentifikasi dari ekspresi *proto-oncogene c-eyk* pada embrionik otidak ayam, diturunkan dari retrovirus ayam RLP30. MerTK pada manusia diklon dari ekspresi B-lymphoblastoid Agt11 dan dinamai setelah ekspresi predominant pada monosit, epithelial and jaringan reproduktif. Studi awal menggunakan kandungan *chimeric* reseptor dari daerah ekstra seluler dari colony-stimulating factor 1 reseptor (Fms) pada manusia dan transmembran dan daerah sitoplasmik dari MerTK ditunjukkan bahwa MerTK terhubung kepada PI3K/PKB, PLC γ , dan signaling MAPK/ERK. Stimulasi ligan dari sel-sel *Fms-MerTK-expressing NIH3T3* mengarah pada transformasi seluler dan peningkatan proliferasi. Gas6 telah diidentifikasi sebagai ligan untuk MerTK yang dapat dengan cepat menginduksi fosforilasi MerTK dan and sebagai konsekwensinya mengaktivasi MAPK signaling pathway. Sebagai tambahan, pemeriksaan dari limfosit apoptosis oleh makrofag berhubungan pada aktivasi MerTK, pada bagian via asosiasi PLC γ 2 dengan MerTK, dan fosforilasi tirosin PLC γ 2 (Yahua Wang, 2013: 25)



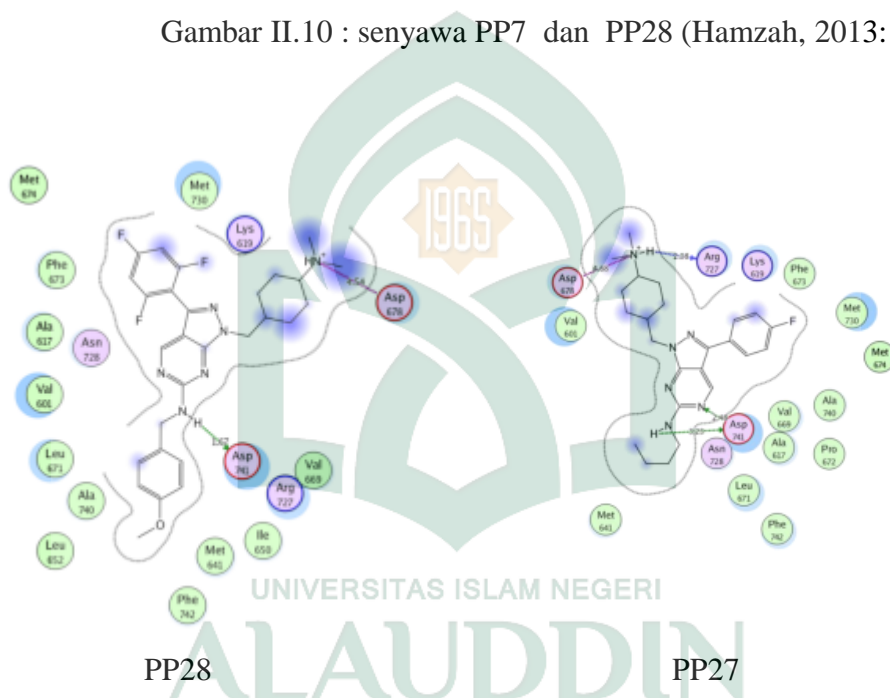
Gambar II.10 : jalur signal Mer pada agregasi platelet, keselamatan sel, regulasi dari produksi sitokin proinflamai, dan regulasi dari sitoskeleton aktin (Keating, 2008: 55).

Studi sebelumnya telah ditunjukkan peran reseptor tyrosine kinase (RTK) pada ALL. Mer secara ektopikal diekspresikan pada 50% dari sampel pediatric T-cell

ALL pediatric sebaik pada sampel pre-B ALL. Hal tersebut menjadikan Mer sebagai kandidat yang sangat baik untuk target selektif oleh molekul-molekul kecil (Liu Jing et al, 2012: 129).

Hasil docking senyawa PP7 dan PP28 menunjukkan nilai scoring (London dG) berturut-turut -12.000 dan -10.5652. Senyawa baru ini memiliki nilai scoring yang cukup baik yang menunjukkan bahwa senyawa ini dapat berikatan dengan reseptor Mer pada binding site-nya (Hamzah, 2013: 43).

Gambar II.10 : senyawa PP7 dan PP28 (Hamzah, 2013: 44)



F. Tahapan Pengujian Obat Berbasis Komputer

Lebih dari 40 tahun yang lalu sejak “perang kanker (*the war on cancer*)” dimulai, angka kematian akibat kanker secara signifikan telah menurun. Kemajuan utama pada molekuler dan biologi seluler telah menuntun beberapa pemecahan pada penelitian tentang kanker. Kemajuan yang paling utama pada area tersebut adalah kemungkinan identifikasi gen yang lebih dekat termasuk inisiasi, progresif, invasi, dan angiogenesis, yang terutama yang menyebabkan kanker, menekannya, dan menghadirkan atau menghambat pemograman kematian sel (apoptosis). Sebagai

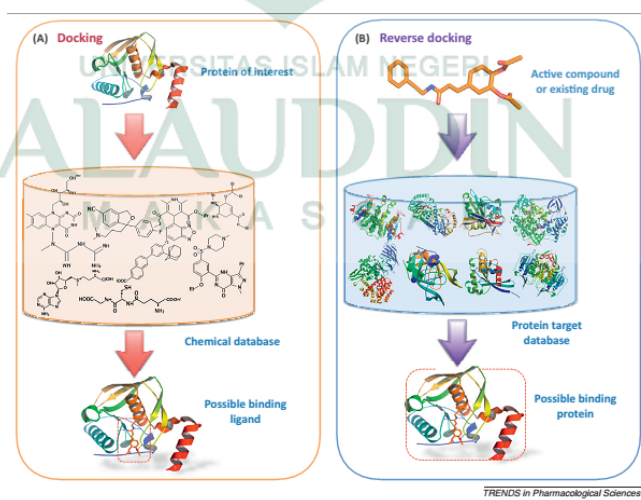
hasilnya, angka dari diagnosa baru dan angka kematian dari seluruh kanker dihubungkan dan selanjutnya mengalami kemunduran. *National Cancer Institute* melaporkan kanker pada 2009/2010 yang menjadi 4 kanker tersering yaitu prostat, payudara, paru-paru, dan colorektal, secara spesifik telah sangat turun pada beberapa tahun lalu.

Terhadap studi dan pengobatan pada beberapa kanker, ada 680 gen, 545 protein dan 3 RNAs terasosiasi dengan 102 tipe yang berbeda dari kanker telah dididentifikasi sebagai target saat ini, ada total 1370 obat, yang mana di luar dari itu 1056 merupakan molekul kecil dan 314 merupakan obat biologis, yang salah satu pada praklinik dan uji klinik telah diakui FDA. Jumlah molekul kecil dikembangkan untuk 4 kanker yang paling sering terjadi yang ditunjukkan sebelumnya cukup mengesankan. Kemunculan dramatis ini menggambarkan bahwa tidak hanya kita menambah pengetahuan tentang gen dan *pathway* yang bertanggung jawab pada inisiasi dan progres dari kanker, tetapi faktanya kita sekarang mempunyai akses yang banyak dan kuat pada teknologi penemuan obat. Pengembangan dari obat anti kanker terbukti menjadi sangat rumit, mahal, dan menggunakan banyak waktu pada prosesnya. Kemajuan dan aplikasi yang luas dari metode eksperimen sangat menjanjikan sebagai dasar untuk penemuan obat terapeutik kanker yang baru dengan. Untuk mencapainya, *computer-aided drug discovery* menjadi semakin penting, memberikan keuntungan yaitu investasi pada teknologi, penelitian, dan waktu yang digunakan tidak. Dalam kaitan dengan peningkatas secara dramatis dari informasi yang ada pada genomik, molekul kecil, and struktur protein, instrumen komputasional sekarang menjadi integritas pada hampir setiap tahapan pada penemuan dan pengembangan obat (Wilson dan Muftuoglu, 2012: 237-238).

1. Prediksi target obat

Identifikasi target adalah kunci pertama pada langkah penemuan obat. Selama 2006, hanya terdapat 324 molekul target teridentifikasi yang diakui FDA. Walaupun total bilangan masih dalam perdebatan, secara signifikan lebih rendah daripada jumlah

protein yang dibuka oleh penyelesaian manusia dan banyak genom patogen, yang mana kebanyakan dapat menjadi obat potensial. Lebih dari itu, banyak obat memperoleh aktifitas terapeutiknya dengan memodulasi *multiple* target, tetapi interaksi multi-target sebagian besar tidak diketahui atau dengan pemahaman yang kurang pada banyak kasus. Penggunaan instrumen komputer untuk memprediksi protein target dari molekul kecil telah diperoleh daam beberapa tahun. Pendekatan komputasi yang telah didemonstrasikan agar menjadi efisien dan pendanaan efektif pada identifikasi target '*reverse*' *docking*. Docking molekul merupakan sebuah metode untuk memprediksi mode pengikatan predomnan dari sebuah ligan dengan protein yang diketahui struktur 3Dnya, yang biasanya digunakan pada penemuan obat berbasis struktur untuk *hit identifikasi* (VS) dan optimasi penuntun. Lebih detail tentang metode yang tersedia pada interaksi protein-ligan (*Protein-ligand interaction*). *Reverse docking*, sebaliknya kepada proses konvensional dari docking, sebagai contoh, pada berbasis struktur VS, yaitu untuk mengaitkan sebuah molekul kecil ke dalam *binding sites* yang sudah dikenal dari kelompok struktur protein. Perbandingan dari 2 model ini ditunjukkan pada gambar 6.



Gambar II. 11 : Skema diagram perbandingan (A) konvensional docking dan (B) *reverse docking* pada '*hit*' *identification*. Walaupun konvensional docking

menggunakan *screen libraries* dari senyawa melawan 1 obat target yang potensial, *reverse docking* digunakan untuk mendocking senyawa yang diberikan ke dalam *binding sites* yang sudah dikenal dari kelompok obat target.

2. *Repositioning Obat*

Penambahan penemuan target obat baru, pengujian lain untuk menambah produktifitas dari desain obat yang sudah ada diproses untuk penemuan penggunaan baru dari obat yang sudah ada. Konsep ini juga diketahui sebagai *repositioning* obat (juga dikenal sebagai *repurposing* obat atau *reprofiling*) dan memiliki keuntungan yang perlu diperhatikan saat ini. Karena *starting point* pada repositioning obat biasanya peningkatan obat dengan bioavailabilitas dan keamanan profil, pendekatan ini secara signifikan mengurangi resiko kegagalannya dengan pengembangan obat dan fasilitas reposisi senyawa-senyawa untuk memasuki fase klinik lebih cepat dan biaya kirang daripada *new chemical entities*. Memberikan banyak dari reposisi obat saat ini pada pasar market are ditutupi oleh kesempatan yang sangat bagus pada pengembangan komputasi untuk rasionalisasi dan fasilitas pada prosesnya. Pengetahuan tentang interaksi antara protein dan molekul yang penting untuk pengembangan instrumen reposisi obat. Ada beberapa database yang fokus pada aksi biologis obat, misalnya, *DrugBank* , TTD , SuperTarget, dan MATADOR.

3. *Interaksi Protein Ligand*

Di antara berbagai pendekatan komputasi, *docking molekular* memainkan peran sentral dalam memprediksi interaksi protein-ligan, yang telah banyak digunakan untuk penemuan *hit discovery* obat dan optimasi penuntun. Meskipun algoritma rinci dan pelaksanaannya mungkin berbeda, docking melibatkan konformasi komponen sampel untuk menghasilkan konformasi teoritis dalam *binding pocket*, dan sebuah review pada *Pharmakologikal Sains* Oktober 2013, Vol. 34, No. 10 552 afinitas ikatan berelasi dengan angka komponen untuk mengurutkan konformasi. Evaluasi beberapa program docking sering digunakan dapat ditemukan

di tempat lain. Ada kecenderungan umum bahwa akurasi bergantung pada sistem menunjukkan bahwa metode yang diuji adalah khusus untuk keluarga protein tertentu. Kemajuan yang signifikan telah disajikan oleh beberapa kelompok penelitian di China baru-baru ini. GasDock dikembangkan oleh Li *et al.* Merupakan program docking ultra-cepat dan fleksibel. Mengutamakan algoritma konformasi-sampel yang menggunakan algoritma genetika berbasis entropi untuk mengoptimalkan *binding poses* molekul kecil.

4. *Skrining Virtual dan Optimasi Penuntun*

Berdasarkan perspektif desain obat komputasi, proses penemuan obat yang biasanya melibatkan dua langkah: *hit identification* dan optimasi penuntun. Metode *hit identification* berelasi dengan investigasi secara berulang untuk mencari senyawa dengan aktivitas biologis menarik, yang juga dikenal sebagai VS. VS berbasis farmakofor ditetapkan di insilico yang hasilnya diidentifikasi dari banyak senyawa aktif pada program *drug discovery*. Umumnya, model farmakofor disimpulkan dari satu set ligan dengan aktivitas diketahui ketika struktur 3D dari reseptor kurang. Beberapa program untuk *automatic ligand-based pharmacophore derivation* telah dikembangkan, yang menunjukkan kemampuan yang berbeda untuk memperoleh senyawa aktif. Kemungkinan lain, sebuah model farmakofor dapat secara langsung dihasilkan dari struktur kristal protein, mengungkapkan unsur-unsur kunci yang diperlukan ikatan protein-ligan. Dengan kemajuan pesat dalam biologi struktural, pengembangan struktur protein berbasis *pharmacophore* diandalkan dan mendapatkan perhatian lebih dan lebih.

5. *Prediksi In Silico dari Sifat ADME/T*

Kebanyakan penelitian tentang ADME/T dimulai dengan menyoroti kontribusi dari sifat-sifat ini pada tingkat kegagalan penemuan obat dan resultan biaya pemasangan yang membawa obat baru ke pasar. Sementara itu, jumlah obat yang dipasarkan yang ditarik kembali semakin meningkat, utamanya karena isu ADME/T yang tidak dapat dideteksi sebelumnya. Saat ini, banyak solusi diusulkan untuk mengidentifikasi dan mengalamatkan isu ini sebelum senyawa penuntun lain

mencapai tingkatan klinik. Diantara mereka, peran awal sifat ADME/T dengan *in silico* telah luas diapresiasi. Biotransformation metabolik dari senyawa kimia baru dari kemenarikan yang tinggi karena sangat mempengaruhi bioavailabilitas, aktivitas, dan profil toksisitas (Mingyue Zheng *et al*, 2013: 549-554).



BAB III

METODOLOGI PENELITIAN

A. Jenis dan Lokasi Penelitian

1. Jenis Penelitian

Jenis penelitian yang digunakan adalah studi kuantitatif.

2. Lokasi Penelitian

Penelitian ini dilakukan di laboratorium komputer Fakultas Ilmu Kesehatan UIN Alauddin Makassar, Februari–Juli 2014.

B. Pendekatan Penelitian

Pendekatan penelitian yang dilakukan adalah pendekatan eksperimentatif.

C. Alat dan Bahan

1. Perangkat Keras

Perangkat keras yang digunakan pada penelitian ini adalah perangkat keras berupa satu set komputer yang mampu melakukan perhitungan kimia komputasi dengan spesifikasi: Prosesor tipe intel Core i5 3210M 2,50 GHz, HD 7670M , dan hard disk 500 GB.

2. Perangkat Lunak

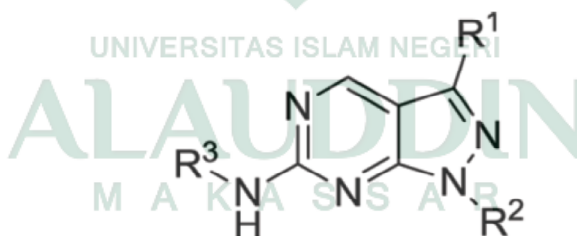
Hyperchem, Molecular Operating Environment (MOE), Chemical Reactivity and Fate Tool (CRAFT), Toxtree, situs AdmetSar.

D. Prosedur Kerja

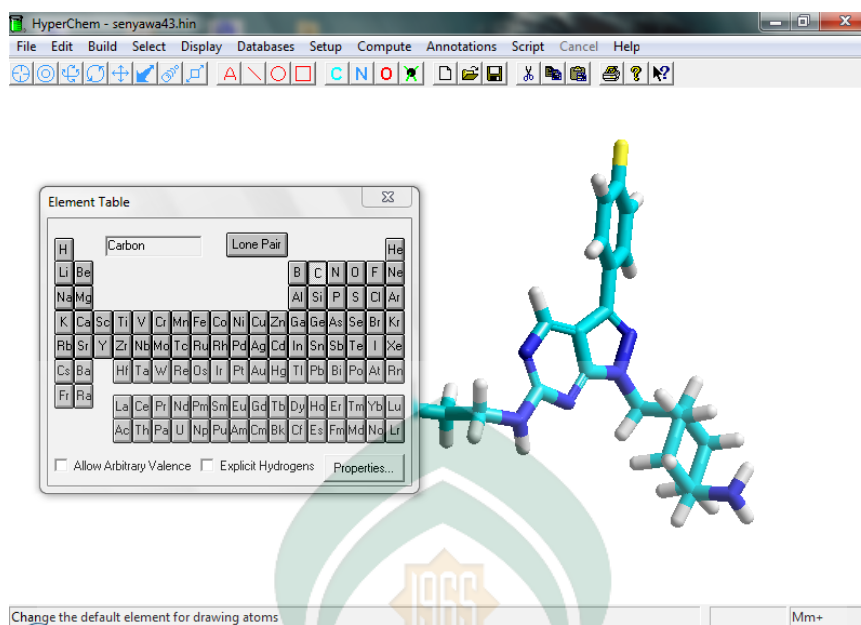
1. Pemodelan dan Pengembangan Struktur Senyawa

Pemodelan dan pengembangan struktur senyawa turunan Pirazolo-[3,4-*d*]-pirimidin dibuat dengan menggunakan perangkat lunak *Hyperchem*. Pembuatan model senyawa terdiri atas pemilihan atom, jenis ikatan, dan muatan total dari senyawa uji. Struktur tiga dimensi (3D) setiap senyawa disimpan dalam format ekstensi *.hin.

Sebagai bahan penelitian digunakan data pengaruh aktifitas berdasarkan modifikasi gugus fungsi terhadap satu seri senyawa turunan Pirazolo-[3,4-*d*]-pirimidin yang diambil dari jurnal hasil penelitian Liu, J.(2012) dengan judul artikel *Discovery of Small Molecule Mer Kinase Inhibitors for the Treatment of Pediatric Acute Lymphoblastic Leukemia* dalam jurnal *Medical Chemistry*.



Gambar III.1. Pirazolo-[3,4-*d*]-pirimidin



Gambar III.2. Jendela *Hyperchem*

Pemodelan struktur senyawa dibuat berdasarkan table di bawah ini:

Tabel III.I SAR pirazolo-[3,4-d]-pirimidin sebagai inhibitor Mer (Jing Liu, 2012)

R1	<ul style="list-style-type: none"> • aril > alkenil > alkil • Substitusi <i>para</i> metoksi lebih aktif dari posisi <i>meta</i> dan <i>orto</i> • Gugus pendorong elektron seperti fenil dan piridil, dapat disubstitusikan pada posisi <i>para</i> • Gugus penarik elektron menurunkan aktivitas, sedangkan pendonor elektron meningkatkan aktivitas
R2	<ul style="list-style-type: none"> • Jarak antara cincin pirazol dengan gugus polar pada R2 adalah penting, dan substitusi sikloheksilmetil lebih disukai • Isomer <i>trans</i>-4-aminocyclohexylmethyl lebih aktif daripada isomer <i>cis</i>-nya
R3	<ul style="list-style-type: none"> • Pengantian amin sekunder dengan amin tersier menurunkan aktivitas • Perpanjangan rantai alkil (C3-C5) mendongkrak aktivitas, sedangkan percabangan rantai alkil dan gugus sikloalkil kurang menguntungkan • Penambahan gugus polar pada rantai alkil menurunkan aktivitas secara dramatis • Penambahan cincin fenil atau substitusi <i>para</i> pada fenil ditoleransi dengan baik • Penambahan gugus polar (penarik elektron) menurunkan aktivitas (sebaliknya jika gugus nonpolar akan sebaliknya)

Tabel III. 2 Hasil perhitungan IC₅₀ senyawa turuna pirazolo[3,4d]pirimidin (Salam, Nur. 2013, 58-60)

No	IC ₅₀ Mer (μM)	IC ₅₀ Axl (μM)	IC ₅₀ Tyro3 (μM)	AXL: MER	TYRO3: MER
PP1.	0.000035	0.006777	0.000034	191.09	0.96
PP2.	0.000142	0.873373	0.000159	6169.22	1.13
PP3.	0.000302	0.109917	0.004513	363.73	14.93
PP4.	0.00000888	0.010392	0.000549	1170.16	61.87
PP5.	0.007356	0.006901	0.045225	0.94	6.15
PP6.	0.000597	0.042478	0.029414	71.10	49.23
PP7.	0.00000678	0.038182	0.005421	5631.88	799.59
PP8.	0.000056	0.092869	0.000086	1666.31	1.54
PP9.	0.000092	0.001797	0.003568	19.46	38.63
PP10.	0.000111	0.003604	0.001730	32.32	15.52
PP11.	0.000004	0.009166	0.000455	2139.87	106.16
PP12.	0.00000188	0.004868	0.000883	2595.13	470.86
PP13.	0.000820	0.024721	0.003433	30.16	4.19
PP14.	0.003528	0.002927	0.013745	0.83	3.90
PP15.	0.003032	0.025372	0.014519	8.37	4.79
PP16.	0.006018	0.008370	0.022709	1.39	3.77
PP17.	0.019318	0.031847	0.123275	1.65	6.38
PP18.	0.424101	0.032941	0.213027	0.08	0.50
PP19.	0.000952	0.034260	0.007134	35.98	7.49
PP20.	0.023520	0.031273	0.057879	1.33	2.46
PP21.	0.044029	0.063684	0.099315	1.45	2.26
PP22.	1.692955	0.014563	0.796796	0.01	0.47
PP23.	0.141640	0.015677	0.690493	0.11	4.87
PP24.	0.001979	0.003917	0.008198	1.98	4.14
PP25.	0.00001519	0.015306	0.000463	1007.88	30.50
PP26.	0.00001999	0.078861	0.002049	3945.18	102.52
PP27.	0.00000149	0.559317	0.00001869	374174.11	12.51
PP28.	0.00000035	6.007316	0.00001385	17264481	39.81

b. Optimasi Geometri

Struktur senyawa dioptimasi dengan perangkat lunak *Hyperchem* menggunakan metode *Ab initio*. Optimasi struktur geometri bertujuan untuk memperoleh konformasi struktur yang lebih stabil. Urutan perintah pada program *Hyperchem* yaitu *Hyperchem>> setup >> Ab initio*, selanjutnya diatur basis set menjadi *minimal*. Selanjutnya *Hyperchem>>Compute >> Geometry Optimization* untuk memulai perhitungan optimasi geometri dengan parameter *default*. Hasil perhitungan *Ab initio* lebih akurat dibanding dengan semiempirik, sebab *Ab initio* menyelesaikan semua persamaan mekanika kuantum secara eksak dan semua elektron yang ada diperhitungkan. File yang telah dioptimasi disimpan dalam format ekstensi *.mol.

a. Kalkulasi Deskriptor

Nilai deskriptor dikalkulasi menggunakan program MOE. Deskriptor yang dihitung adalah AM1_LUMO, ASA_H, mr, vdw_vol, AM1_Eele, AM1_HF, AM1_HOMO, glob, vol, LogS, E.

Perhitungan dimulai dengan pembuatan database senyawa turunan Pirazolo-[3,4-*d*]-pirimidin dengan memasukkan struktur senyawa yang telah dioptimasi ke file database.

Urutan perintah untuk kalkulasi deskriptor adalah *Database Viewer >> Compute >> Descriptors >> Calculate*, kemudian dipilih deskriptor yang akan dihitung, kemudian tekan OK.

File Edit Display Compute Window Help														Can
I														
	mol	AM1_Eele	AM1_HF	AM1_HOMO	AM1_LUMO	ASA_H	E	glob	logS	mr	vdw_vol	vol	lip_violati	
1	Y	-1060879.3	71.6086	-8.2681	-0.3208	776.5526	140.7435	0.0632	-6.3699	12.5524	613.2604	445.1250	0.00	
2	Y	-1063987.2	28.5919	-8.5592	-0.3970	770.7469	95.0389	0.0706	-6.2871	12.4629	607.1113	436.7500	0.00	
3	Y	-1164983.6	60.5342	-8.1069	-0.2819	825.0140	134.7151	0.0540	-6.5765	13.4924	665.3503	479.5000	0.00	
4	Y	-1114151.3	14.0882	-8.5162	-0.3686	805.9330	106.3721	0.0597	-6.6994	12.9667	633.6796	456.3750	0.00	
5	Y	-1066165.5	6.8751	-8.7278	-0.5416	763.2814	94.7951	0.0747	-6.9440	12.3864	601.7313	434.1250	0.00	
6	Y	-1217722.0	-76.8747	-8.8420	-0.7076	773.1225	86.9047	0.0788	-7.5340	12.4853	608.0158	439.2500	1.00	
7	Y	-1209227.8	31.7943	-8.1772	-0.1957	838.4550	2479.6521	0.0778	-6.5985	13.4281	655.1555	473.6250	1.00	
8	Y	-1206463.0	-10.0899	-8.4585	-0.2873	830.8138	2428.6382	0.0828	-6.5156	13.3294	649.0064	468.5000	0.00	
9	Y	-1255977.0	37.1383	-8.1140	-0.1845	869.7949	2472.4866	0.0641	-6.6740	13.9262	681.2004	491.0000	0.00	
10	Y	-1255977.0	37.1383	-8.1140	-0.1845	869.7949	2472.4866	0.0641	-6.6740	13.9262	681.2004	491.0000	0.00	
11	Y	-1266119.2	-3.6377	-8.4227	-0.2740	863.0350	2433.1348	0.0717	-6.9280	13.8349	675.5747	489.1250	0.00	
12	Y	-1365672.8	-94.6222	-8.7897	-0.6188	833.4542	2430.4246	0.0921	-7.7625	13.3644	649.9109	469.8750	1.00	
13	Y	-1166518.1	90.6440	-8.3080	-0.3695	834.6274	187.5421	0.0780	-6.1520	13.1252	645.0226	466.2500	1.00	
14	Y	-1170349.8	48.0909	-8.6214	-0.4577	828.1812	140.0107	0.0844	-6.0691	13.0417	638.8735	461.6250	1.00	
15	Y	-1227766.0	87.0200	-8.2544	-0.3511	863.2753	164.5190	0.0606	-6.2276	13.6229	671.0676	484.8750	1.00	
16	Y	-1275537.7	100.8841	-8.1565	-0.3255	885.6326	180.0439	0.0635	-6.3585	14.0679	697.1125	503.2500	0.00	
17	Y	-1231374.7	47.3329	-8.5853	-0.4381	850.8947	135.6350	0.0686	-6.4815	13.5468	665.4418	484.8750	0.00	
18	Y	-1174771.0	47.2581	-8.7647	-0.6048	816.4161	140.1958	0.0912	-6.7261	12.9652	633.4935	461.8750	0.00	
19	Y	-1174771.0	47.2581	-8.7647	-0.6048	816.4161	140.1958	0.0912	-6.7261	12.9652	633.4935	461.8750	0.00	
20	Y	-997144.31	109.9672	-8.2727	-0.2961	775.2700	107.8831	0.0593	-6.3247	12.3643	605.2463	434.8750	1.00	
21	Y	-1052082.7	73.7701	-8.5177	-0.3758	794.5345	72.8608	0.0528	-6.6542	12.8091	625.6656	450.5000	1.00	
22	Y	-1047121.0	114.5400	-8.2093	-0.2991	802.0353	100.9927	0.0512	-6.4003	12.8596	631.2913	454.1250	1.00	

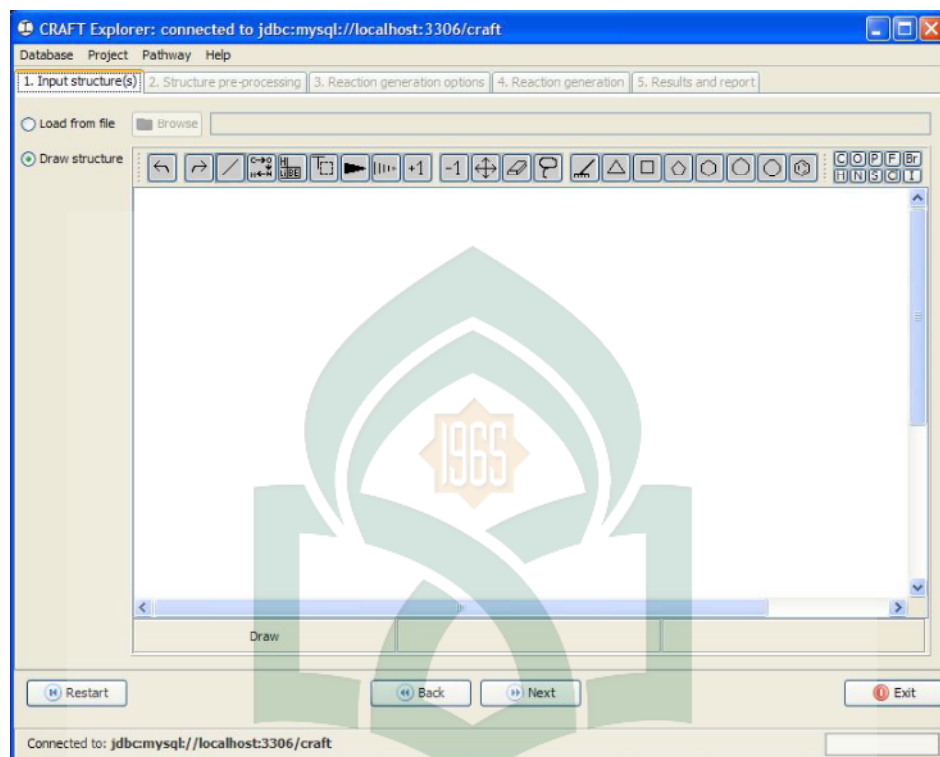
Gambar III.3. Jendela Database Viewer

Tabel III.3. Daftar Deskriptor

No.	Simbol pada software	Simbol umum	Deskriptor
1.	AM1_Eele	E_{Ele}	Energi elektronik
2.	AM1_HF	HF	Pembentukan panas
3.	AM1_HOMO	E_{HOMO}	Energi HOMO
4.	AM1_LUMO	E_{LUMO}	Energi LUMO
5.	ASA_H	\AA	Luas permukaan hidrofobik
6.	E	E	PotensialEnergi
7.	Glob	Glob	Globularitas
8.	log S	log S	Logaritma kelarutan dalam air
9.	log P (o/w)	log P	Koefisien partisi
10.	Mr	MR	Refraktivitas molar
11.	vdw_vol	vdw_vol	Volume Van der Waals
12.	Vol	Vol	Volume molekular

b. Kajian Biodegradasi Senyawa

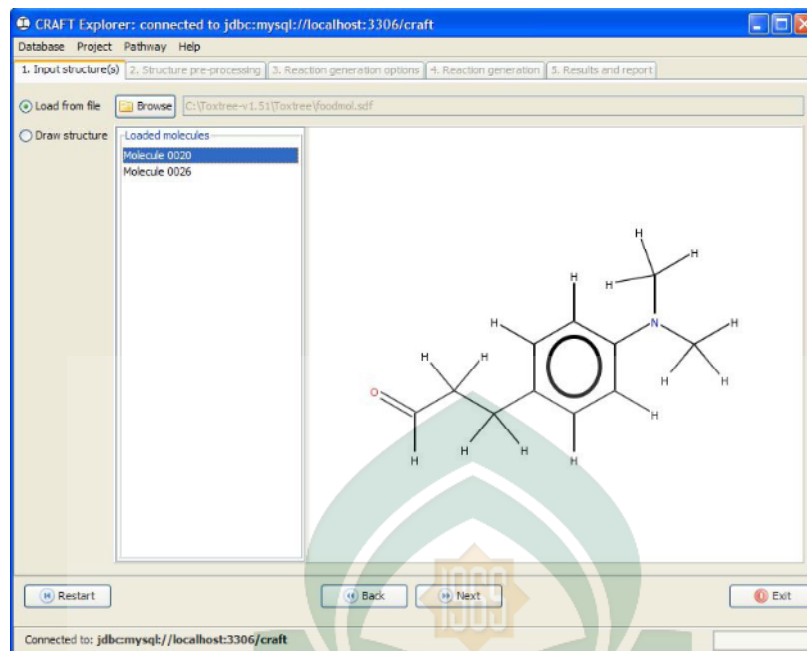
1. Input Senyawa



Gambar III.4. Jendela Chemical Reactivity and Fate Tool (CRAFT)

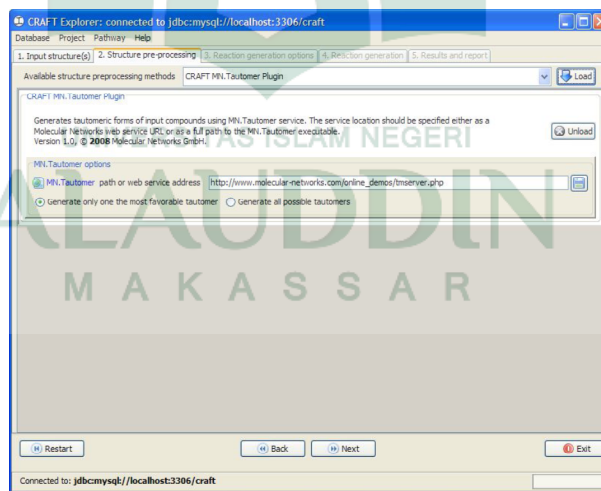
Senyawa dapat diinput dalam 2 cara :

- a. *Graphical input*, pada bagian ini struktur senyawa kimia digambar secara manual dengan menggunakan toolbar yang tersedia.
- b. Import dari sebuah file, *klik load from file* >> *browse* >> *Select molecule* >> *ok*.



Gambar III.5. Jendela Chemical Reactivity and Fate Tool (CRAFT)

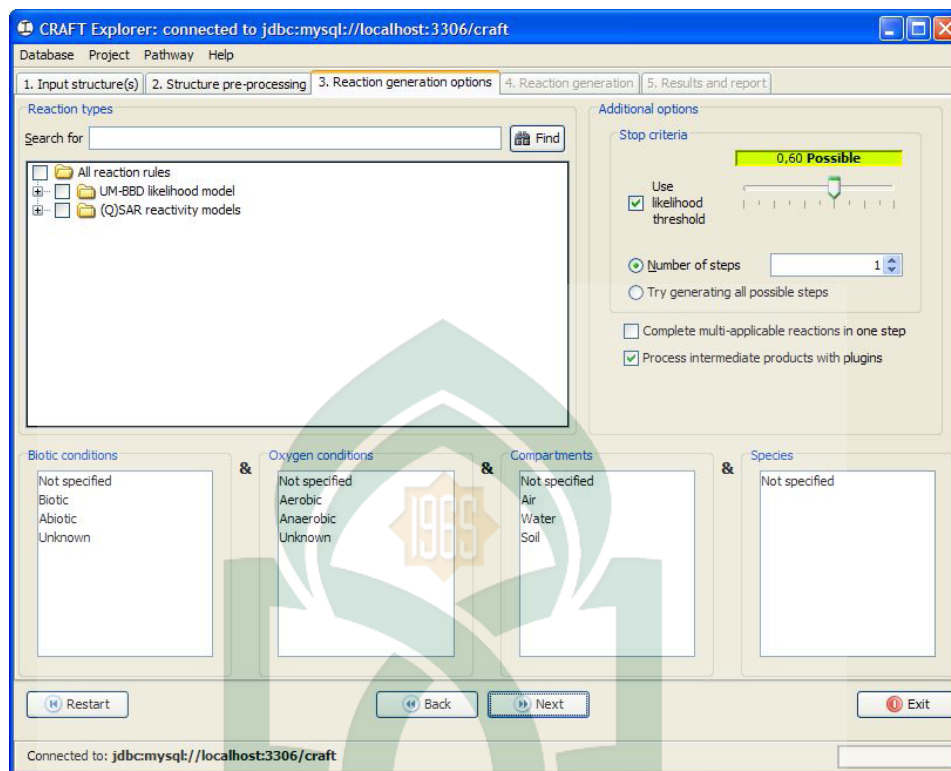
2. Memilih preprocessing dari struktur senyawa



Gambar III.6. Jendela Plug in Chemical Reactivity and Fate Tool (CRAFT)

Memilih jenis plug in untuk reprocessing senyawa, *klik Load >> Tautomer >> unload*

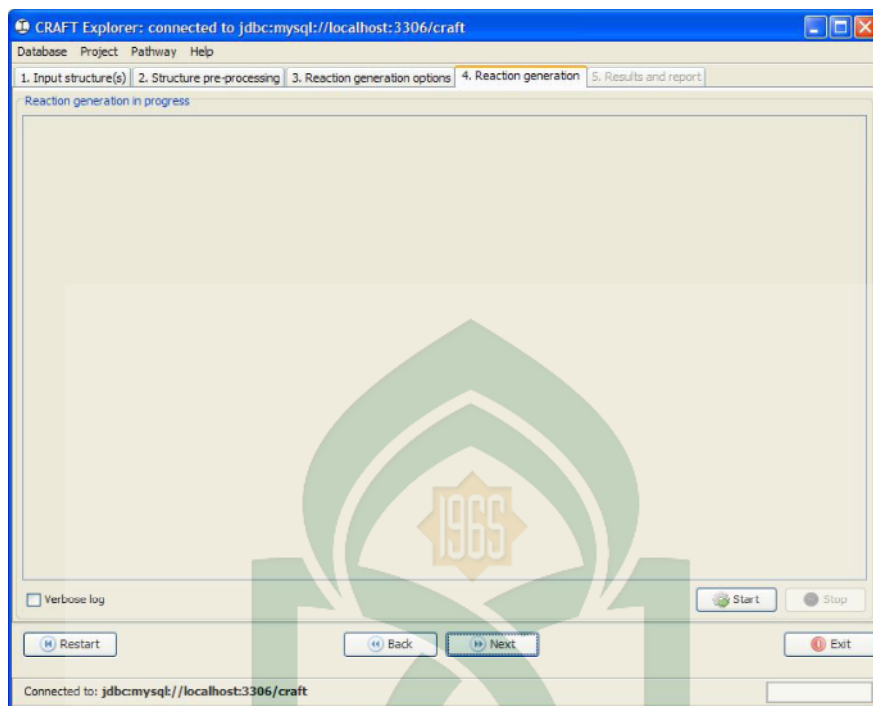
3. Reaction generation options



Gambar III.7. CRAFT Explorer – Reaction generation options page

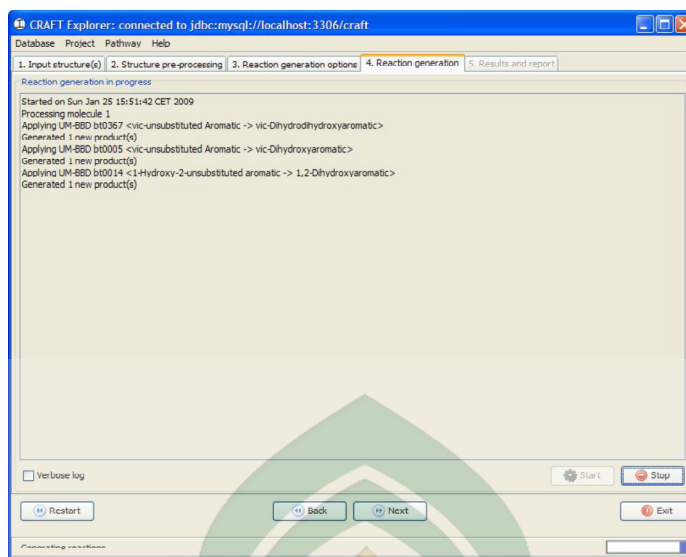
- a. Memilih aturan reaksi yang akan diaplikasikan pada kandidat senyawa kimia.
- b. *Additional constraints* – *reactions conditions* dipilih
- c. Memilih *stop criteria* untuk memberikan batas pada produk yang dihasilkan

4. Reaction generation progress



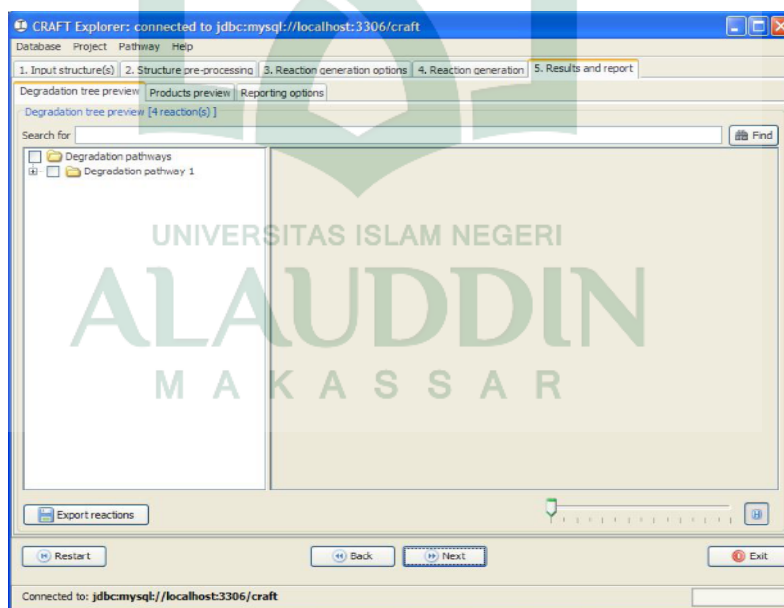
Gambar III.8. CRAFT Explorer – Reaction generation options page

Klik *verbose log* untuk mendapatkan hasil report lebih detail dan klik start untuk memulai perintah. Jika reaksi sudah selesai maka tombol stop menjadi aktif.



Gambar III.9 CRAFT Explorer – Reaction generation options page

5. Results and reports



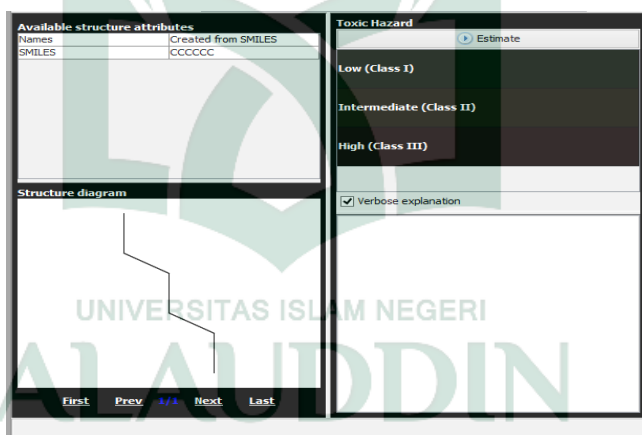
Gambar III.10. CRAFT Explorer – Result and reports page

Klik find untuk memunculkan hasil dan *klik reporting options* >> *save* >> *.rdf*

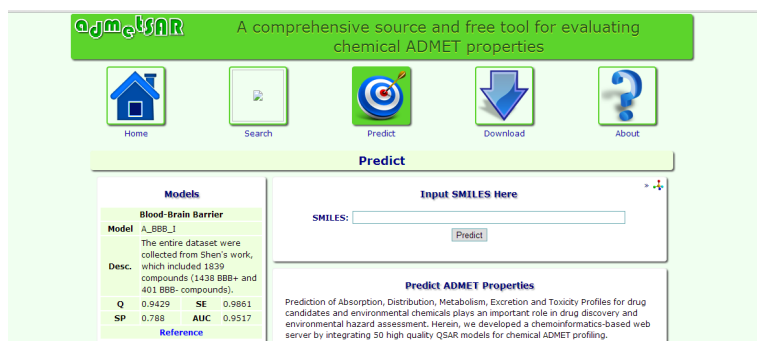
>> *ok*

c. Prediksi Toksisitas Senyawa

Hasil produk degradasi dan senyawa terpilih diprediksi toksisitasnya dengan Toxtree. Prediksi ini dilakukan dengan menginput file struktur dalam bentuk *.mol. Selanjutnya memilih metode penentuan kriteria toksisitas pada senyawa. *Klik method >> select a decision tree >>select available decision tree >> ok >> estimate >> save *.pdf*. Estimasi dilakukan untuk melihat penentuan criteria toksisitas suatu senyawa berdasarkan toxtre. Sebelum melakukan estimasi maka dipilih *verbose explanation* untuk menentukan tingkatan dan detail dari hasil yang didapatkan.



Gambar III.11.JendelaToxtree



Gambar III.12 Jendela AdmetSAR

d. Prediksi Farmakokinetik dan toksisitas

Prediksi dilakukan dengan admetSAR yaitu sistem berbasis internet yang dapat melakukan prediksi pada beberapa criteria farmakokinetik suatu senyawa. Dilakukan dengan memasukkan SMILES senyawa pada kolom, jika tidak terdapat SMILES, maka dapat digambar dan diprediksi SMILESnya. Setelah SMILES didinput kemudian klik *predict*.

Prediksi kriteria dilakukan juga dengan DemPred, yaitu sistem berbasis internet yang dapat melakukan prediksi pada klirens dan volume distribusi dari senyawa. Dilakukan dengan cara menginput file struktur senyawa dengan format *.sdf atau *.df. Lalu klik *predict*.



Gambar III.13.Jendela DemPred

BAB IV

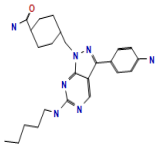
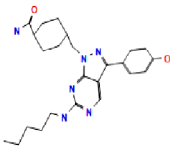
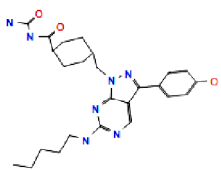
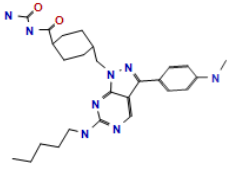
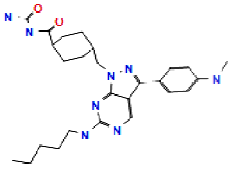
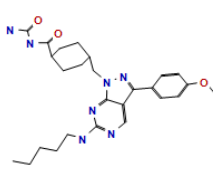
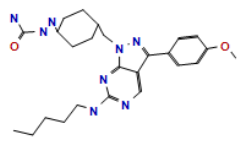
HASIL PENELITIAN DAN PEMBAHASAN

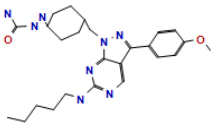
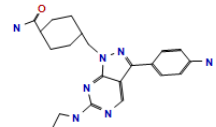
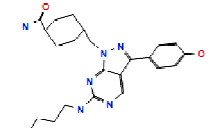
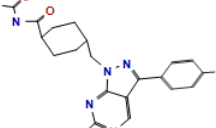
A. Pengembangan Senyawa

Senyawa turunan pirazolo-[3,4-d]-pirimidin yang telah dikembangkan berdasarkan modifikasi pada gugus R1, R2, dan R3. Pada R1 model aril dipertahankan karena lebih aktif dibandingkan posisi alkenil dan alkil. Gugus pendonor elektron diberikan pada modifikasi R1 yang dapat meningkatkan aktifitas senyawa seperti N, OH, OCH₃ pada model aril. Pada R2 modifikasi dilakukan dengan mengubah gugus polar pada senyawa, sedangkan pada R3 modifikasi dilakukan dengan menambahkan gugus nonpolar yang keudian dapat meningkatkan aktifitas senyawa. Berdasarkan pertimbangan tersebut maka didapatkan 115 senyawa hasil pengembangan. Senyawa 1 hingga senyawa 115 kemudian disaring dengan melihat parameter perbandingan aktifitas antara Mer : Ax1 : Tyro3 untuk melihat tingkat selektifitasnya dan juga berdasarkan aturan Lipinski.

Aturan Lipinski merupakan parameter yang menunjukkan kemampuan bioavailabilitas oral suatu senyawa. Bioavailabilitas yang baik akan memenuhi aturan Lipinski dimana berat molekul senyawa maksimal 500 Da, X log P tidak lebih dari 5, donor ikatan hidrogen tidak lebih dari 5, dan jumlah atom akseptor hidrogen seperti atom O dan N maksimal 10. Dan dari 115 senyawa yang dikembangkan didapatkan 11 senyawa dengan angka Lipinski adalah 0, artinya tidak ada satupun aturan Lipinski yang dilanggar. Dengan demikian di prediksi kesebelas senyawa tersebut memiliki bioavailabilitas yang baik sehingga jika masuk ke dalam tubuh dapat diabsorpsi ke sistemik atau ke dalam tubuh. Berdasarkan pertimbangan tersebut maka didapatkan 11 senyawa terpilih.

Tabel IV.1 Senyawa Pengembangan Terpilih

NO	Senyawa	IC50 MER (μ M)	IC50 AXL (μ M)	IC50 TYRO3 (μ M)	Mer : Axl : Tyro3	Aturan Lipinski
001		1.9056505 21	53384.69128	530227.001	1 : 28014: 278239	0
002		1.7103179 01	53438.00732	531845.594 4	1 : 31245 : 310963	0
008		0.5951949 23	65791.52271	599768.292 5	1 : 110538 : 1007684	0
009		0.7067189 53	68366.48893	624462.905 1	1 : 96738 : 8836089	0
010		0.7067189 53	68366.48893	624462.905 1	1 : 96738 : 8836089	0
011		1.0426423 13	68786.2524	629590.076 8	1 : 65973 : 603841	0
017		1.9220341 33	61901.89492	615480.694 2	1 : 32206: 320224	0

031		1.9220341 33	61901.89492	615480.694 2	1 : 32206 : 320224	0
111		1.9056505 21	53384.69128	530227.001	1 : 28014 : 278239	0
112		1.7103179 01	53438.00732	531845.594 4	1 : 31244 : 310963	0
115		0.5951949 23	65791.52271	599768.292 5	1 : 10538 : 1007684	0

Setelah mendapatkan 11 senyawa terpilih, selanjutnya dilakukan prediksi biodegradasi. Kajian biodegradasi dilakukan untuk melihat prediksi produk senyawa yang didasarkan pada reaktifitas senyawa yang kemudian hasil-hasilnya tersebut diprediksi toksisitasnya pada toxtree. Toxtree merupakan sebuah software yang dapat membantu melihat tingkat toksisitas dari sebuah senyawa dengan mengklasifikasikannya dalam bagian tertentu. Pada penelitian kali ini, parameter yang digunakan dari toxtree antara lain *cramer rules*, *The Benigni / Bossa rulebase for mutagenicity and carcinogenicity*, *Micronucleous assay in rodent*, *Cytochrome P450-mediated drug metabolism*, dan *Kroes TTC*. Dari parameter tersebut diharapkan bahwa senyawa yang diuji dapat dilihat tingkat toksisitasnya. Pada toxtree dilakukan juga klasifikasi toksisitas pada hasil biodegradasi, hal tersebut dilakukan karena suatu senyawa obat yang aktif akan gagal digunakan jika hasil biodegradasinya memiliki akibat buruk pada manusia dalam hal ini tingkat toksisitas yang membahayakan sehingga dapat merugikan pada manusia. Dari toxtree ini dapat dilihat perbandingan keseluruhan senyawa dan hasil biodegradasinya.

Tabel V.2 Klasifikasi toksisitas berdasarkan toxtree

Senyawa	Hasil Degradasi	Cramer Rules		Alert for mn*		Benigni/Bosa Rulebase **		CYPs***		Kroes TTC	
001		3	√	1	√	1,9	√	1,2,3,4	√	2	-
	51	1	-	2	-	8,9	-	0	-	1	√
	623	3	√	1	√	8,9	-	1,2,3,4	√	1	√
	624	3	√	1	√	8,9	-	1,2,3,4	√	1	√
	625	3	√	1	√	8,9	-	1,2,3,4	√	1	√
	626	3	√	1	√	8,9	-	1,2,3,4	√	1	√
	627	3	√	1	√	1,9	√	1,2,3,4	√	2	-
	628	1	-	1	√	1,9	√	1,2,3,4	√	2	-
	629	3	√	1	√	8,9	-	1,2,3,4	√	1	√
	630	3	√	1	√	8,9	-	1,2,3,4	√	1	√
	631	3	√	1	√	8,9	-	1,2,3,4	√	1	√
	632	3	√	1	√	8,9	-	1,2,3,4	√	1	√
	633	3	√	1	√	8,9	-	1,2,3,4	√	1	√
	634	3	√	1	√	8,9	-	1,2,3,4	√	1	√
	635	3	√	1	√	8,9	-	1,2,3,4	√	1	√
	636	3	√	1	√	8,9	-	1,2,3,4	√	1	√
	637	3	√	1	√	8,9	-	1,2,3,4	√	1	√
	638	3	√	1	√	8,9	-	1,2,3,4	√	1	√
002		3	√	1	√	8,9	-	1,2,3,4	√	1	√
	51	1	-	2	-	8,9	-	0	-	1	√
	628	1	-	1	√	1,9	√	1,2,3,4	√	2	-
	630	3	√	1	√	8,9	-	1,2,3,4	√	1	√
	640	3	√	1	√	8,9	-	1,2,3,4	√	1	√
	641	3	√	1	√	8,9	-	1,2,3,4	√	1	√
	642	3	√	1	√	8,9	-	1,2,3,4	√	1	√
	643	3	√	1	√	8,9	-	1,2,3,4	√	1	√
	644	3	√	1	√	8,9	-	1,2,3,4	√	1	√
	645	3	√	1	√	8,9	-	1,2,3,4	√	1	√
	646	3	√	1	√	8,9	-	1,2,3,4	√	1	√
	647	3	√	1	√	8,9	-	1,2,3,4	√	1	√
	648	3	√	1	√	8,9	-	1,2,3,4	√	1	√
	649	3	√	1	√	8,9	-	1,2,3,4	√	1	√
	650	3	√	1	√	8,9	-	1,2,3,4	√	1	√
	651	3	√	1	√	8,9	-	1,2,3,4	√	1	√
	652	3	√	1	√	8,9	-	1,2,3,4	√	1	√
	653	3	√	1	√	8,9	-	1,2,3,4	√	1	√
	654	3	√	1	√	8,9	-	1,2,3,4	√	1	√
	51	1	√	2	-	8,9	-	0	-	1	√
	628	1	-	1	√	1,9	-	1,2,3,4	√	2	√
	643	3	√	1	√	8,9	√	1,2,3,4	√	1	-
	656	3	√	1	√	8,9	-	1,2,3,4	√	1	√

	657	3	√	1	√	8,9	-	1,2,3,4	√	1	√
	658	3	√	1	√	8,9	-	1,2,3,4	√	1	√
	659	3	√	1	√	1,9	√	1,2,3,4	√	2	-
	660	3	√	1	√	8,9	-	1,2,3,4	√	1	√
	661	3	√	1	√	8,9	-	1,2,3,4	√	1	√
	662	1	-	2	-	8,9	-	1,2,3,4	√	1	√
	664	3	√	1	√	8,9	-	1,2,3,4	√	1	√
	665	3	√	1	√	8,9	-	1,2,3,4	√	1	√
	666	3	√	1	√	8,9	-	1,2,3,4	√	1	√
	667	3	√	1	√	8,9	-	1,2,3,4	√	1	√
	668	3	√	1	√	8,9	-	1,2,3,4	√	1	√
	669	3	√	1	√	8,9	-	1,2,3,4	√	1	√
	670	3	√	1	√	8,9	-	1,2,3,4	√	1	√
	671	3	√	1	√	8,9	-	1,2,3,4	√	1	√
	672	3	√	1	√	8,9	-	1,2,3,4	√	1	√
	673	3	√	1	√	8,9	-	1,2,3,4	√	1	√
008		3	√	1	√	1,9	√	1,2,3,4	√	1	√
	16	1	-	2	-	8,9	-	0	-	1	√
	51	1	-	2	-	8,9	-	0	-	1	√
	136	1	-	2	-	8,9	-	1,2	-	1	√
	628	1	-	1	√	1,9	√	1,2,3,4	√	2	-
	662	1	-	2	-	8,9	-	1,2,3,4	√	1	√
	663	1	-	2	-	8,9	-	1,2	-	1	√
	673	3	√	1	√	8,9	-	1,2,3,4	√	1	√
	675	3	√	1	√	8,9	-	1,2,3,4	√	1	√
	676	3	√	1	√	8,9	-	1,2,3,4	√	1	√
	677	3	√	1	√	8,9	-	1,2,3,4	√	1	√
	678	3	√	1	√	1,9	√	1,2,3,4	√	2	-
	680	3	√	1	√	8,9	-	1,2,3,4	√	1	√
	681	3	√	1	√	8,9	-	1,2,3,4	√	1	√
	682	3	√	1	√	8,9	-	1,2,3,4	√	1	√
	683	3	√	1	√	8,9	-	1,2,3,4	√	1	√
	684	3	√	1	√	1,9	√	1,2,3,4	√	2	-
	686	3	√	1	√	8,9	-	1,2,3,4	√	1	√
	687	3	√	1	√	8,9	-	1,2,3,4	√	1	√
	688	3	√	1	√	8,9	-	1,2,3,4	√	1	√
	689	3	√	1	√	8,9	-	1,2,3,4	√	1	√
	690	3	√	1	√	8,9	-	1,2,3,4	√	1	√
	691	3	√	1	√	8,9	-	1,2,3,4	√	1	√
009		3	√	1	√	1,9	√	1,2,3,4	√	2	-
	14	3	√	1	√	8,9	-	1,2	-	1	√
	16	1	-	2	-	8,9	-	0	-	1	√
	51	1	-	2	-	8,9	-	0	-	1	√
	628	1	-	1	√	1,9	√	1,2,3,4	√	2	-
	662	1	-	2	-	8,9	-	1,2,3,4	√	1	√

	663	1	-	2	-	8,9	-	1,2	-	1	√
	673	3	√	1	√	8,9	-	1,2,3,4	√	1	√
	674	3	√	1	√	8,9	-	1,2,3,4	√	1	√
	693	3	√	1	√	8,9	-	1,2,3,4	√	1	√
	694	3	√	1	√	8,9	-	1,2,3,4	√	1	√
	695	3	√	1	√	8,9	-	1,2,3,4	√	1	√
	696	3	√	1	√	1,9	√	1,2,3,4	√	1	√
	697	3	√	1	√	8,9	-	1,2,3,4	√	1	√
	698	3	√	1	√	8,9	-	1,2,3,4	√	1	√
	699	3	√	1	√	8,9	-	1,2,3,4	√	1	√
	701	3	√	1	√	8,9	-	1,2,3,4	√	1	√
	702	3	√	1	√	8,9	-	1,2,3,4	√	1	√
	703	3	√	1	√	8,9	-	1,2,3,4	√	1	√
	704	3	√	1	√	8,9	-	1,2,3,4	√	1	√
	705	3	√	1	√	8,9	-	1,2,3,4	√	1	√
	706	3	√	1	√	8,9	-	1,2,3,4	√	1	√
	707	3	√	1	√	8,9	-	1,2,3,4	√	1	√
	708	3	√	1	√	8,9	-	1,2,3,4	√	1	√
011		3	√	1	√	8,9	-	1,2,3,4	√	1	√
	16	1	-	2	√	8,9	-	0	-	1	√
	51	1	-	2	-	8,9	-	0	-	1	√
	628	1	-	1	√	1,9	√	1,2,3,4	√	2	-
	655	3	√	1	√	8,9	-	1,2,3,4	√	1	√
	662	1	-	2	-	8,9	-	1,2,3,4	√	1	√
	663	1	-	2	-	8,9	-	1,2	-	1	√
	710	3	√	1	√	8,9	-	1,2,3,4	√	1	√
	711	3	√	1	√	8,9	-	1,2,3,4	√	1	√
	712	3	√	1	√	8,9	-	1,2,3,4	√	1	√
	713	3	√	1	√	8,9	-	1,2,3,4	√	2	-
	714	3	√	1	√	8,9	-	1,2,3,4	√	1	√
	715	3	√	1	√	8,9	-	1,2,3,4	√	1	√
	716	3	√	1	√	8,9	-	1,2,3,4	√	1	√
	717	3	√	1	√	8,9	-	1,2,3,4	√	1	√
	718	3	√	1	√	8,9	-	1,2,3,4	√	1	√
	719	3	√	1	√	8,9	-	1,2,3,4	√	1	√
	720	3	√	1	√	8,9	-	1,2,3,4	√	1	√
	721	3	√	1	√	8,9	-	1,2,3,4	√	1	√
	722	3	√	1	√	8,9	-	1,2,3,4	√	1	√
	723	3	√	1	√	8,9	-	1,2,3,4	√	1	√
	724	3	√	1	√	8,9	-	1,2,3,4	√	1	√
017		3	√	1	√	1,9	√	1,3,4	√	2	-
	16	1	-	2	-	8,9	-	0	-	1	√
	51	1	-	2	-	8,9	-	0	-	1	√
	628	1	-	1	√	1,9	√	1,2,3,4	√	2	-
	663	1	-	2	-	8,9	-	1,2	-	1	√

	726	3	√	1	√	1,9	√	1,3,4	√	2	-
	727	3	√	1	√	1,9	√	1,3,4	√	2	-
	728	3	√	1	√	1,9	√	1,3,4	√	2	-
	729	3	√	1	√	1,9	√	1,2,3,4	√	2	-
	730	3	√	1	√	1,9	√	1,2,3,4	√	2	-
	731	3	√	1	√	1,9	√	1,3,4	√	2	-
	732	3	√	1	√	1,9	√	1,2,3,4	√	2	-
	733	3	√	1	√	1,9	√	1,3,4	√	2	-
	734	3	√	1	√	1,9	√	1,3,4	√	2	-
	735	3	√	1	√	1,9	√	1,3,4	√	2	-
	736	3	√	1	√	1,9	√	1,3,4	√	2	-
	737	3	√	1	√	1,9	√	1,3,4	√	2	-
	738	3	√	1	√	1,9	√	1,3,4	√	2	-
	739	3	√	1	√	1,9	√	1,3,4	√	2	-
031		3	√	1	√	1,9	√	1,3,4	√	2	-
	16	1	-	2	-	8,9	-	0	-	1	-
	51	1	-	2	-	8,9	-	0	-	1	√
	628	1	-	1	√	1,9	√	1,2,3,4	√	2	√
	663	1	-	2	-	8,9	-	1,2	√	1	-
	726	3	√	1	√	1,9	√	1,3,4	√	2	√
	727	3	√	1	√	1,9	√	1,3,4	√	2	-
	728	3	√	1	√	1,9	√	1,3,4	√	2	-
	729	3	√	1	√	1,9	√	1,2,3,4	√	2	-
	730	3	√	1	√	1,9	√	1,2,3,4	√	2	-
	731	3	√	1	√	1,9	√	1,3,4	√	2	-
	732	3	√	1	√	1,9	√	1,2,3,4	√	2	-
	733	3	√	1	√	1,9	√	1,3,4	√	2	-
	734	3	√	1	√	1,9	√	1,3,4	√	2	-
	735	3	√	1	√	1,9	√	1,3,4	√	2	-
	736	3	√	1	√	1,9	√	1,3,4	√	2	-
	737	3	√	1	√	1,9	√	1,3,4	√	2	-
	738	3	√	1	√	1,9	√	1,3,4	√	2	-
	739	3	√	1	√	1,9	√	1,3,4	√	2	-
111		3	√	1	√	1,9	√	1,2,3,4	√	2	-
	51	1	-	2	-	8,9	-	0	-	1	√
	623	3	√	1	√	8,9	-	1,2,3,4	√	1	√
	624	3	√	1	√	8,9	-	1,2,3,4	√	1	√
	625	3	√	1	√	8,9	-	1,2,3,4	√	1	√
	626	3	√	1	√	8,9	-	1,2,3,4	√	1	√
	627	3	√	1	√	1,9	√	1,2,3,4	√	2	-
	628	1	-	1	√	1,9	√	1,2,3,4	√	2	-
	629	3	√	1	√	8,9	-	1,2,3,4	√	1	√
	630	3	√	1	√	8,9	-	1,2,3,4	√	1	√
	631	3	√	1	√	8,9	-	1,2,3,4	√	1	√
	632	3	√	1	√	8,9	-	1,2,3,4	√	1	√

	633	3	√	1	√	8,9	-	1,2,3,4	√	1	√
	634	3	√	1	√	8,9	-	1,2,3,4	√	1	√
	635	3	√	1	√	8,9	-	1,2,3,4	√	1	√
	636	3	√	1	√	8,9	-	1,2,3,4	√	1	√
	637	3	√	1	√	8,9	-	1,2,3,4	√	1	√
	638	3	√	1	√	8,9	-	1,2,3,4	√	1	√
112		3	√	1	√	8,9	-	1,2,3,4	√	1	√
	51	1	-	2	-	8,9	-	0	-	1	√
	628	1	-	1	√	1,9	√	1,2,3,4	√	2	-
	630	3	√	1	√	8,9	-	1,2,3,4	√	1	√
	640	3	√	1	√	8,9	-	1,2,3,4	√	1	√
	641	3	√	1	√	8,9	-	1,2,3,4	√	1	√
	642	3	√	1	√	8,9	-	1,2,3,4	√	1	√
	643	3	√	1	√	8,9	-	1,2,3,4	√	1	√
	644	3	√	1	√	8,9	-	1,2,3,4	√	1	√
	645	3	√	1	√	8,9	-	1,2,3,4	√	1	√
	646	3	√	1	√	8,9	-	1,2,3,4	√	1	√
	647	3	√	1	√	8,9	-	1,2,3,4	√	1	√
	648	3	√	1	√	8,9	-	1,2,3,4	√	1	√
	649	3	√	1	√	8,9	-	1,2,3,4	√	1	√
	650	3	√	1	√	8,9	-	1,2,3,4	√	1	√
	651	3	√	1	√	8,9	-	1,2,3,4	√	1	√
	652	3	√	1	√	8,9	-	1,2,3,4	√	1	√
	653	3	√	1	√	8,9	-	1,2,3,4	√	1	√
	654	3	√	1	√	8,9	-	1,2,3,4	√	1	√
115		3	√	1	√	8,9	-	1,2,3,4	√	1	√
	51	1	-	2	-	8,9	-	0	-	1	√
	628	1	-	1	√	1,9	√	1,2,3,4	√	2	-
	643	3	√	1	√	8,9	-	1,2,3,4	√	1	√
	656	3	√	1	√	8,9	-	1,2,3,4	√	1	√
	657	3	√	1	√	8,9	-	1,2,3,4	√	1	√
	658	3	√	1	√	8,9	-	1,2,3,4	√	1	√
	659	3	√	1	√	1,9	√	1,2,3,4	√	2	-
	660	3	√	1	√	8,9	-	1,2,3,4	√	1	√
	661	3	√	1	√	8,9	-	1,2,3,4	√	1	√
	662	1	-	2	-	8,9	-	1,2,3,4	√	1	√
	664	3	√	1	√	8,9	-	1,2,3,4	√	1	√
	665	3	√	1	√	8,9	-	1,2,3,4	√	1	√
	666	3	√	1	√	8,9	-	1,2,3,4	√	1	√
	667	3	√	1	√	8,9	-	1,2,3,4	√	1	√
	668	3	√	1	√	8,9	-	1,2,3,4	√	1	√
	669	3	√	1	√	8,9	-	1,2,3,4	√	1	√
	670	3	√	1	√	8,9	-	1,2,3,4	√	1	√
	671	3	√	1	√	8,9	-	1,2,3,4	√	1	√
	672	3	√	1	√	8,9	-	1,2,3,4	√	1	√

	673	3	√	1	√	8,9	-	1,2,3,4	√	1	√
--	-----	---	---	---	---	-----	---	---------	---	---	---

Keterangan :

* *Micronucleous assay in rodent*

** *The Benigni / Bossa rulebase for mutagenicity and carcinogenicity*

****Cytochrome P450-mediated drug metabolism*

√ = Kurang Baik (1)

- = Baik (2)

Keterangan lebih lanjut dapat dilihat pada lampiran 4

Tabel IV. 3 Penilaian terhadap klasifikasi toksisitas

Senyawa	Hasil Degradasi	Cramer Rules		Alert for mn		Benigni/Bosa Rulebase		CYPs		Kroes TTC	
001		√	1	√	1	√	1	√	1	-	2 6
	51	-	2	-	2	-	2	-	2	√	1 9
	623	√	1	√	1	-	2	√	1	√	1 6
	624	√	1	√	1	-	2	√	1	√	1 6
	625	√	1	√	1	-	2	√	1	√	1 6
	626	√	1	√	1	-	2	√	1	√	1 6
	627	√	1	√	1	√	1	√	1	-	2 6
	628	-	2	√	1	√	1	√	1	-	2 7
	629	√	1	√	1	-	2	√	1	√	1 6
	630	√	1	√	1	-	2	√	1	√	1 6
	631	√	1	√	1	-	2	√	1	√	1 6
	632	√	1	√	1	-	2	√	1	√	1 6
	633	√	1	√	1	-	2	√	1	√	1 6
	634	√	1	√	1	-	2	√	1	√	1 6
	635	√	1	√	1	-	2	√	1	√	1 6
	636	√	1	√	1	-	2	√	1	√	1 6
	637	√	1	√	1	-	2	√	1	√	1 6
	638	√	1	√	1	-	2	√	1	√	1 6
Jumlah											106
Hasil											1.17
002		√	1	√	1	-	2	√	1	√	1 6
	51	-	2	-	2	-	2	-	2	√	1 9
	628	-	2	√	1	√	1	√	1	-	2 7
	630	√	1	√	1	-	2	√	1	√	1 6
	640	√	1	√	1	-	2	√	1	√	1 6
	641	√	1	√	1	-	2	√	1	√	1 6
	642	√	1	√	1	-	2	√	1	√	1 6

	643	√	1	√	1	-	2	√	1	√	1	6
	644	√	1	√	1	-	2	√	1	√	1	6
	645	√	1	√	1	-	2	√	1	√	1	6
	646	√	1	√	1	-	2	√	1	√	1	6
	647	√	1	√	1	-	2	√	1	√	1	6
	648	√	1	√	1	-	2	√	1	√	1	6
	649	√	1	√	1	-	2	√	1	√	1	6
	650	√	1	√	1	-	2	√	1	√	1	6
	651	√	1	√	1	-	2	√	1	√	1	6
	652	√	1	√	1	-	2	√	1	√	1	6
	653	√	1	√	1	-	2	√	1	√	1	6
	654	√	1	√	1	-	2	√	1	√	1	6
	628	-	2	√	1	-	2	√	1	√	1	7
	643	√	1	√	1	√	1	√	1	-	2	6
	656	√	1	√	1	-	2	√	1	√	1	6
	657	√	1	√	1	-	2	√	1	√	1	6
	658	√	1	√	1	-	2	√	1	√	1	6
	659	√	1	√	1	√	1	√	1	-	2	6
	660	√	1	√	1	-	2	√	1	√	1	6
	661	√	1	√	1	-	2	√	1	√	1	6
	662	-	2	-	2	-	2	√	1	√	1	8
	664	√	1	√	1	-	2	√	1	√	1	6
	665	√	1	√	1	-	2	√	1	√	1	6
	666	√	1	√	1	-	2	√	1	√	1	6
	667	√	1	√	1	-	2	√	1	√	1	6
	668	√	1	√	1	-	2	√	1	√	1	6
	669	√	1	√	1	-	2	√	1	√	1	6
	670	√	1	√	1	-	2	√	1	√	1	6
	671	√	1	√	1	-	2	√	1	√	1	6
	672	√	1	√	1	-	2	√	1	√	1	6
	673	√	1	√	1	-	2	√	1	√	1	6
Jmlh												235
Hasil												1.21
008		√	1	√	1	√	1	√	1	√	1	5
	16	-	2	-	2	-	2	-	2	√	1	9
	51	-	2	-	2	-	2	-	2	√	1	9
	136	-	2	-	2	-	2	-	2	√	1	9
	628	-	2	√	1	√	1	√	1	-	2	7
	662	-	2	-	2	-	2	√	1	√	1	8
	663	-	2	-	2	-	2	-	2	√	1	9
	673	√	1	√	1	-	2	√	1	√	1	6
	675	√	1	√	1	-	2	√	1	√	1	6
	676	√	1	√	1	-	2	√	1	√	1	6
	677	√	1	√	1	-	2	√	1	√	1	6
	678	√	1	√	1	√	1	√	1	-	2	6

	680	√	1	√	1	-	2	√	1	√	1	6
	681	√	1	√	1	-	2	√	1	√	1	6
	682	√	1	√	1	-	2	√	1	√	1	6
	683	√	1	√	1	-	2	√	1	√	1	6
	684	√	1	√	1	√	1	√	1	-	2	6
	686	√	1	√	1	-	2	√	1	√	1	6
	687	√	1	√	1	-	2	√	1	√	1	6
	688	√	1	√	1	-	2	√	1	√	1	6
	689	√	1	√	1	-	2	√	1	√	1	6
	690	√	1	√	1	-	2	√	1	√	1	6
	691	√	1	√	1	-	2	√	1	√	1	6
Jmlh												152
hasil												1.32
009		√	1	√	1	√	1	√	1	-	2	6
	14	√	1	√	1	-	2	-	2	√	1	7
	16	-	2	-	2	-	2	-	2	√	1	9
	51	-	2	-	2	-	2	-	2	√	1	9
	628	-	2	√	1	√	1	√	1	-	2	7
	662	-	2	-	2	-	2	√	1	√	1	8
	663	-	2	-	2	-	2	-	2	√	1	9
	673	√	1	√	1	-	2	√	1	√	1	6
	674	√	1	√	1	-	2	√	1	√	1	6
	693	√	1	√	1	-	2	√	1	√	1	6
	694	√	1	√	1	-	2	√	1	√	1	6
	695	√	1	√	1	-	2	√	1	√	1	6
	696	√	1	√	1	√	1	√	1	√	1	5
	697	√	1	√	1	-	2	√	1	√	1	6
	698	√	1	√	1	-	2	√	1	√	1	6
	699	√	1	√	1	-	2	√	1	√	1	6
	701	√	1	√	1	-	2	√	1	√	1	6
	702	√	1	√	1	-	2	√	1	√	1	6
	703	√	1	√	1	-	2	√	1	√	1	6
	704	√	1	√	1	-	2	√	1	√	1	6
	705	√	1	√	1	-	2	√	1	√	1	6
	706	√	1	√	1	-	2	√	1	√	1	6
	707	√	1	√	1	-	2	√	1	√	1	6
	708	√	1	√	1	-	2	√	1	√	1	6
Jmlh												143
hasil												1.19
011		√	1	√	1	-	2	√	1	√	1	6
	16	-	2	√	1	-	2	-	2	√	1	8
	51	-	2	-	2	-	2	-	2	√	1	9
	628	-	2	√	1	√	1	√	1	-	2	7
	655	√	1	√	1	-	2	√	1	√	1	6
	662	-	2	-	2	-	2	√	1	√	1	8

	663	-	2	-	2	-	2	-	2	√	1	9
	710	√	1	√	1	-	2	√	1	√	1	6
	711	√	1	√	1	-	2	√	1	√	1	6
	712	√	1	√	1	-	2	√	1	√	1	6
	713	√	1	√	1	-	2	√	1	-	2	7
	714	√	1	√	1	-	2	√	1	√	1	6
	715	√	1	√	1	-	2	√	1	√	1	6
	716	√	1	√	1	-	2	√	1	√	1	6
	717	√	1	√	1	-	2	√	1	√	1	6
	718	√	1	√	1	-	2	√	1	√	1	6
	719	√	1	√	1	-	2	√	1	√	1	6
	720	√	1	√	1	-	2	√	1	√	1	6
	721	√	1	√	1	-	2	√	1	√	1	6
	722	√	1	√	1	-	2	√	1	√	1	6
	723	√	1	√	1	-	2	√	1	√	1	6
	724	√	1	√	1	-	2	√	1	√	1	6
jmlh												132
hasil												1.15
017		√	1	√	1	√	1	√	1	-	2	6
	16	-	2	-	2	-	2	-	2	√	1	9
	51	-	2	-	2	-	2	-	2	√	1	9
	628	-	2	√	1	√	1	√	1	-	2	7
	663	-	2	-	2	-	2	-	2	√	1	9
	726	√	1	√	1	√	1	√	1	-	2	6
	727	√	1	√	1	√	1	√	1	-	2	6
	728	√	1	√	1	√	1	√	1	-	2	6
	729	√	1	√	1	√	1	√	1	-	2	6
	730	√	1	√	1	√	1	√	1	-	2	6
	731	√	1	√	1	√	1	√	1	-	2	6
	732	√	1	√	1	√	1	√	1	-	2	6
	733	√	1	√	1	√	1	√	1	-	2	6
	734	√	1	√	1	√	1	√	1	-	2	6
	735	√	1	√	1	√	1	√	1	-	2	6
	736	√	1	√	1	√	1	√	1	-	2	6
	737	√	1	√	1	√	1	√	1	-	2	6
	738	√	1	√	1	√	1	√	1	-	2	6
	739	√	1	√	1	√	1	√	1	-	2	6
jmlh												124
Hasil												1.30
031		√	1	√	1	√	1	√	1	-	2	6
	16	-	2	-	2	-	2	-	2	-	2	10
	51	-	2	-	2	-	2	-	2	√	1	9
	628	-	2	√	1	√	1	√	1	√	1	6
	663	-	2	-	2	-	2	√	1	-	2	9
	726	√	1	√	1	√	1	√	1	√	1	5

	727	√	1	√	1	√	1	√	1	-	2	6
	728	√	1	√	1	√	1	√	1	-	2	6
	729	√	1	√	1	√	1	√	1	-	2	6
	730	√	1	√	1	√	1	√	1	-	2	6
	731	√	1	√	1	√	1	√	1	-	2	6
	732	√	1	√	1	√	1	√	1	-	2	6
	733	√	1	√	1	√	1	√	1	-	2	6
	734	√	1	√	1	√	1	√	1	-	2	6
	735	√	1	√	1	√	1	√	1	-	2	6
	736	√	1	√	1	√	1	√	1	-	2	6
	737	√	1	√	1	√	1	√	1	-	2	6
	738	√	1	√	1	√	1	√	1	-	2	6
	739	√	1	√	1	√	1	√	1	-	2	6
jmlh												123
hasil												1.29
111		√	1	√	1	√	1	√	1	-	2	6
	51	-	2	-	2	-	2	-	2	√	1	9
	623	√	1	√	1	-	2	√	1	√	1	6
	624	√	1	√	1	-	2	√	1	√	1	6
	625	√	1	√	1	-	2	√	1	√	1	6
	626	√	1	√	1	-	2	√	1	√	1	6
	627	√	1	√	1	√	1	√	1	-	2	6
	628	-	2	√	1	√	1	√	1	-	2	7
	629	√	1	√	1	-	2	√	1	√	1	6
	630	√	1	√	1	-	2	√	1	√	1	6
	631	√	1	√	1	-	2	√	1	√	1	6
	632	√	1	√	1	-	2	√	1	√	1	6
	633	√	1	√	1	-	2	√	1	√	1	6
	634	√	1	√	1	-	2	√	1	√	1	6
	635	√	1	√	1	-	2	√	1	√	1	6
	636	√	1	√	1	-	2	√	1	√	1	6
	637	√	1	√	1	-	2	√	1	√	1	6
	638	√	1	√	1	-	2	√	1	√	1	6
jmlh												111
hasil												1.23
112		√	1	√	1	-	2	√	1	√	1	6
	51	-	2	-	2	-	2	-	2	√	1	9
	628	-	2	√	1	√	1	√	1	-	2	7
	630	√	1	√	1	-	2	√	1	√	1	6
	640	√	1	√	1	-	2	√	1	√	1	6
	641	√	1	√	1	-	2	√	1	√	1	6
	642	√	1	√	1	-	2	√	1	√	1	6
	643	√	1	√	1	-	2	√	1	√	1	6
	644	√	1	√	1	-	2	√	1	√	1	6
	645	√	1	√	1	-	2	√	1	√	1	6

	646	√	1	√	1	-	2	√	1	√	1	6
	647	√	1	√	1	-	2	√	1	√	1	6
	648	√	1	√	1	-	2	√	1	√	1	6
	649	√	1	√	1	-	2	√	1	√	1	6
	650	√	1	√	1	-	2	√	1	√	1	6
	651	√	1	√	1	-	2	√	1	√	1	6
	652	√	1	√	1	-	2	√	1	√	1	6
	653	√	1	√	1	-	2	√	1	√	1	6
	654	√	1	√	1	-	2	√	1	√	1	6
Jmlh												118
Hasil												1.24
115		√	1	√	1	-	2	√	1	√	1	6
	51	-	2	-	2	-	2	-	2	√	1	9
	628	-	2	√	1	√	1	√	1	-	2	7
	643	√	1	√	1	-	2	√	1	√	1	6
	656	√	1	√	1	-	2	√	1	√	1	6
	657	√	1	√	1	-	2	√	1	√	1	6
	658	√	1	√	1	-	2	√	1	√	1	6
	659	√	1	√	1	√	1	√	1	-	2	6
	660	√	1	√	1	-	2	√	1	√	1	6
	661	√	1	√	1	-	2	√	1	√	1	6
	662	-	2	-	2	-	2	√	1	√	1	8
	664	√	1	√	1	-	2	√	1	√	1	6
	665	√	1	√	1	-	2	√	1	√	1	6
	666	√	1	√	1	-	2	√	1	√	1	6
	667	√	1	√	1	-	2	√	1	√	1	6
	668	√	1	√	1	-	2	√	1	√	1	6
	669	√	1	√	1	-	2	√	1	√	1	6
	670	√	1	√	1	-	2	√	1	√	1	6
	671	√	1	√	1	-	2	√	1	√	1	6
	672	√	1	√	1	-	2	√	1	√	1	6
	673	√	1	√	1	-	2	√	1	√	1	6
jmlh												132
hasil												1.26

Keterangan :

* *Micronucleous assay in rodent*

** *The Benigni / Bossa rulebase for mutagenicity and carcinogenicity*

****Cytochrome P450-mediated drug metabolism*

√ = Kurang Baik

- = Baik

Keterangan lebih lanjut dapat dilihat pada lampiran 4

Tabel IV. 4 Hasil pengkajian toksisitas dengan toxtree

Senyawa	Hasil
001	1.17
002	1.21
008	1.32
009	1.19
011	1.15
017	1.30
031	1.29
111	1.23
112	1.24
115	1.26

Berdasarkan kajian toksisitas dengan toxtree dari keseluruhan penilaian didapatkan bahwa senyawa yang memiliki toksisitas paling aman dari senyawa terpilih yaitu senyawa 008 dengan hasil tertinggi yaitu 1.32.

Tabel IV. 5. Tabel kajian toksisitas dengan admetSAR

Senyawa	Massa Molekul	Rat Acute Toxicity mol/kg	Rat Acute Toxicity mg/kg	Toxicity class*
001	435.57	2.7497	1197.6868	moderately toxic
002	436.56	2.6352	1150.4429	moderately toxic
008	479.58	2.0168	967.2169	moderately toxic
009	492.62	2.6191	1290.2210	moderately toxic
010	492.62	2.6191	1290.2210	moderately toxic
011	493.61	2.5636	1256.4186	moderately toxic
017	480.61	2.7374	1315.6218	moderately toxic
031	480.61	2.7374	1315.6218	moderately toxic
111	435.57	2.6746	1164.9755	moderately toxic
112	436.56	2.6352	1150.4429	moderately toxic
115	479.58	2.5031	1200.4367	moderately toxic

* Super toxic (<5 mg/kg), extremely toxic (5–50 mg/kg), very toxic (50–500 mg/kg), moderately toxic(500–5,000 mg/kg), slightly toxic (5,000–15,000 mg/kg) and practically non-toxic (>15,000 mg/kg).

Berdasarkan kajian toksisitas dengan melihat LD50 dari senyawa maka didapatkan hasil bahwa keseluruhan senyawa termasuk dalam kategori moderately toxic.

Tabel IV.6 Hasil prediksi farmakokinetik dengan admetsar dan DemPred

NO	Senyawa	Caco2 cell *permeability		Human Intestinal Absorption		Blood Brain Barrier Penetration**	
1	001	0.5428	2	1.0000	3	0.9507	1
2	002	0.6915	2	1.0000	3	0.9391	1
3	008	0.7221	2	1.0000	3	0.9181	1
4	009	0.6515	2	1.0000	3	0.9729	1
5	010	0.6515	2	1.0000	3	0.9729	1
6	011	0.6691	2	1.0000	3	0.9682	1
7	017	0.6518	2	1.0000	3	0.9413	1
8	031	0.6518	2	1.0000	3	0.9413	1
9	111	0.6390	2	1.0000	3	0.9642	1
10	112	0.6915	2	1.0000	3	0.9391	1
11	115	0.7221	2	1.0000	3	0.9181	1

*Caco2-cell permeability. 0-0.4 low permeability (1), 0.4-0.8 middle permeability (2), 0.8-1 high permeability (3)

** BBB : CNS – Active compounds (+) lebih dari 0,4 (1), CNS – Inactive compound (-) kurang dari 0,4 (2)

Tabel IV. 7 Tabel prediksi volume distribusi dan klirens

Senyawa	Klirens (ml/min/kg)	Volume Distribusi (L/Kg)
001	2.058811	4.01298
002	1.909886	3.407487
008	1.345517	2.400352
009	1.548078	2.789292
010	1.548078	2.789292
011	2.008897	3.207137
017	1.253776	2.95245
031	1.253776	2.95245
111	2.058811	4.01298
112	1.909886	3.407487
115	1.345517	2.400352

Berdasarkan prediksi farmakokinetik secara keseluruhan senyawa pilihan memiliki koefisien sama 1.0000 pada Penyerapan usus manusia dapat diserap dengan baik. Sedangkan senyawa dengan permeabilitas sel Caco2 paling baik yaitu senyawa 008 dan senawa 115. Sel Caco-2 merupakan turunan dari kolon adenocarcinoma pada manusia yang memiliki jalur transportasi pada obat menembus epithelium

Senyawa 008 dan 115 juga memiliki koefisien terendah pada penetrasinya pada barrier darah pada otak, karena diharapkan tidak dapat melewati barrier tersebut agar tidak menyebabkan efek samping. Blood-Brain Barrier (BBB) penetration atau Barrier darah otak merupakan representasi dari perbandingan konsentrasi obat pada otak dan darah, dimana konsentrasi pada otak dan darah merupakan keadaan tetap pada konsentrasi dari konsentrasi senyawa pada otak dan perifer darah. Memprediksikan penetrasi pada BBB bermaksud memprediksikan kandungan senyawa yang menyebrangi barrier darah otak. Volume distribusi merupakan jumlah volume dari distribusi yang secara farmakologi digunakan untuk mengetahui jumlah distribusi obat dalam plasma dan akan diam dalam tubuh setelah penggunaan oral atau parenteral. Hal tersebut mendefinisikan volume jumlah obat yang dibutuhkan untuk terdistribusi dan menghasilkan pratinjau konsentrasi obat dalam darah. Senyawa 008 dan 115 memiliki volume distribusi terkecil yaitu 2.400352 L/kg artinya pada volume tersebut senyawa 008 dan 115 telah erdistribusi pada tubuh, Klirens merupakan rasio dimana substansi senyawa obat dikeluarkan atau dibersihkan dari tubuh melalui urin dan atau pada dialysis ginjal. Senyawa dengan klirens paling baik yaitu senyawa 001 dan 111 dengan klirens 2.058811 ml/min/kg.

Tabel IV.3 Hasil prediksi toksisitas dan hasil degradasinya oleh toxtree dan admetsar

NO	Senyawa Utama	Hasil degradasi	Cramer Rules	Alerts for mn	Benigni/Bosa Rulebase	CYPs	Kroes TTC	Rat Acute Toxicity mol/kg	Fish Toxicity mg/L	Tetrahymena Pyriformis Toxicity ug/L
1	001		3	1	1,9	1,2,3,4	2	2.7497	1.1942	0.6359
		51	1	2	8,9	0	1	2.0168	2.1885	-0.9037
		623	3	1	8,9	1,2,3,4	1	2.715	1.4924	0.498
		624	3	1	8,9	1,2,3,4	1	2.6424	1.4837	0.5161
		625	3	1	8,9	1,2,3,4	1	2.7346	1.4827	0.5013
		626	3	1	8,9	1,2,3,4	1	2.6398	1.5228	0.581
		627	3	1	1,9	1,2,3,4	2	2.4141	1.6426	0.4002
		628	1	1	1,9	1,2,3,4	2	1.4870	1.2353	-0.3627
		629	3	1	8,9	1,2,3,4	1	2.7514	1.4726	0.4619
		630	3	1	8,9	1,2,3,4	1	2.6511	1.4957	0.5162
		631	3	1	8,9	1,2,3,4	1	2.3192	1.7375	0.3122
		632	3	1	8,9	1,2,3,4	1	2.7553	1.4937	0.4566
		633	3	1	8,9	1,2,3,4	1	2.7414	1.5139	0.4586
		634	3	1	8,9	1,2,3,4	1	2.6999	1.4780	0.4790
		635	3	1	8,9	1,2,3,4	1	2.6580	1.4660	0.5029
		636	3	1	8,9	1,2,3,4	1	2.6767	1.5651	0.4167
		637	3	1	8,9	1,2,3,4	1	2.6089	1.5789	0.4352
		638	3	1	8,9	1,2,3,4	1	2.6148	1.5387	0.4536
2	002		3	1	8,9	1,2,3,4	1	2.6352	1.4464	0.5187
		51	1	2	8,9	0	1	2.0168	2.1885	-0.9037
		628	1	1	1,9	1,2,3,4	2	1.4870	1.2353	-0.3627
		630	3	1	8,9	1,2,3,4	1	2.6511	1.4957	0.5162
		640	3	1	8,9	1,2,3,4	1	2.7487	1.4677	0.5295
		641	3	1	8,9	1,2,3,4	1	2.6282	1.4520	0.5563
		642	3	1	8,9	1,2,3,4	1	2.7069	1.4442	0.5359
		643	3	1	8,9	1,2,3,4	1	2.5760	1.4559	0.6170
	644	3	1	8,9	1,2,3,4	1	2.6681	1.5155	0.4815	

		645	3	1	8,9	1,2,3,4	1	2.7102	1.4840	0.4788
		646	3	1	8,9	1,2,3,4	1	2.6616	1.5323	0.4585
		647	3	1	8,9	1,2,3,4	1	2.2724	1.6738	0.2944
		648	3	1	8,9	1,2,3,4	1	2.7102	1.4840	0.4788
		649	3	1	8,9	1,2,3,4	1	2.7073	1.5063	0.4839
		650	3	1	8,9	1,2,3,4	1	2.6681	1.5155	0.4815
		651	3	1	8,9	1,2,3,4	1	2.6049	1.4635	0.5298
		652	3	1	8,9	1,2,3,4	1	2.6346	1.5541	0.4292
		653	3	1	8,9	1,2,3,4	1	2.5655	1.5763	0.4348
		654	3	1	8,9	1,2,3,4	1	2.5715	1.5365	0.4589
3	008	51	1	2	8,9	0	1	2.0168	2.1885	-0.9037
		628	1	1	1,9	1,2,3,4	2	1.4870	1.2353	-0.3627
		643	3	1	8,9	1,2,3,4	1	2.5760	1.4559	0.6170
		656	3	1	8,9	1,2,3,4	1	2.6625	1.4663	0.5369
		657	3	1	8,9	1,2,3,4	1	2.6426	1.4624	0.5492
		658	3	1	8,9	1,2,3,4	1	2.7028	1.4646	0.5332
		659	3	1	1,9	1,2,3,4	2	2.3057	1.5571	0.3636
		660	3	1	8,9	1,2,3,4	1	2.6542	1.4569	0.5158
		661	3	1	8,9	1,2,3,4	1	2.5834	1.5104	0.5125
		662	1	2	8,9	1,2,3,4	1	0.8822	2.7868	-0.5187
		664	3	1	8,9	1,2,3,4	1	2.6330	1.4086	0.5589
		665	3	1	8,9	1,2,3,4	1	2.2813	1.5572	0.3908
		666	3	1	8,9	1,2,3,4	1	2.6542	1.4569	0.5158
		667	3	1	8,9	1,2,3,4	1	2.6439	1.4754	0.5203
		668	3	1	8,9	1,2,3,4	1	2.5798	1.4357	0.5414
		669	3	1	8,9	1,2,3,4	1	2.6270	1.4443	0.5438
		670	3	1	8,9	1,2,3,4	1	2.5876	1.5005	0.4839
		671	3	1	8,9	1,2,3,4	1	2.5595	1.5113	0.4820
672	3	1	8,9	1,2,3,4	1	2.5298	1.4711	0.5094		
673	3	1	8,9	1,2,3,4	1	2.5903	1.4570	0.5414		
4	009		3	1	1,9	1,2,3,4	1	2.6191	1.4842	0.5157

		16	1	2	8,9	0	1	2.3442	3.3692	-1.7143
		51	1	2	8,9	0	1	2.0168	2.1885	-0.9037
		136	1	2	8,9	1,2	1	2.0168	2.1885	-0.9037
		628	1	1	1,9	1,2,3,4	2	1.4870	1.2353	-0.3627
		662	1	2	8,9	1,2,3,4	1	0.8822	2.7868	-0.5187
		663	1	2	8,9	1,2	1	0.9274	3.4037	-1.6316
		673	3	1	8,9	1,2,3,4	1	2.5903	1.4570	0.5414
		675	3	1	8,9	1,2,3,4	1	2.6558	1.4600	0.5238
		676	3	1	8,9	1,2,3,4	1	2.6479	1.4498	0.5358
		677	3	1	8,9	1,2,3,4	1	2.7090	1.4574	0.5280
		678	3	1	1,9	1,2,3,4	2	2.4953	1.5428	0.4614
		680	3	1	8,9	1,2,3,4	1	2.7102	1.3743	0.6427
		681	3	1	8,9	1,2,3,4	1	2.7265	1.4505	0.5445
		682	3	1	8,9	1,2,3,4	1	2.7265	1.4505	0.5445
		683	3	1	8,9	1,2,3,4	1	2.5963	1.4808	0.4576
		684	3	1	1,9	1,2,3,4	2	2.5130	1.5857	0.4859
		686	3	1	8,9	1,2,3,4	1	2.6667	1.4963	0.5000
		687	3	1	8,9	1,2,3,4	1	2.6246	1.4637	0.5187
		688	3	1	8,9	1,2,3,4	1	2.6537	1.4696	0.5244
		689	3	1	8,9	1,2,3,4	1	2.6486	1.4584	0.5102
		690	3	1	8,9	1,2,3,4	1	2.5966	1.5176	0.4894
		691	3	1	8,9	1,2,3,4	1	2.5824	1.4752	0.5099
5	010		3	1	1,9	1,2,3,4	2	2.6191	1.4842	0.5157
		14	3	1	8,9	1,2	1	1.8416	2.9112	-1.4353
		16	1	2	8,9	0	1	2.3442	3.3692	-1.7143
		51	1	2	8,9	0	1	2.0168	2.1885	-0.9037
		628	1	1	1,9	1,2,3,4	2	1.4870	1.2353	-0.3627
		662	1	2	8,9	1,2,3,4	1	0.8822	2.7868	-0.5187
		663	1	2	8,9	1,2	1	0.9274	3.4037	-1.6316
		673	3	1	8,9	1,2,3,4	1	2.5903	1.4570	0.5414
		674	3	1	8,9	1,2,3,4	1	2.6191	1.4842	0.5157

		693	3	1	8,9	1,2,3,4	1	2.6851	1.4341	0.5094
		694	3	1	8,9	1,2,3,4	1	2.6463	1.4226	0.5128
		695	3	1	8,9	1,2,3,4	1	2.6962	1.4253	0.5061
		696	3	1	1,9	1,2,3,4	1	2.5651	1.4719	0.4466
		697	3	1	8,9	1,2,3,4	1	2.7828	1.2740	0.6306
		698	3	1	8,9	1,2,3,4	1	2.8197	1.4122	1.4122
		699	3	1	8,9	1,2,3,4	1	2.6779	1.3617	0.5391
		701	3	1	8,9	1,2,3,4	1	2.5163	1.5395	0.4605
		702	3	1	8,9	1,2,3,4	1	2.7508	1.4418	0.4768
		703	3	1	8,9	1,2,3,4	1	2.6989	1.4580	0.4877
		704	3	1	8,9	1,2,3,4	1	2.6921	1.4332	0.5018
		705	3	1	8,9	1,2,3,4	1	2.7303	1.4376	0.5078
		706	3	1	8,9	1,2,3,4	1	2.7086	1.4345	0.4906
		707	3	1	8,9	1,2,3,4	1	2.6643	1.4743	0.4809
		708	3	1	8,9	1,2,3,4	1	2.6443	1.4427	0.5009
6	011		3	1	8,9	1,2,3,4	1	2.5636	1.3868	0.5453
	16	1	2	8,9	0	1	2.3442	3.3692	-1.7143	
	51	1	2	8,9	0	1	2.0168	2.1885	-0.9037	
	628	1	1	1,9	1,2,3,4	2	1.4870	1.2353	-0.3627	
	655	3	1	8,9	1,2,3,4	1	2.6346	1.5541	0.4292	
	662	1	2	8,9	1,2,3,4	1	0.8822	2.7868	-0.5187	
	663	1	2	8,9	1,2	1	0.9274	3.4037	-1.6316	
	710	3	1	8,9	1,2,3,4	1	2.6618	1.4232	0.5647	
	711	3	1	8,9	1,2,3,4	1	2.5788	1.4257	0.5600	
	712	3	1	8,9	1,2,3,4	1	2.6485	1.4256	0.5387	
	713	3	1	8,9	1,2,3,4	2	2.5124	1.4125	0.4743	
	714	3	1	8,9	1,2,3,4	1	2.6806	1.2532	0.7005	
	715	3	1	8,9	1,2,3,4	1	2.7309	1.4265	0.5054	
	716	3	1	8,9	1,2,3,4	1	2.6390	1.3083	0.5963	
	717	3	1	8,9	1,2,3,4	1	2.4738	1.4956	0.5014	
718	3	1	8,9	1,2,3,4	1	2.6733	1.4162	0.5399		

		719	3	1	8,9	1,2,3,4	1	2.6419	1.4387	0.5373
		720	3	1	8,9	1,2,3,4	1	2.5889	1.4002	0.5681
		721	3	1	8,9	1,2,3,4	1	2.6329	1.4084	0.5711
		722	3	1	8,9	1,2,3,4	1	2.6069	1.4241	0.5324
		723	3	1	8,9	1,2,3,4	1	2.5850	1.4659	0.5232
		724	3	1	8,9	1,2,3,4	1	2.5540	1.4307	0.5550
	017		3	1	1,9	1,3,4	2	2.7374	1.3657	0.5231
7		16	1	2	8,9	0	1	2.3442	3.3692	-1.7143
		51	1	2	8,9	0	1	2.0168	2.1885	-0.9037
		628	1	1	1,9	1,2,3,4	2	1.4870	1.2353	-0.3627
		663	1	2	8,9	1,2	1	0.9274	3.4037	-1.6316
		726	3	1	1,9	1,3,4	2	2.7507	1.3928	0.5559
		727	3	1	1,9	1,3,4	2	2.6656	1.3929	0.5627
		728	3	1	1,9	1,3,4	2	2.7060	1.3944	0.5551
		729	3	1	1,9	1,2,3,4	2	2.6502	1.4296	0.4277
		730	3	1	1,9	1,2,3,4	2	2.7461	1.3745	0.5817
		731	3	1	1,9	1,3,4	2	2.7473	1.3192	0.5803
		732	3	1	1,9	1,2,3,4	2	2.6180	1.5133	0.4599
		733	3	1	1,9	1,3,4	2	2.7525	1.4210	0.5250
		734	3	1	1,9	1,3,4	2	2.7405	1.4135	0.5360
		735	3	1	1,9	1,3,4	2	2.7405	1.4135	0.5360
		736	3	1	1,9	1,3,4	2	2.7082	1.4212	0.5372
		737	3	1	1,9	1,3,4	2	2.6975	1.4644	0.4974
		738	3	1	1,9	1,3,4	2	2.6790	1.4378	0.5166
	739	3	1	1,9	1,3,4	2	2.7110	1.4736	0.4906	
8	031		3	1	1,9	1,3,4	2	2.7374	1.3657	0.5231
		16	1	2	8,9	0	1	2.3442	3.3692	-1.7143
		51	1	2	8,9	0	1	2.0168	2.1885	-0.9037
		628	1	1	1,9	1,2,3,4	2	1.4870	1.2353	-0.3627
		663	1	2	8,9	1,2	1	0.9274	3.4037	-1.6316
		726	3	1	1,9	1,3,4	2	2.7507	1.3928	0.5559

		727	3	1	1,9	1,3,4	2	2.6656	1.3929	0.5627
		728	3	1	1,9	1,3,4	2	2.7060	1.3944	0.5551
		729	3	1	1,9	1,2,3,4	2	2.6502	1.4296	0.4277
		730	3	1	1,9	1,2,3,4	2	2.7461	1.3745	0.5817
		731	3	1	1,9	1,3,4	2	2.7473	1.3192	0.5803
		732	3	1	1,9	1,2,3,4	2	2.6180	1.5133	0.4599
		733	3	1	1,9	1,3,4	2	2.7525	1.4210	0.5250
		734	3	1	1,9	1,3,4	2	2.7405	1.4135	0.5360
		735	3	1	1,9	1,3,4	2	2.7405	1.4135	0.5360
		736	3	1	1,9	1,3,4	2	2.7082	1.4212	0.5372
		737	3	1	1,9	1,3,4	2	2.6975	1.4644	0.4974
		738	3	1	1,9	1,3,4	2	2.6790	1.4378	0.5166
		739	3	1	1,9	1,3,4	2	2.7110	1.4736	0.4906
9	111		3	1	1,9	1,2,3,4	2	2.6746	1.4728	0.5629
	51	1	2	8,9	0	1	2.0168	2.1885	-0.9037	
	623	3	1	8,9	1,2,3,4	1	2.715	1.4924	0.498	
	624	3	1	8,9	1,2,3,4	1	2.6424	1.4837	0.5161	
	625	3	1	8,9	1,2,3,4	1	2.7346	1.4827	0.5013	
	626	3	1	8,9	1,2,3,4	1	2.6398	1.5228	0.581	
	627	3	1	1,9	1,2,3,4	2	2.4141	1.6426	0.4002	
	628	1	1	1,9	1,2,3,4	2	1.4870	1.2353	-0.3627	
	629	3	1	8,9	1,2,3,4	1	2.7514	1.4726	0.4619	
	630	3	1	8,9	1,2,3,4	1	2.6511	1.4957	0.5162	
	631	3	1	8,9	1,2,3,4	1	2.3192	1.7375	0.3122	
	632	3	1	8,9	1,2,3,4	1	2.7553	1.4937	0.4566	
	633	3	1	8,9	1,2,3,4	1	2.7414	1.5139	0.4586	
	634	3	1	8,9	1,2,3,4	1	2.6999	1.4780	0.4790	
	635	3	1	8,9	1,2,3,4	1	2.6580	1.4660	0.5029	
	636	3	1	8,9	1,2,3,4	1	2.6767	1.5651	0.4167	
637	3	1	8,9	1,2,3,4	1	2.6089	1.5789	0.4352		
638	3	1	8,9	1,2,3,4	1	2.6148	1.5387	0.4536		

10	112		3	1	8,9	1,2,3,4	1	2.6352	1.4464	0.5187
		51	1	2	8,9	0	1	2.0168	2.1885	-0.9037
		628	1	1	1,9	1,2,3,4	2	1.4870	1.2353	-0.3627
		630	3	1	8,9	1,2,3,4	1	2.6511	1.4957	0.5162
		640	3	1	8,9	1,2,3,4	1	2.7487	1.4677	0.5295
		641	3	1	8,9	1,2,3,4	1	2.6282	1.4520	0.5563
		642	3	1	8,9	1,2,3,4	1	2.7069	1.4442	0.5359
		643	3	1	8,9	1,2,3,4	1	2.5760	1.4559	0.6170
		644	3	1	8,9	1,2,3,4	1	2.6681	1.5155	0.4815
		645	3	1	8,9	1,2,3,4	1	2.7102	1.4840	0.4788
		646	3	1	8,9	1,2,3,4	1	2.6616	1.5323	0.4585
		647	3	1	8,9	1,2,3,4	1	2.2724	1.6738	0.2944
		648	3	1	8,9	1,2,3,4	1	2.7102	1.4840	0.4788
		649	3	1	8,9	1,2,3,4	1	2.7073	1.5063	0.4839
		650	3	1	8,9	1,2,3,4	1	2.6681	1.5155	0.4815
		651	3	1	8,9	1,2,3,4	1	2.6049	1.4635	0.5298
		652	3	1	8,9	1,2,3,4	1	2.6346	1.5541	0.4292
	653	3	1	8,9	1,2,3,4	1	2.5655	1.5763	0.4348	
	654	3	1	8,9	1,2,3,4	1	2.5715	1.5365	0.4589	
11	115		3	1	8,9	1,2,3,4	1	2.5031	1.4358	0.5364
		51	1	2	8,9	0	1	2.0168	2.1885	-0.9037
		628	1	1	1,9	1,2,3,4	2	1.4870	1.2353	-0.3627
		643	3	1	8,9	1,2,3,4	1	2.5760	1.4559	0.6170
		656	3	1	8,9	1,2,3,4	1	2.6625	1.4663	0.5369
		657	3	1	8,9	1,2,3,4	1	2.6426	1.4624	0.5492
		658	3	1	8,9	1,2,3,4	1	2.7028	1.4646	0.5332
		659	3	1	1,9	1,2,3,4	2	2.3057	1.5571	0.3636
		660	3	1	8,9	1,2,3,4	1	2.6542	1.4569	0.5158
		661	3	1	8,9	1,2,3,4	1	2.5834	1.5104	0.5125
		662	1	2	8,9	1,2,3,4	1	0.8822	2.7868	-0.5187
		664	3	1	8,9	1,2,3,4	1	2.6330	1.4086	0.5589

		665	3	1	8,9	1,2,3,4	1	2.2813	1.5572	0.3908
		666	3	1	8,9	1,2,3,4	1	2.6542	1.4569	0.5158
		667	3	1	8,9	1,2,3,4	1	2.6439	1.4754	0.5203
		668	3	1	8,9	1,2,3,4	1	2.5798	1.4357	0.5414
		669	3	1	8,9	1,2,3,4	1	2.6270	1.4443	0.5438
		670	3	1	8,9	1,2,3,4	1	2.5876	1.5005	0.4839
		671	3	1	8,9	1,2,3,4	1	2.5595	1.5113	0.4820
		672	3	1	8,9	1,2,3,4	1	2.5298	1.4711	0.5094
		673	3	1	8,9	1,2,3,4	1	2.5903	1.4570	0.5414



Berdasarkan toxtree secara umum seluruh senyawa pilihan masuk kelas 3 yaitu memiliki risiko toksisitas yang tinggi menurut aturan Kramer. Menurut Benigni/Bossa Rulebase senyawa yang bersifat genotoksik karsinogenik yaitu 001, 009, 010, 017, 031, 111. Berdasarkan prediksi Kroes TTC menyatakan bahwa senyawa yang memiliki resiko rendah yaitu termasuk dalam kategori 2 yaitu 001, 010, 017, 031, 111. Semua senyawa pilihan tersebut dapat dimetabolisme di sitokrom P450. Ditinjau dari LD 50 pada tikus berikut urutan LD50 senyawa pilihan dari yang tertinggi hingga terendah yaitu senyawa 001 dengan LD50 2,7497 mol/kg, 031 dengan LD50 2,7374 mol/kg, 017 dengan LD50 2,7374 mol/kg, senyawa 111 dengan LD50 2,6746 mol/kg, 112 dengan LD50 2,6532 mol/kg, senyawa 002 dengan LD50 2,6352 mol/kg, senyawa 009 dengan LD50 2,6191 mol/kg, senyawa 010 LD50 2,6191 mol/kg, senyawa 011 dengan LD 50 2,5636 mol/kg, senyawa 115 dengan LD50 2,5051 mol/kg, dan senyawa 008 dengan LD50 2,0168 mol/kg. Ditinjau dari pLC50 toksisitas pada ikan dengan urutan toksisitas tertinggi hingga terendah yaitu senyawa 008 dengan pLC50 2,1885 mg/L, senyawa 010 dengan pLC50 1,4842 mg/L, senyawa 009 dengan pLC50 1,4842 mg/L, senyawa 111 dengan pLC50 1,4728 mg/L, senyawa 112 dengan pLC50 1,4464 mg/L, senyawa 002 dengan pLC50 1,4464 mg/L, senyawa 115 dengan pLC50 1,4358 mg/L, senyawa 011 dengan pLC50 1,3868 mg/L, senyawa 031 dengan pLC50 1,3657 mg/L, senyawa 017 dengan pLC50 1,3657 mg/L, senyawa 0,001 dengan pLC50 1,1942 mg/L. Ditinjau dari toksisitas Tetrahymena Pyriformis pIGC50 (ug/L) dari toksisitas tertinggi hingga toksisitas terendah yaitu senyawa 001 dengan pIGC50 0,6359 ug/L, senyawa 111 dengan pIGC50 0,5629 ug/L, senyawa 011 dengan pIGC50 0,5453 ug/L, senyawa pIGC50 0,5364 ug/L, senyawa 031 pIGC50 0,5231 ug/L, senyawa 071 pIGC50 0,5231 ug/L, senyawa 002 dengan pIGC50 0,5187 ug/L, senyawa 112 dengan pIGC50 0,5187 ug/L, senyawa 010 dengan pIGC50 0,5157 ug/L, senyawa 009 dengan pIGC50 0,51570 ug/L, senyawa 008 dengan pIGC50 -0.9037 ug/L.

Tabel IV.4 Hasil prediksi farmakokinetik dengan admetsar dan DemPred

NO	Senyawa	Caco2 cell permeability	Human Intestinal Absorption	Blood Brain Barrier Penetration	Klirens (ml/min/kg)	Volume Distribusi (L/Kg)
1	001	0.5428	1.0000	0.9507	2.058811	4.01298
2	002	0.6915	1.0000	0.9391	1.909886	3.407487
3	008	0.7221	1.0000	0.9181	1.345517	2.400352
4	009	0.6515	1.0000	0.9729	1.548078	2.789292
5	010	0.6515	1.0000	0.9729	1.548078	2.789292
6	011	0.6691	1.0000	0.9682	2.008897	3.207137
7	017	0.6518	1.0000	0.9413	1.253776	2.95245
8	031	0.6518	1.0000	0.9413	1.253776	2.95245
9	111	0.6390	1.0000	0.9642	2.058811	4.01298
10	112	0.6915	1.0000	0.9391	1.909886	3.407487
11	115	0.7221	1.0000	0.9181	1.345517	2.400352

Berdasarkan prediksi farmakokinetik secara keseluruhan senyawa pilihan memiliki koefisien sama 1.0000 pada Penyerapan usus manusia dapat diserap dengan baik. Sedangkan senyawa dengan permeabilitas sel Caco2 paling baik yaitu senyawa 008 dan senawa 115. Sel Caco-2 merupakan turunan dari kolon adenocarcinoma pada manusia yang memiliki jalur transportasi pada obat menembus epithelium

Senyawa 008 dan 115 juga memiliki koefisien terendah pada penetrasinya pada barrier darah pada otak, karena diharapkan tidak dapat melewati barrier tersebut agar tidak menyebabkan efek samping. Blood-Brain Barrier (BBB) penetration atau Barrier darah otak merupakan representasi dari perbandingan konsentrasi obat pada otak dan darah, dimana konsentrasi pada otak dan darah merupakan keadaan tetap pada konsentrasi dari konsentrasi senyawa pada otak dan perifer darah. Memprediksikan penetrasi pada BBB bermaksud memprediksikan kandungan senyawa yang menyebrangi barrier darah otak..

Volume distribusi merupakan jumlah volume dari distribusi yang secara farmakologi digunakan untuk mengetahui jumlah distribusi obat dalam plasma dan akan diam dalam tubuh setelah penggunaan oral atau parenteral. Hal tersebut mendefenisikan volume jumlah obat yang dibutuhkan untuk terdistribusi dan menghasilkan pratinjau konsentrasi obat dalam darah.

Senyawa 008 dan 115 memiliki volume distribusi terkecil yaitu 2.400352 L/kg artinya pada volume tersebut senyawa 008 dan 115 telah erdistribusi pada tubuh,

Klirens merupakan rasio dimana substansi senyawa obat dikeluarkan atau dibersihkan dari tubuh melalui urin dan atau pada dialysis ginjal. Senyawa dengan klirens paling baik yaitu senyawa 001 dan 111 dengan klirens 2.058811 ml/min/kg.



BAB V

KESIMPULAN

A. Kesimpulan

Berdasarkan penelitian yang dilakukan maka dapat disimpulkan :

1. Didapatkan lima senyawa terbaik yang paling aman berdasarkan pebelitian yaitu 008, 017, 115, 112, dan 001.
2. Allah yang Maha Mengetahui segala sesuatu. Menciptakan ribuan jenis penyakit. Menciptakan dari yang terkecil sampai terbesar dengan segala keteraturannya. Segalanya bergantung kehendak-Nya, dan kita tidak mengetahui apapun kecuali apa yang dikehendakinya. Agar kita selalu berserah diri pada Allah yang Maha Menciptakan.

b. Implikasi Penelitian

1. Penelitian ini memberikan beberapa implikasi baik terhadap pihak institusi maupun pemerintah dan diharapkan pemerintah mampu untuk mengembangkan program kerja dalam hal penyuluhan tentang bahaya kanker, dalam hal ini kanker leukimia, serta cara-cara mencegah terjadinya kanker pada masyarakat.
2. Diharapkan penelitian ini dapat dilanjutkan dengan mendesain senyawa turunan pirazolo-[3,4-d]-pirimidin yang baru dengan aktivitas yang lebih baik.

DAFTAR PUSTAKA

- Anonim, *Molecular Descriptors Guide Description of the Molecular Descriptors Appearing in the Toxicity Estimation Software Tool*, U.S. Environmental Protection Agency, 2011
- American Cancer Society, *Leukemia: Acute Myeloid (Myelogenous) Overview*. American Cancer Society, USA, 2013
- Bari SB, Adhikari S, Surana SJ, *Tyrosine Kinase Receptor Inhibitors: A New Target for Anticancer Drug Development*, Department of Pharmaceutical Chemistry, R. C. Patel Institute of Pharmaceutical Education and Research, Shirpur- 425 405 (MS) India, 2012
- Brandao LN, A Wings, S Christoph, S Sather, J Migdall-Wilson, J Schlegel, A McGranahan, D Gao, X Liang, D DeRyckere, dan DK Graham, *Inhibition Of Mertk Increases Chemosensitivity And Decreases Oncogenic Potential In T-Cell Acute Lymphoblastic Leukemia*, Blood Cancer Journal(2013) 3,e101; doi:10.1038/bcj.2012.46; published online 25 January 2013
- Chandrayani, *Gambaran Epidemiologi Leukimia Anak Yang Dirawat Di Rksd Dari Tahun 2004-2008*, Jakarta : FKMUI, 2009.
- East China University of Science and Technology. *A Comprehensive Source and Free Tool for Evaluating Chemical ADMET Properties*. www.admetexp.org (27 Januari 2014).
- Freie University Berlin. DemQsar Online (v 0.8) Prediction of ADME Tox Properties. agknapp.chemie.fu-berlin.de (27 Januari 2014).
- He Yuye, Chin Yee Liew, Nitin Sharma, Sze Kwang Woo, Yi Ting Chau, and Chun Wei Yap, *PaDEL-DDPredictor: Open-Source Software for PD-PKT Prediction*, Department of Pharmacy, Pharmaceutical Data Exploration Laboratory, National University of Singapore, Block S4, 18 Science Drive 4, Singapore, 2012
- Henkestr, *CRAFT Chemical Reactivity and Fate Tool Version 1.0 CRAFT Explorer User Manual*, 9191052 Erlangen, Germany, 2008
- John Walter, *Acute Lymphoblastic Leukemia*, The Leukemia & Lymphoma Society (LLS), United States, 2010.
- Katsir, Ibnu. *Tafsir Ibnu Katsir Abu Bakar* (penj.). Bandung : Penerbit sinar baru Algesindo.
- Kang, *Anin silico evaluation of the ADMET profile of the StreptomeDB database*, 2:353, SpringerPlus, 2013

- Keating, Amy, Rachel M. A. Linger, H. Shelton Earp, Douglas K. Graham. *TAM Receptor Tyrosine Kinases: Biologic Functions, Signaling, and Potential Therapeutic Targeting in Human Cancer*. Cancer Research. Elsevier Inc. 2008
- Liu, J., Yang, C., Simpson, C., DeRyckere, D., Van Deusen, A., Miley, M., J., Kireev, D., Norris-Drouin, J., Sather, S., Hunter, D., Korboukh, V. K., Patel, H. S., Janzen, W. P., Machius, M., Johnson, G. L., Earp, H. S., Graham, D. K., Frye, S. V., Wang, X., 2012, *Discovery of Small Molecule Mer Kinase Inhibitors for the Treatment of Pediatric Acute Lymphoblastic Leukemia*, *Med. Chem. Lett.*, 3(2), 129-134
- Mihaela Onciu, *Acute Lymphoblastic Leukemia*, Department of Pathology, St. Jude Children's Research Hospital, MS#250, 262 Danny Thomas Place, Memphis, TN 38105, USA, 2009
- Muslimin, Ashabul. *Shohih Bukhori Compilation*. [CD ROM] Bekasi. 2011
- Nursalam, *Studi Hubungan Kuantitatif Strukturaktivitas, Fitur Farmakofor Dan Docking Molekuler Senyawa Turunan Pirazolo-[3,4-D]-Pirimidin Sebagai Inhibitor Mer Tirosin Kinase*, Institut Teknologi Bandung, Bandung, 2013.
- Pieters dan Carrol, *Biology and Treatment of Acute Lymphoblastic Leukemia*, *Pediatric Clinics of North America* 55:1, 2010.
- Qingxian Lu, Qiutang Li, dan Qingjun Lu, *Regulation of phagocytosis by TAM receptors and their ligands*, Departments of Ophthalmology and Visual Sciences, University of Louisville School of Medicine, Louisville, USA, 2010.
- Rahmawati Dede Riska, *Penyesuaian Diri Anak Penderita Leukimia Terhadap Hospitalisasi*, Universitas Pendidikan Indonesia, Jakarta, 2013.
- Rachel M. A. Linger, Amy K. Keating, H. Shelton Earp, dan Douglas K. Graham, *TAM Receptor Tyrosine Kinases: Biologic Functions, Signaling, and Potential Therapeutic Targeting in Human Cancer*, 100, Department of Pediatrics, University of Colorado at Denver and Health Sciences Center, Aurora, CO, 2008.
- Ricerca, *Acute Lymphoblastic Leukemia*, *Clinica Pediatrica Università di Milano Bicocca*, Ospedale San Gerardo, Via Donizetti, 106, 20052 Monza, Italy, 2004.
- University of Cambridge. MetaPrint 2D React : Metabolite Site Predictor. www-metaprint2d.ch.cam.ac.uk (27 Januari 2014)
- Vermelluen, Ketrien, Dirk R. Van Bocktaele, dan Zwi N. Barneman. *The cell cycle: a review of regulation, deregulation and therapeutic targets in cancer*. *Cell Prolif*, 36, 131-149

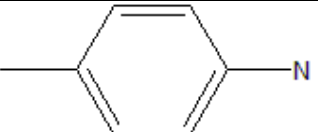
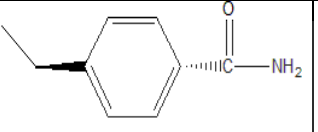

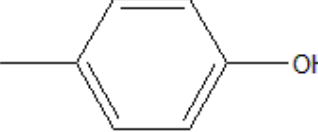
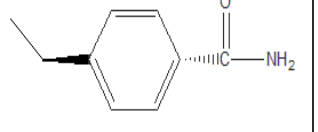

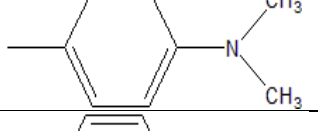
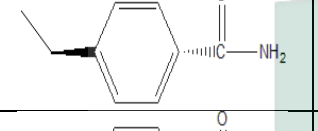

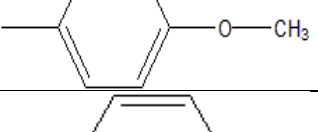
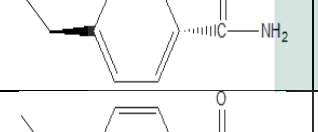

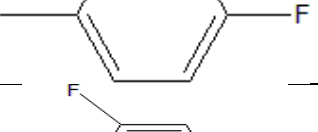
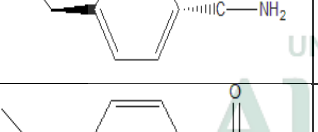

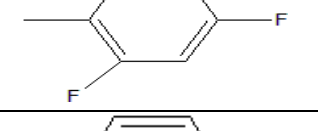
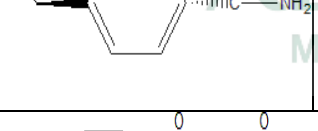

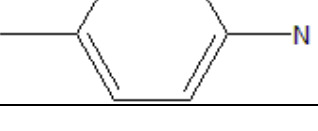
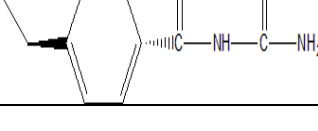
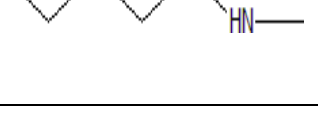
Wang Yahua, *Identifying The Role Of Mer Receptor Tyrosine Kinase In Glioblastoma Multiforme*, Erlangung der Würde eines Doktors der Philosophie vorgelegt der Philosophisch-Naturwissenschaftlichen Fakultät der Universität Basel, 2013.

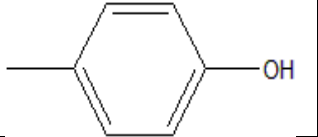
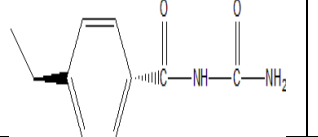
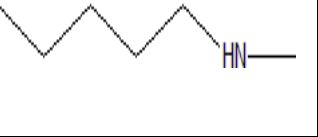
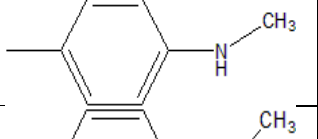
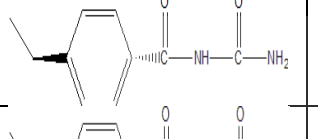

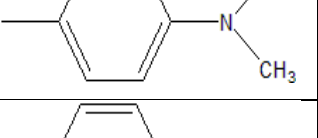
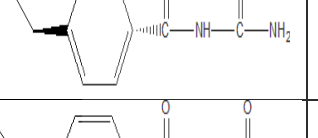

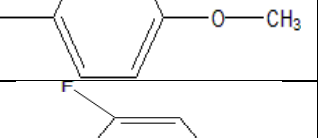
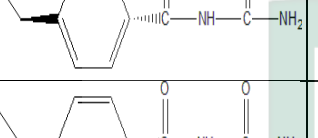
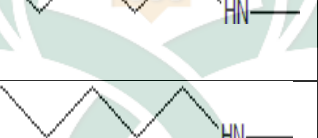
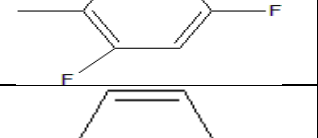
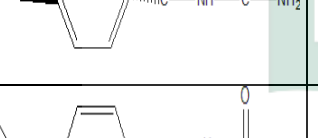

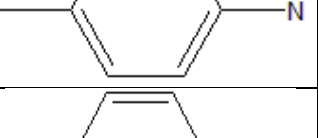
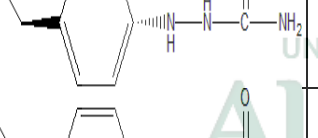

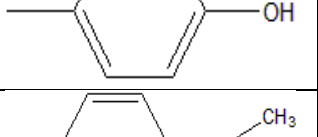
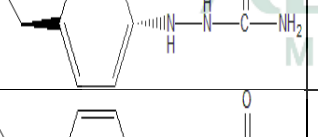

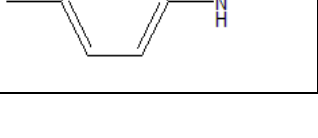
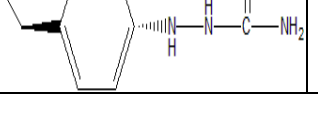
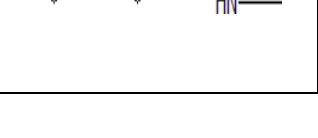
Yahya Harun, *Al-Quran dan Sains: Memahami Metodologi Bimbingan Al-Quran Bagi Sains*, Bandung : PT syaamil Cipta Media, 2004.

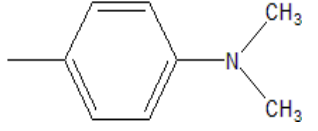
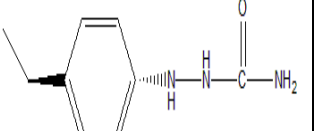
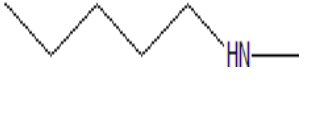
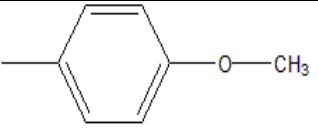
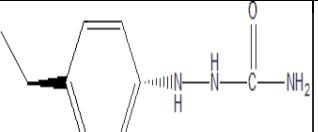


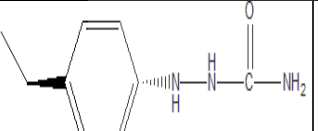

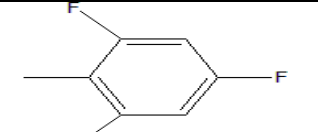
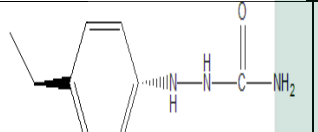
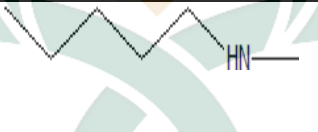

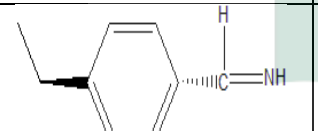

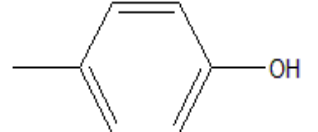
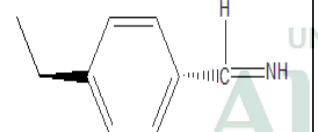

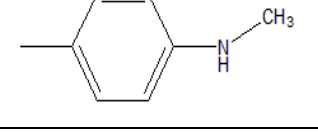
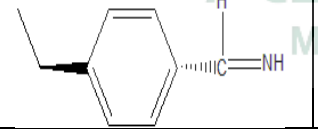



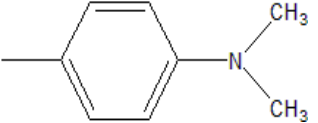

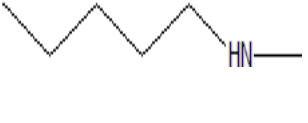
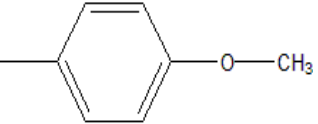
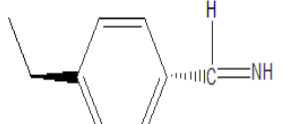

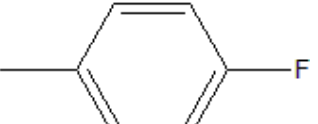
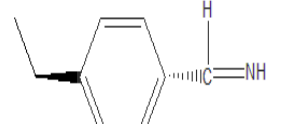

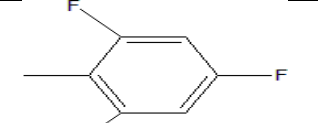
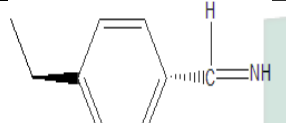

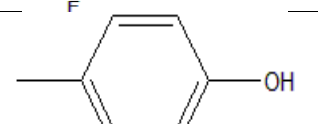
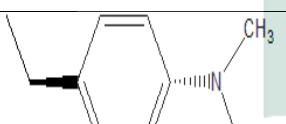

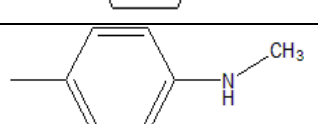


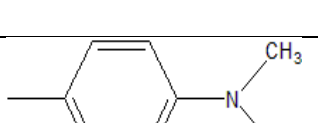


Lampiran 1

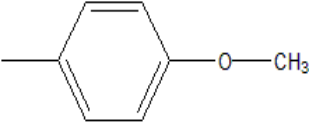
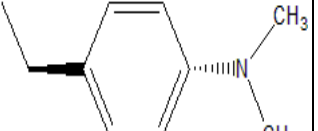
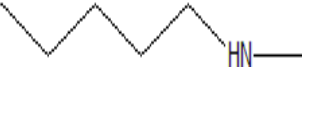
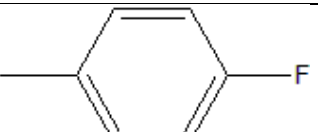

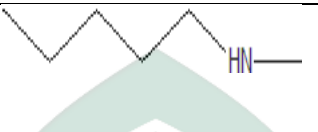
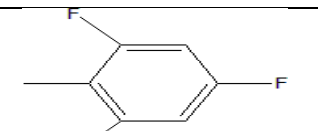
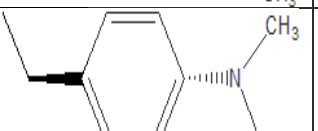

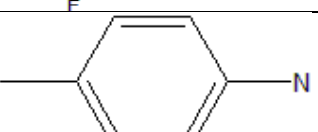
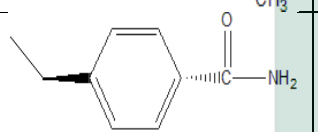
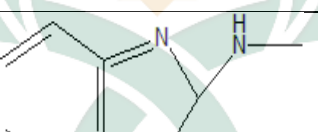

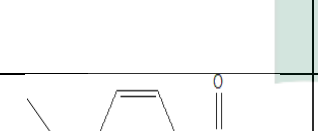
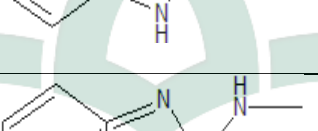
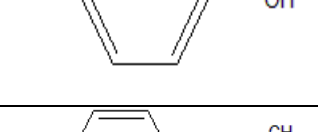
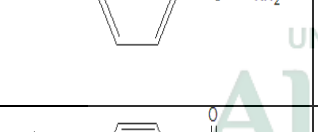

Nilai IC50 Pengembangan senyawa turunan pirazolo-[3,4-D]-pirimidin

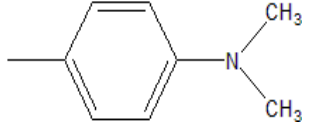
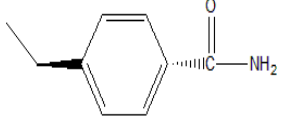
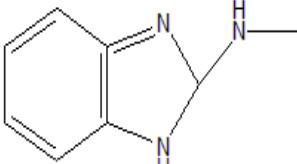
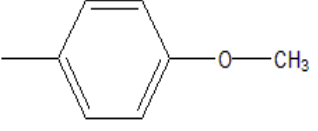
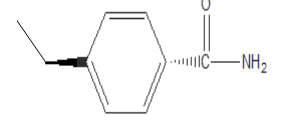
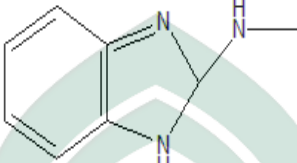
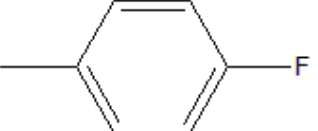
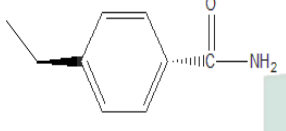
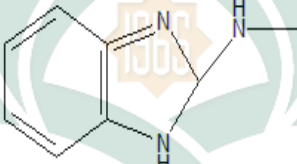
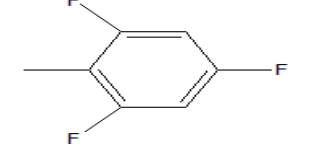
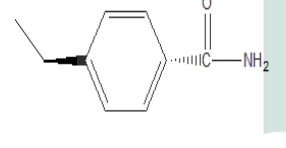
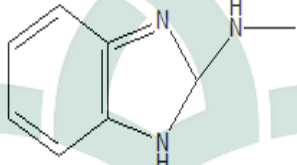
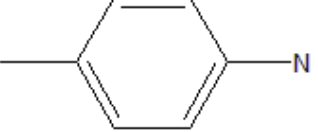
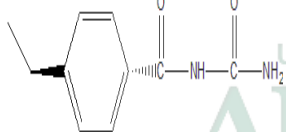
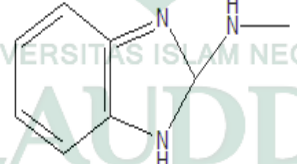
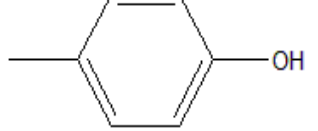
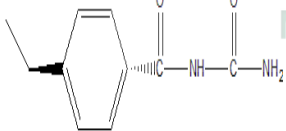
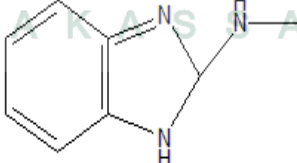
NO	R1	R2	R3	IC50 MER	IC50 AXL	IC50 TYRO3	LIPINSKI RULE OF FIVE
1				1.9056 50521	53384.691 28	530227. 001	0
2				1.7103 17901	53438.007 32	531845. 5944	0
3				3.6165 56793	58579.294 25	582287. 1204	0
4				1.9314 8977	55973.679 05	556911. 5776	0
5				2.5451 59009	53546.675 67	532935. 6054	0
6				3.6375 58933	61108.626 54	608725. 5516	1
7				0.5446 82397	66043.434 09	601078. 4541	1

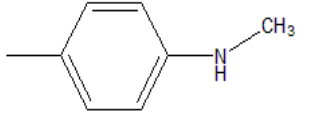
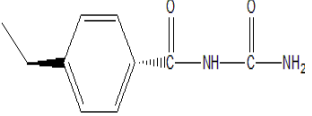
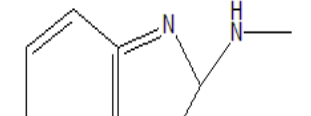
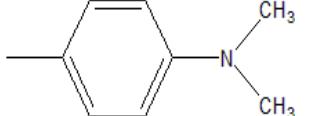
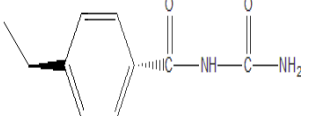
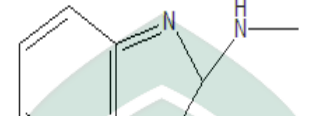
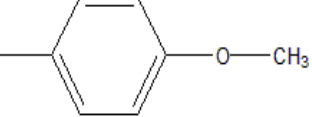
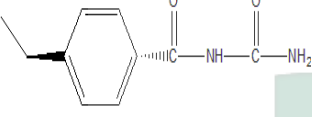

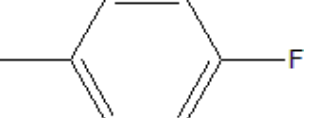
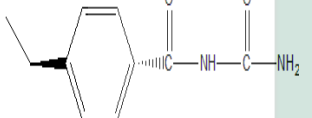
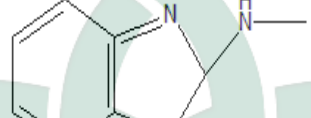
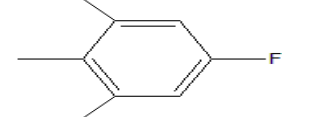
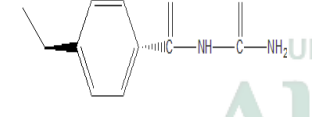

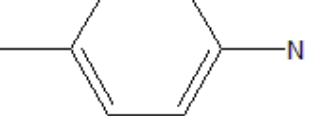
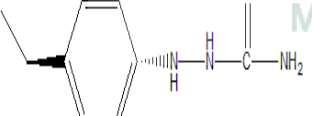
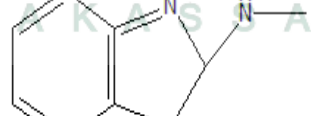
8				0.5951 94923	65791.522 71	599768. 2925	0
9				0.7067 18953	68366.488 93	624462. 9051	0
10				0.7067 18953	68366.488 93	624462. 9051	0
11				1.0426 42313	68786.252 4	629590. 0768	0
12				2.4670 34961	73757.604 35	679371. 6652	1
13				1.0392 10447	58772.335 01	582978. 7856	1
14				0.8733 53836	58858.115 74	584961. 908	1
15				1.3560 89188	61785.201 7	613635. 2348	1

16				2.5455 84422	64209.493 78	637498. 8374	0
17				1.9220 34133	61901.894 92	615480. 6942	0
18				1.9956 08409	59079.633 08	587172. 7016	0
19				1.9956 08409	59079.633 08	587172. 7016	0
20				1.4943 37251	50123.064 74	498406. 5568	1
21				2.0249 52155	52794.022 6	525925. 1846	1
22				2.0222 63728	52608.076 38	523404. 3608	1

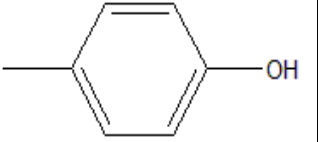
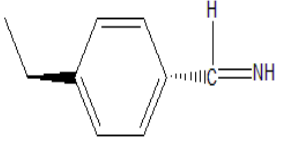
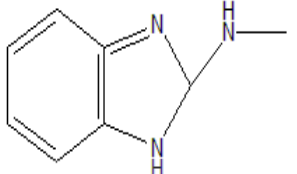
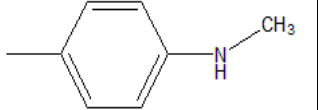
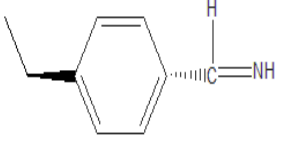
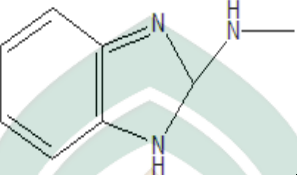
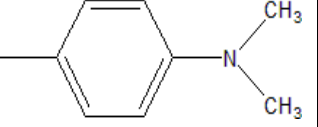
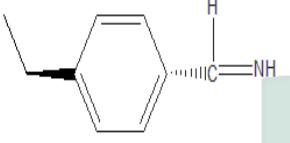
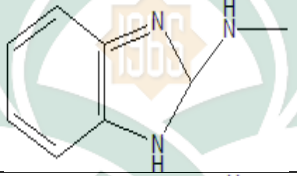
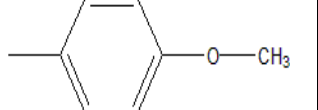
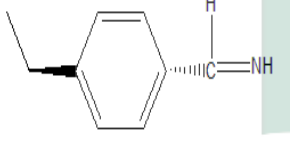
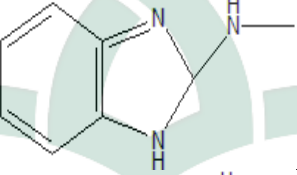
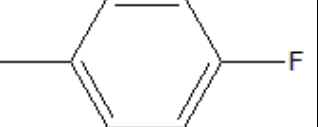
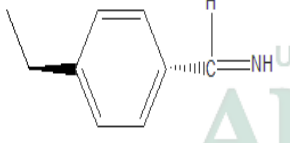
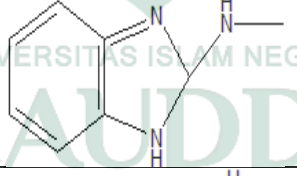
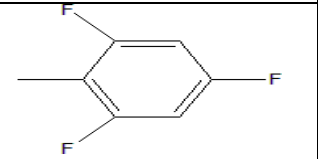
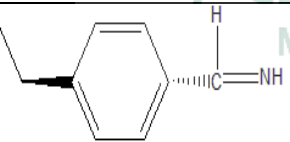
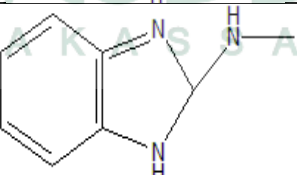
23				3.5353 92414	55278.726 08	550099. 4446	1
24				1.6419 61997	52848.002 47	526478. 5608	1
25				2.2547 49113	50326.162 53	501548. 1022	1
26				3.5572 29008	57528.144 64	573768. 6791	1
27				2.1157 94447	71149.235 31	652418. 5295	1
28				7.2109 17215	67393.394 43	671051. 5628	2
29				1.3560 89188	61785.201 7	613635. 2348	1

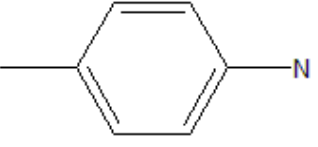
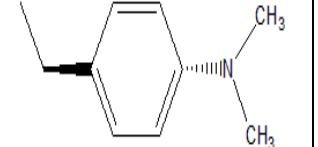
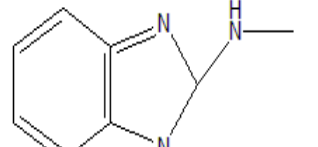
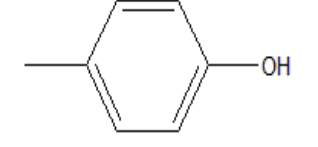
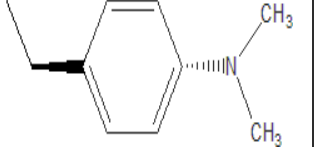
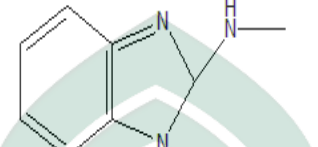
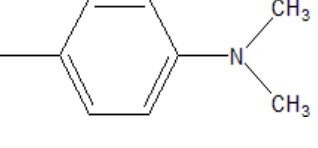
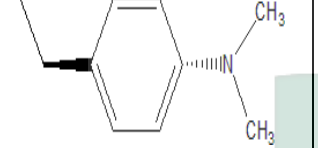
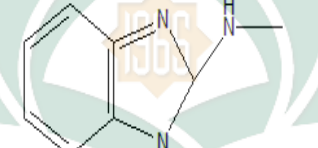
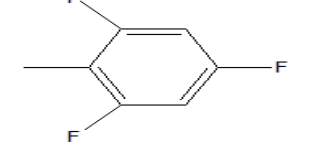
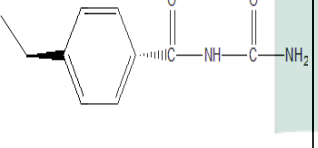
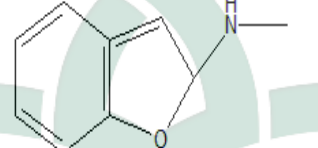
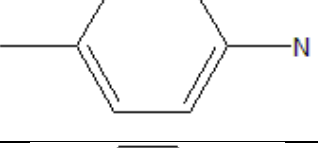
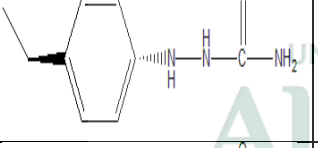
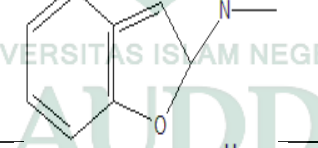
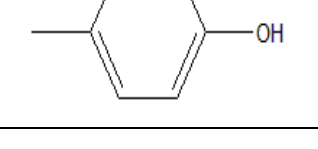
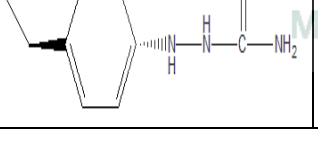
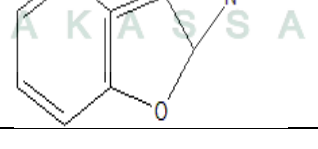
30				2.5455 84422	64209.493 78	637498. 8374	0
31				1.9220 34133	61901.894 92	615480. 6942	0
32				6.2865 59927	61137.275 83	609643. 7919	1
33				3.4073 27595	61140.713 01	607626. 3513	1
34				3.5798 62453	61426.450 43	611611. 482	0
35				3.9507 62472	63750.175 98	633854. 6326	0

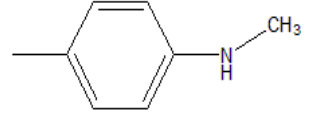
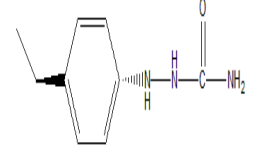
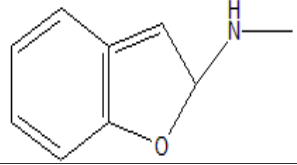
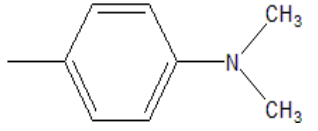
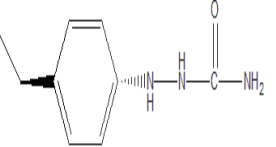
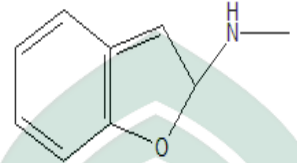
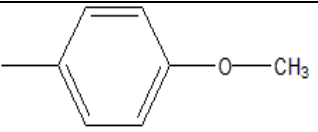
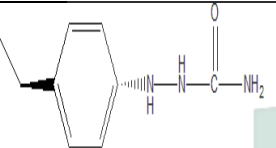
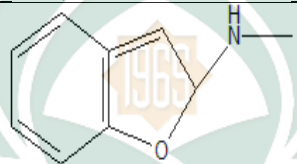
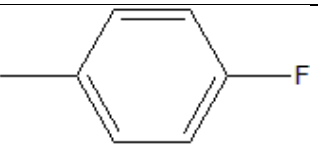
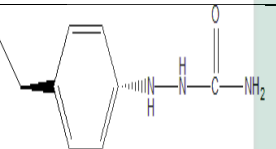
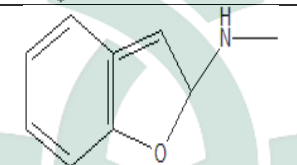
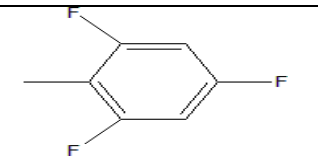
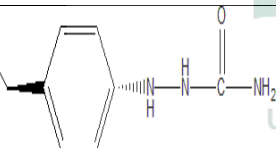
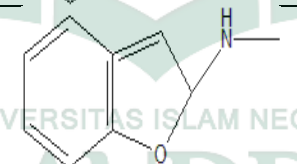
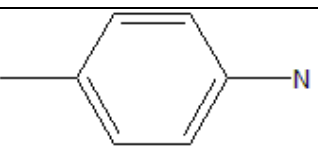
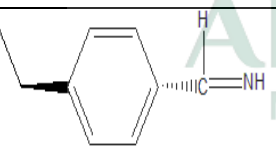
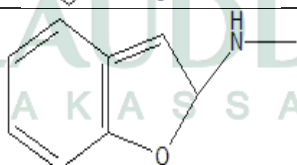
36				5.1789 36454	66553.766 8	661909. 3296	1
37				3.9091 78107	64023.129 71	637260. 7039	0
38				4.3579 08426	61556.383 65	612918. 5646	0
39				5.6286 34695	69129.918 82	688857. 3521	2
40				1.9791 88581	73674.592 52	677191. 2123	3
41				1.9799 13569	77989.986 64	676345. 5587	3

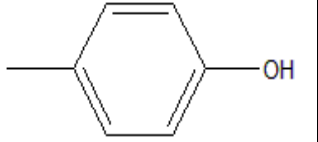
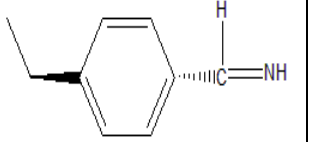
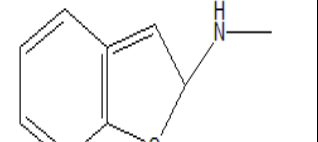
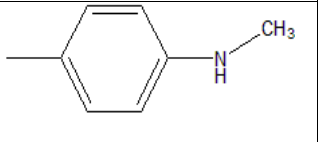
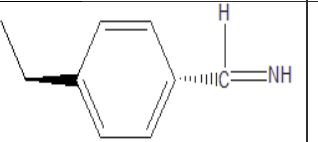
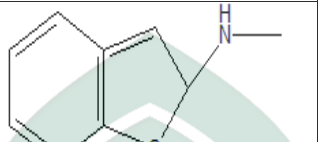
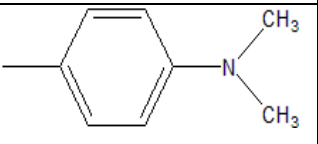
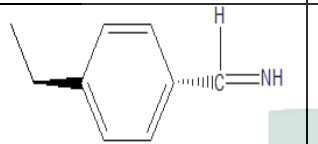
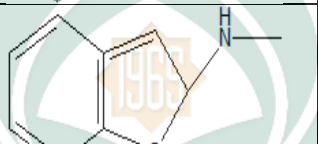
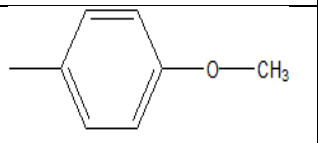
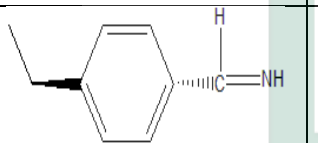
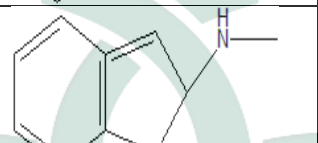
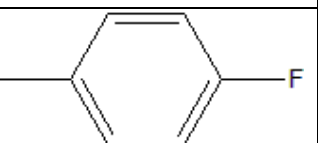
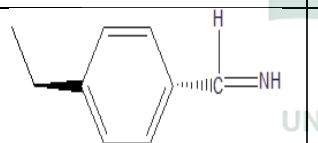
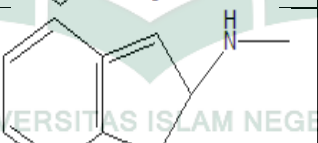
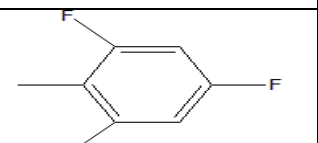
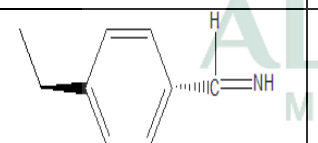
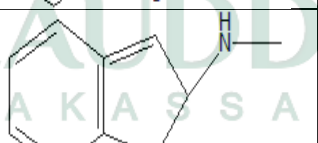
42				2.5319 00111	76342.646 76	704185. 6375	3
43				3.4524 12428	79231.506 65	733101. 7465	2
44				2.9236 50034	77105.785 67	712544. 481	2
45				2.5496 43704	74491.142 81	686464. 239	2
46				2.5496 43704	74491.142 81	686464. 239	2
47				1.9273 82644	66785.777 66	663000. 5096	3

48				2.5592 20468	66569.647 61	661878. 0324	3
49				2.9453 51053	69204.213 31	687147. 5978	3
50				3.8004 26431	72853.650 96	723800. 1463	3
51				2.3642 26497	69844.049 48	694317. 489	3
52				2.7370 04673	67178.944 09	667959. 962	3
53				2.3653 11514	57272.211 11	569634. 2046	1

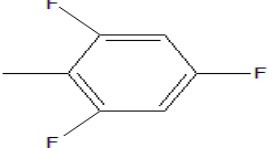
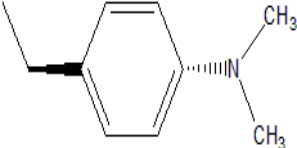
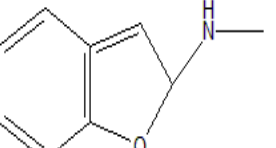
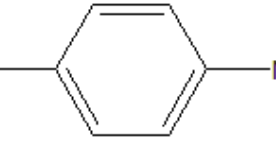
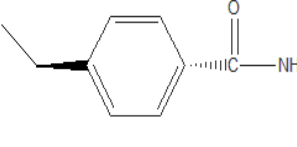
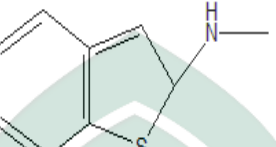
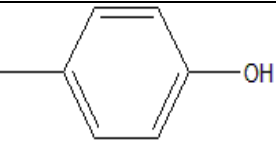
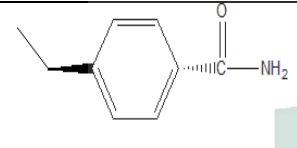

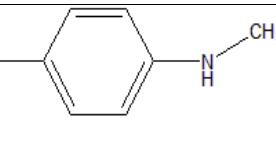
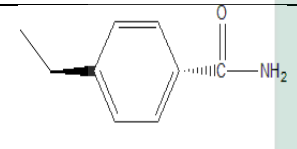

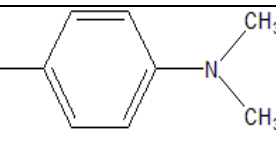
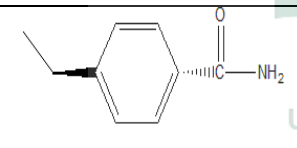

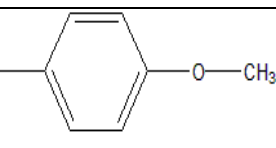
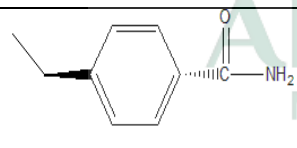

54				2.2483 01124	57892.546 3	576490. 9224	1
55				2.9055 74945	60305.902 73	599694. 2134	1
56				3.8314 71772	63059.997 21	627213. 0642	1
57				2.2229 90103	60470.035 17	601959. 8494	1
58				3.1066 57124	58001.514 66	577572. 3588	1
59				6.1362 09186	65521.806 89	653652. 8562	2

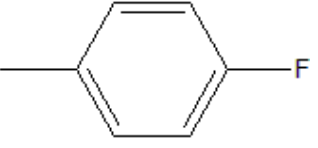
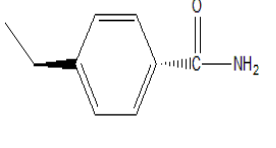
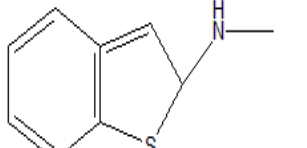
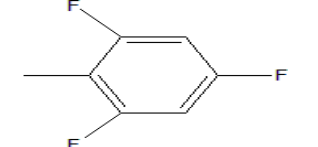
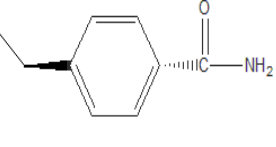
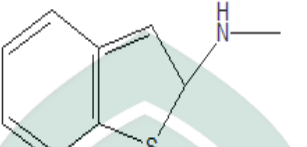
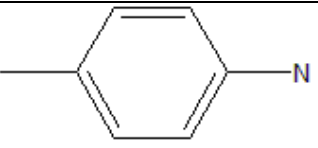
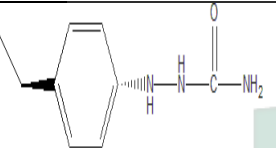
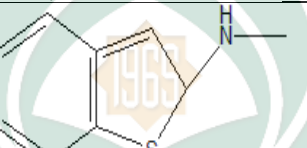
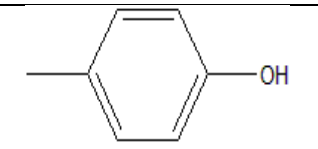
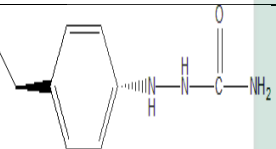
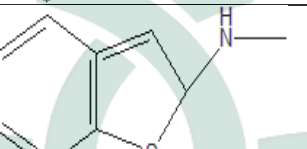
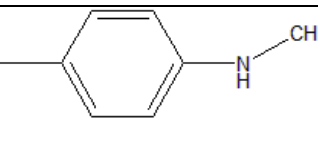
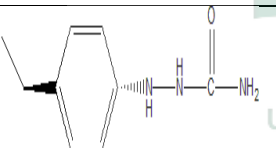
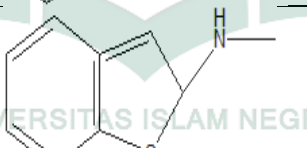
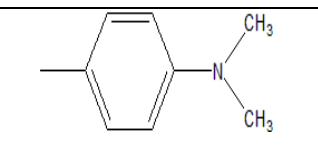
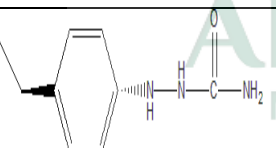
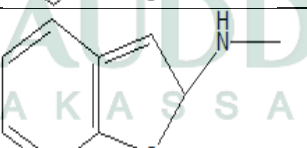
60				3.9971 81517	61811.624 69	614569. 4255	1
61				3.8160 84085	61741.040 69	614759. 9706	1
62				7.2109 17215	67393.394 43	671051. 5628	2
63				5.4584 20983	81929.748 32	761283. 0276	2
64				3.4396 737	66627.103 6	661585. 5383	3
65				3.4396 737	66627.103 6	661585. 5383	3

66				4.0615 47444	69262.092 88	688308. 144	4
67				5.7652 89108	72091.934 9	716589. 5652	3
68				4.4930 71524	69365.235 96	689986. 5685	2
69				4.3788 91951	66837.520 18	665012. 8333	2
70				5.5161 0031	74619.228 8	743016. 5168	2
71				2.9026 50386	57399.363 38	570868. 7034	1

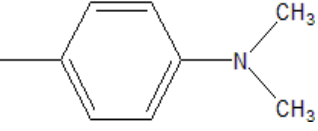
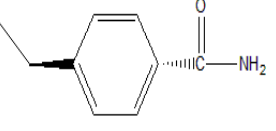
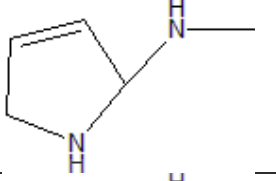
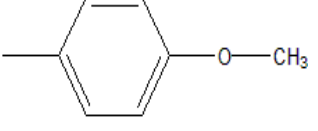
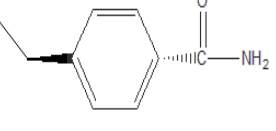
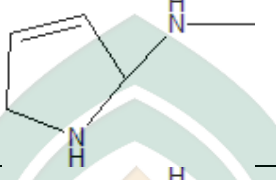
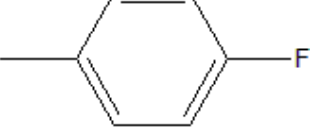
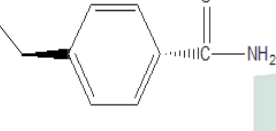
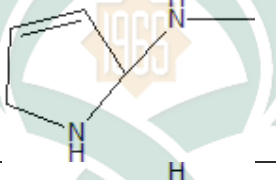
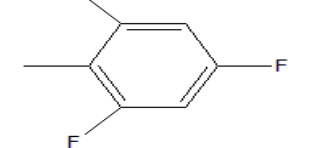
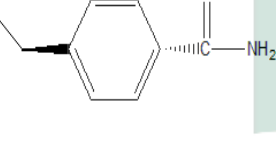
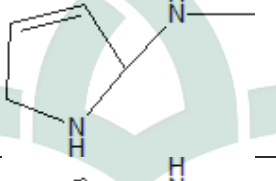
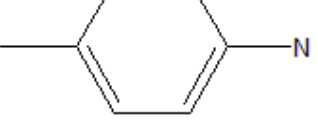
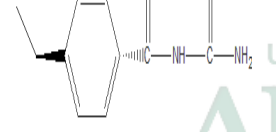

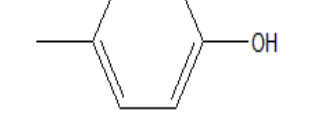
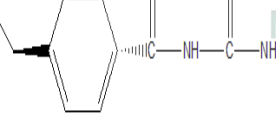
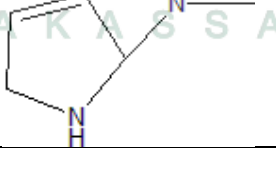
72				3.1712 08081	57253.811 44	570538. 1119	1
73				3.3413 83375	59914.391 6	596171. 1513	1
74				4.9847 46801	62614.555 37	623202. 3661	1
75				3.8107 87299	60000.880 32	597722. 624	1
76				4.0296 44125	57551.346 51	573479. 2834	1
77				5.3194 62505	65071.770 09	648904. 6145	2

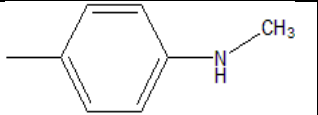
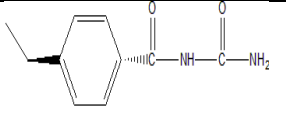
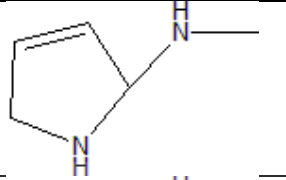
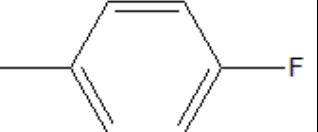
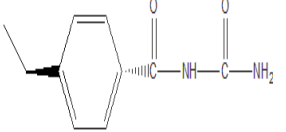
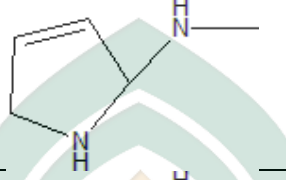
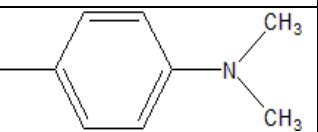
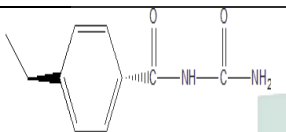
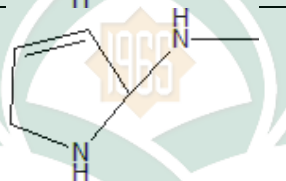
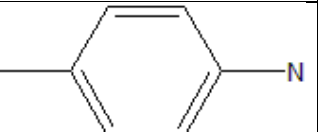
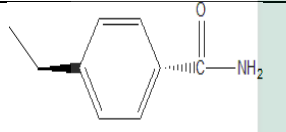

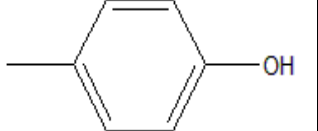
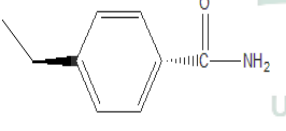

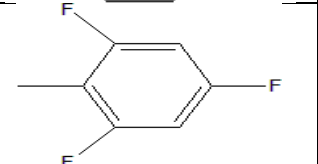
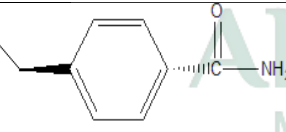
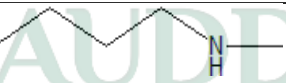
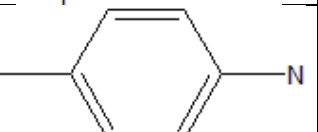
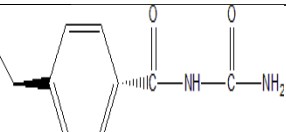
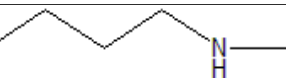
78				6.5742 49036	61606.966 83	613157. 2289	1
79				4.5586 448	60586.239 11	603452. 1556	1
80				4.8907 96193	63154.182 3	628197. 0949	1
81				6.0861 73772	65860.874 26	655265. 3488	2
82				4.8052 37164	63249.972 33	629844. 1388	1
83				5.1261 5894	60709.798 7	604725. 7319	1

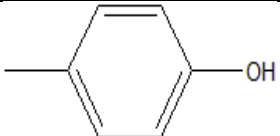
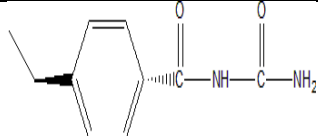
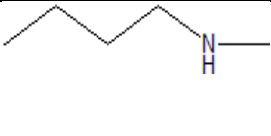
84				6.1702 51883	68368.716 7	681471. 6691	2
85				2.0796 70014	60860.794 27	604613. 0189	1
86				1.9887 77297	61184.378 25	608949. 502	1
87				3.1300 53478	63647.483 59	632654. 5546	2
88				4.2968 60928	66569.450 88	661865. 9923	2
89				3.4621 04983	63767.419 85	634505. 393	2

90				3.6061 59079	61335.944 24	610489. 5899	2
91				4.6221 07262	68914.854 63	686437. 6294	2
92				3.8803 17035	61155.277 69	608378. 383	1
93				3.9347 72256	61779.995 91	615712. 3014	1
94				4.4273 41795	63877.636 12	635749. 5493	2
95				5.9781 53611	66973.922 95	666679. 9281	2

96				4.2082 90571	63929.716 71	636907. 4566	2
97				4.4978 86096	61884.932 47	616750. 4185	2
98				5.8149 67951	69058.150 6	688653. 9491	2
99				3.2799 98153	54289.083 22	539541. 1987	1
100				3.5690 65857	54322.514 57	540973. 0141	0
101				3.6404 63929	56761.595 04	564403. 7792	0

102				5.0502 71999	59454.212 34	591317. 3686	0
103				4.0329 91647	56862.150 17	566066. 3178	0
104				4.2987 71845	54451.799 98	542263. 8948	0
105				5.6583 28631	61867.598 95	616593. 905	0
106				5.3200 93027	68783.626 91	684151. 0414	3
107				2.9732 82775	61808.289 99	616772. 5189	2

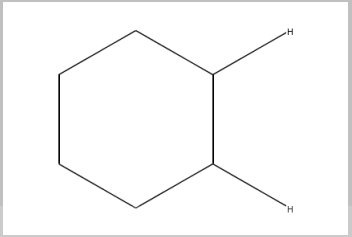
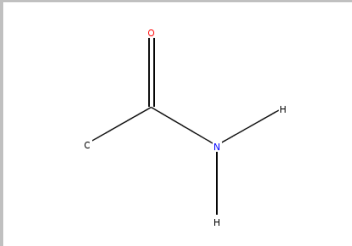
108				3.4645 68847	64454.717 58	642556. 2648	2
109				4.1657 84693	62193.962 15	619738. 5568	0
110				4.2530 95287	55016.024 21	548020. 261	0
111				1.9056 50521	53384.691 28	530227. 001	0
112				1.7103 17901	53438.007 32	531845. 5944	0
113				3.6375 58933	61108.626 54	608725. 5516	1
114				0.5446 82397	66043.434 09	601078. 4541	1

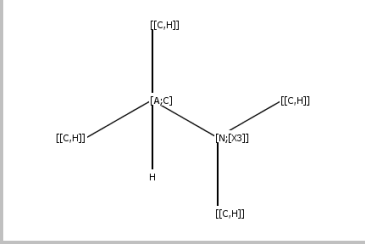
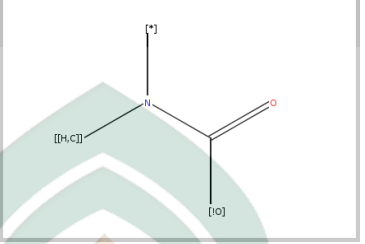
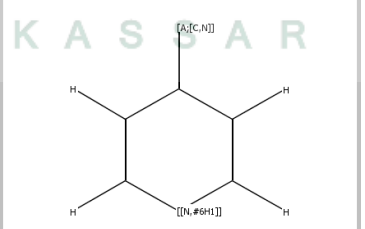
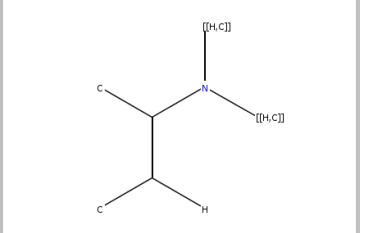
115				0.5951 94923	65791.522 71	599768. 2925	0
-----	---	---	--	-----------------	-----------------	-----------------	---



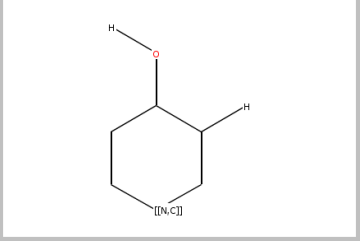
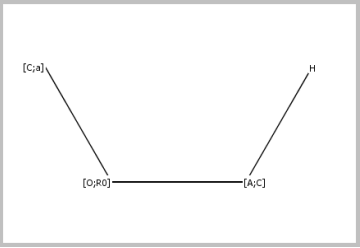
Lampiran 2

Aturan reaksi dan tipe reaksi dengan struktur terkait yang teridentifikasi CRAFT Explorer

No	UM-BBD reaction rule	Reaction type	Associated structural alert	comments
1	UM-BBD bt0005	vic-unsubstituted Aromatic -> vic- Dihydroxyaromatic		<p>Likely reaction (8.0)</p> <p>This rule handles the dioxygenation of vic-unsubstituted aromatics and subsequent oxidation to form the catechol derivative. When there is more than one potential site of dioxygenation, all possible positions are given. All fused aromatic ring products with hydroxyl at 2,3 position are excluded. The aromatic hydrocarbon dioxygenases produce an activated dioxygen species that is thought to be sufficiently reactive to potentially functionalize most, if not all, aromatic ring carbon atoms.</p>
2	UM-BBD bt0027	primary Amide -> Carboxylate		Likely reaction (8.0)

3	UM-BBD bt0063	Amine -> Aldehyde or Ketone		0.80 (Likely) There are more examples found than given in the UM-BBD. This is because in some cases the alkyl moiety is not given as reaction product, the oxidative desamination can take place though
4	UM-BBD bt0067	Amide -> Carboxylate		0.60 (neutral) Hydrolysis of the C-N bond in amides and ureas are covered by a single rule, since there is no chemical reason to divide them, and microbial amidases have been shown to also hydrolyze environmental urea compounds. Hydrolysis of urea derivatives usually occurs to form the smaller carboxylate and larger amine. The amine is often aromatic. Rule is blocked from acting on glutathione
5	UM-BBD bt0011	monosubstituted Benzenoid -> Add o- OH		0.60 (neutral)
6	UM-BBD bt0065	1-Amino-2- unsubstituted aromatic -> vic- Dihydroxyaromatic + Amine		Neutral (0.6) Also handles fused rings. All fused aromatic ring products with hydroxyl at 2,3 position are excluded

7	UM-BBD bt0334	aliphatic Methyl [H2] -> primary Alcohol		Neutral (0.6) This rule handles aliphatic methyl groups where the alpha carbon has two hydrogen atoms attached to it. Rule is blocked from acting on CoA
8	UM-BBD bt0241	tertiary Aliphatic -> tertiary Alcohol		Neutral (0.6)
9	UM-BBD bt0242	secondary Aliphatic - > secondary Alcohol		Neutral (0.6) This rule handles the hydroxylation of secondary aliphatic carbon atoms that are in a ring, adjacent to a carbon that is sp ² hybridized, or bound to N or O. CoA, glutathione, esters and amides are blocked from triggering this rule
10	UM-BBD bt0064	1-Hydroxy-4- unsubstituted benzenoid -> 1,4- Dihydroxybenzenoid derivative		Neutral (0.6) This rule is excluded from acting on catechols, polynuclear aromatics and mono-substituted phenols with R= -CH ₂ CH ₂ CH ₃ or -OCH ₂ CH ₄
11	UM-BBD bt0002	Secondary alcohol -> Ketone or Secondary alcohol -> Ester		Neutral (0.6) Rule is blocked from acting on CoA

12	UM-BBD bt0014	1-Hydroxy-2- unsubstituted aromatic -> 1,2- Dihydroxyaromatic or 4-Hydroxypyridine derivative -> 3,4- Dihydroxypyridine derivative	 <p>The diagram shows a six-membered ring with an oxygen atom at the top position. A hydrogen atom is bonded to the oxygen atom. Another hydrogen atom is bonded to the carbon atom at the 2-position relative to the oxygen. The nitrogen atom at the bottom of the ring is labeled with the symbol [N,C].</p>	<p>Neutral (0.6)</p> <p>This rule handles the upper substituted pyridine pathway for 2- or 3-hydroxypyridine, 2-carboxypyridine (2-picolinate), 3-carboxypyridine (nicotinate) and intermediates of nicotine degradation. These compounds, and possibly others, have been found to degrade to the common metabolite, 2,5-dihydroxypyridine. 2- or 3-Hydroxypyridine and 3-carboxypyridine undergo an initial para hydroxylation to form 2,5-dihydroxypyridine and 2-hydroxy-5-carboxypyridine respectively. The latter product is subject to oxidative decarboxylation to form the 2,5-dihydroxy product. This rule also handles intermediates in this pathway.</p>
13	UM-BBD bt0023	aromatic-aliphatic Ether -> Phenol derivative + Aldehyde	 <p>The diagram shows a horizontal line representing a bond between two carbon atoms. The left carbon is labeled [C,a] and the right carbon is labeled [A,c]. A hydrogen atom is bonded to the right carbon. Below the left carbon is the label [O,R] and below the right carbon is the label [A,c].</p>	<p>neutral (0.6)</p> <p>Does NOT handle ethers when the vincinal carbons are halogenated. When given an aromatic-aliphatic ether, Ar-O-R1, it will produce</p>

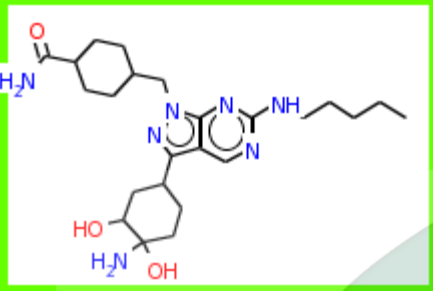
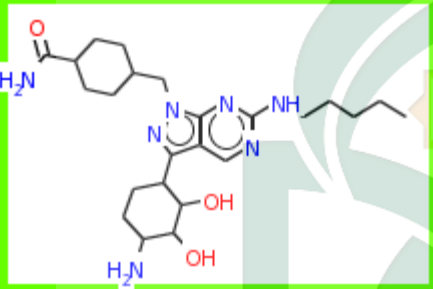
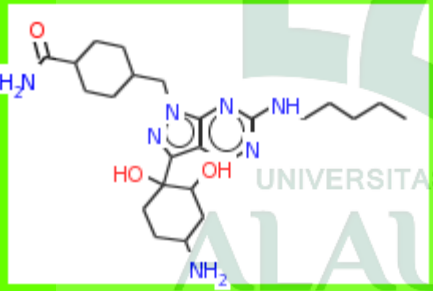
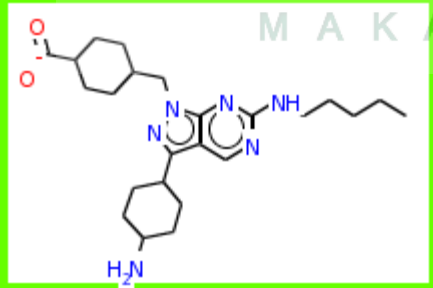
				<p>ArOH + R1CHO. When given a dialiphatic ether, R1-O-R2, it will produce both R1-OH + R2CHO, and R2-OH + R1-CHO. It will not act on a diaromatic ether, Ar1-O-Ar2, or a ring ether. Rule is blocked from acting on CoA</p>
--	--	--	--	---

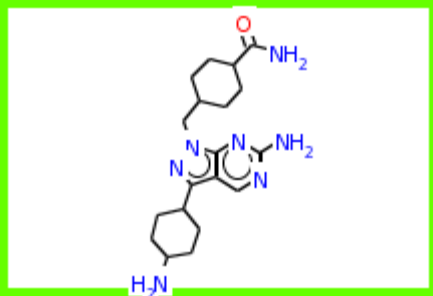
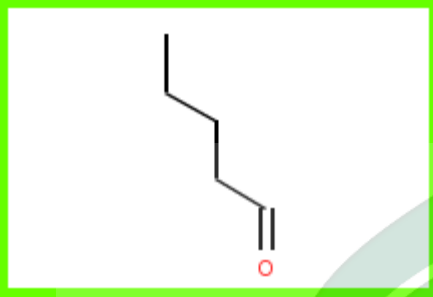
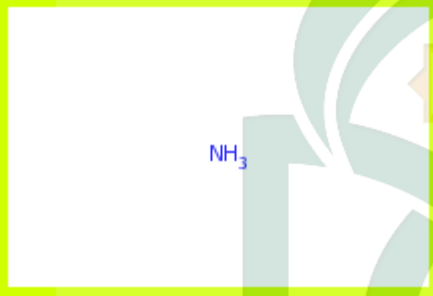
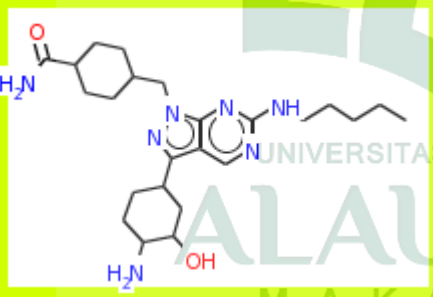
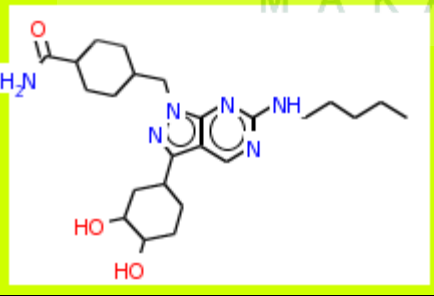


Lampiran 3

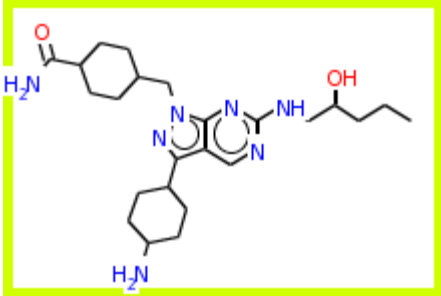
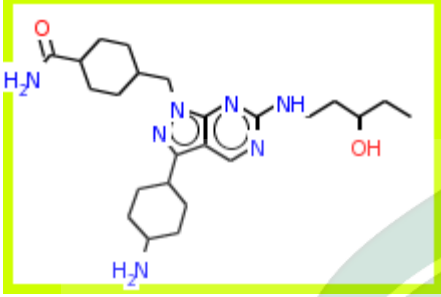
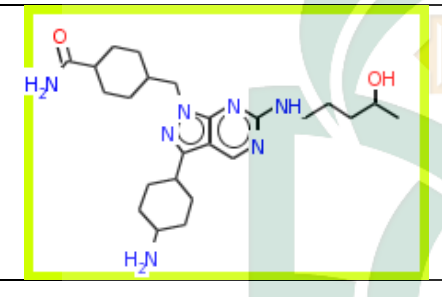
Ringkasan Produk Degradasi senyawa turunan pirazolo-[3,4-D]-pirimidin

A. Ringkasan degradasi produk 001

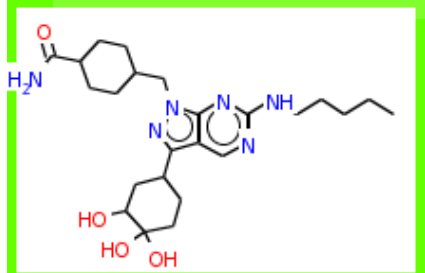
No	CRAFT ID	Structural Formula	CRAFT overall likelihood	CRAFT shortets pathway
1	623		0.80 (Likely)	Compound 622 > {UM-BBD bt0005 [Likely reaction (0.8)]} > Product 623
2	624		0.80 (Likely)	Compound 622 > {UM-BBD bt0005 [Likely reaction (0.8)]} > Product 624
3	625		0.80 (Likely)	Compound 622 > {UM-BBD bt0005 [Likely reaction (0.8)]} > Product 625
4	626		0.80 (Likely)	Compound 622 > {UM-BBD bt0027 [Likely reaction (0.8)]} > Product 626

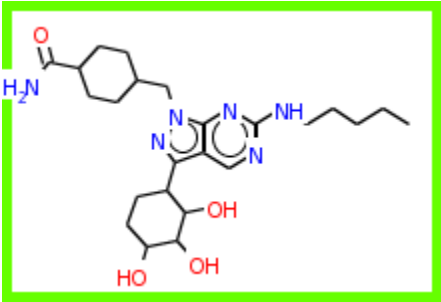
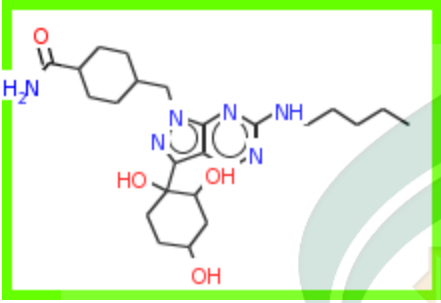
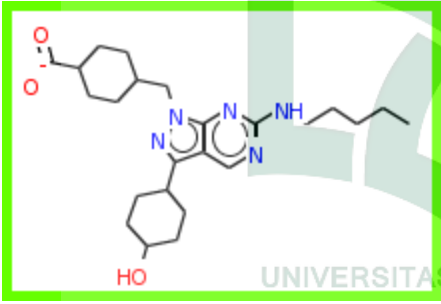
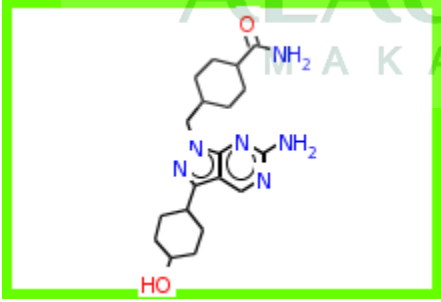
5	627		0.80 (Likely)	Compound 622 > {UM-BBD bt0063 [Likely reaction (0.8)]} > Product 627
6	628		0.80 (Likely)	Compound 622 > {UM-BBD bt0063 [Likely reaction (0.8)]} > Product 628
7	51		0.60 (neutral)	Compound 622 > {UM-BBD bt0067 [Neutral (0.6)]} > Product 51
8	629		0.60 (neutral)	Compound 622 > {UM-BBD bt0011 [Neutral (0.6)]} > Product 629
9	630		0.60 (neutral)	Compound 622 > {UM-BBD bt0065 [Neutral (0.6)]} > Product 630

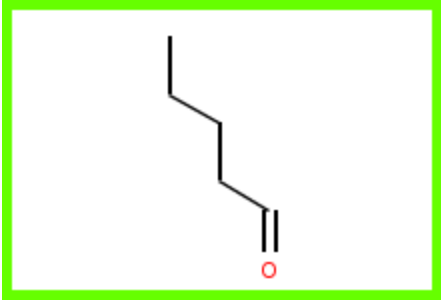
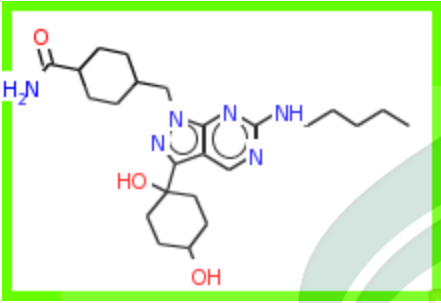
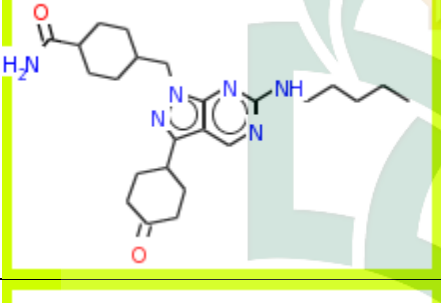

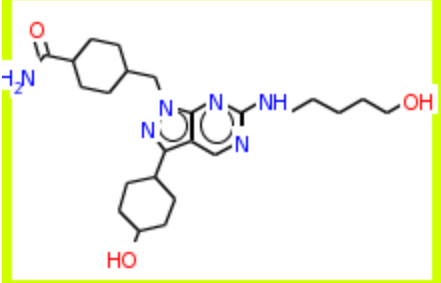
10	631		0.60 (neutral)	Compound 622 > {UM-BBD bt0334 [Neutral (0.6)]} > Product 631
11	632		0.60 (neutral)	Compound 622 > {UM-BBD bt0241 [Neutral (0.6)]} > Product 632
12	633		0.60 (neutral)	Compound 622 > {UM-BBD bt0241 [Neutral (0.6)]} > Product 633
13	634		0.60 (neutral)	Compound 622 > {UM-BBD bt0242 [Neutral (0.6)]} > Product 634
14	635		0.60 (neutral)	Compound 622 > {UM-BBD bt0242 [Neutral (0.6)]} > Product 635

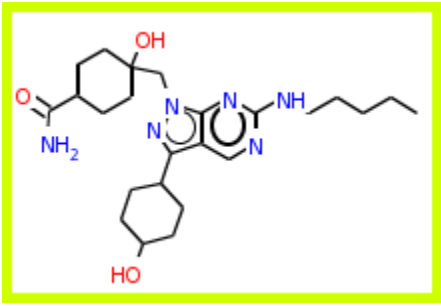
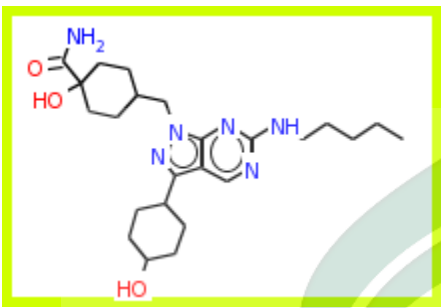
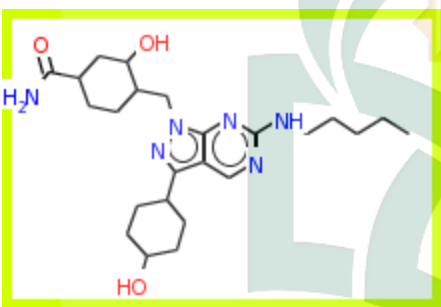
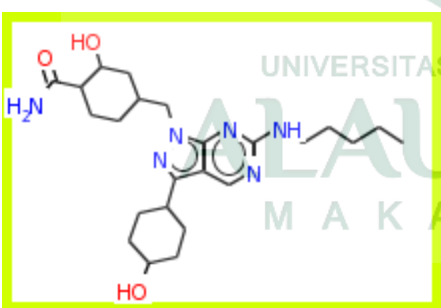
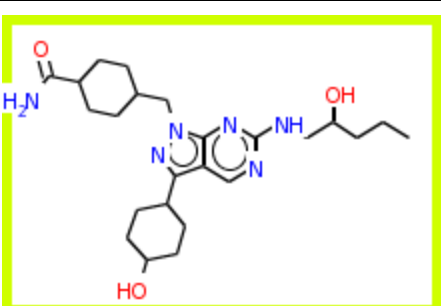
15	636		0.60 (neutral)	Compound 622 > {UM-BBD bt0242 [Neutral (0.6)]} > Product 636
16	637		0.60 (neutral)	Compound 622 > {UM-BBD bt0242 [Neutral (0.6)]} > Product 637
17	638		0.60 (neutral)	Compound 622 > {UM-BBD bt0242 [Neutral (0.6)]} > Product 638

B. Ringkasan Produk Degradasi Senyawa 002

No	CRAFT ID	Struktur Molecular	CRAFT overall likelihood	CRAFT shortets pathway
1	640		0.80 (Likely)	Compound 639 > {UM-BBD bt0005 [Likely reaction (0.8)]} > Product 640

2	641		0.80 (Likely)	Compound 639 > {UM-BBD bt0005 [Likely reaction (0.8)]} > Product 641
3	642		0.80 (Likely)	Compound 639 > {UM-BBD bt0005 [Likely reaction (0.8)]} > Product 642
4	643		0.80 (Likely)	Compound 639 > {UM-BBD bt0027 [Likely reaction (0.8)]} > Product 643
5	644		0.80 (Likely)	Compound 639 > {UM-BBD bt0063 [Likely reaction (0.8)]} > Product 644

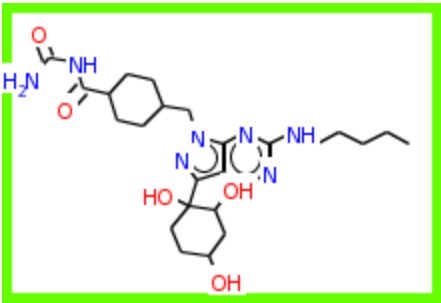
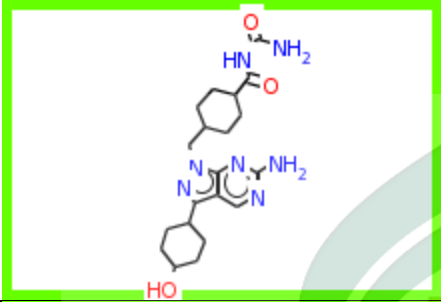
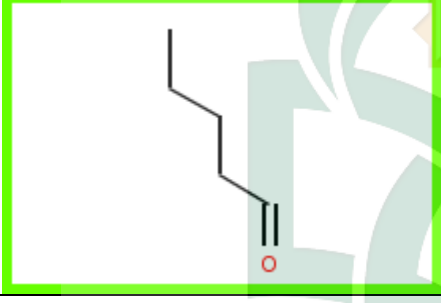
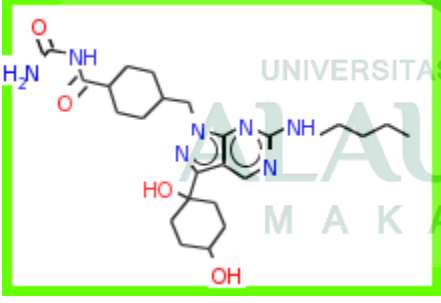
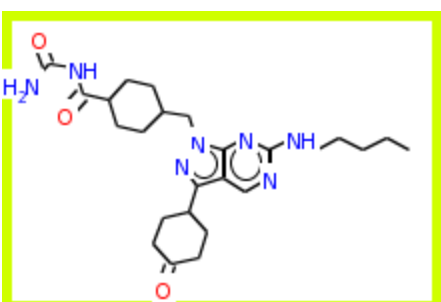
6	628		0.80 (Likely)	Compound 639 > {UM-BBD bt0063 [Likely reaction (0.8)]} > Product 628
7	645		0.80 (Likely)	Compound 639 > {UM-BBD bt0064 [Likely reaction (0.8)]} > Product 645
8	646		0.60 (neutral)	Compound 639 > {UM-BBD bt0002 [Neutral (0.6)]} > Product 646
9	51		0.60 (neutral)	Compound 639 > {UM-BBD bt0067 [Neutral (0.6)]} > Product 51
10	647		0.60 (neutral)	Compound 639 > {UM-BBD bt0334 [Neutral (0.6)]} > Product 647

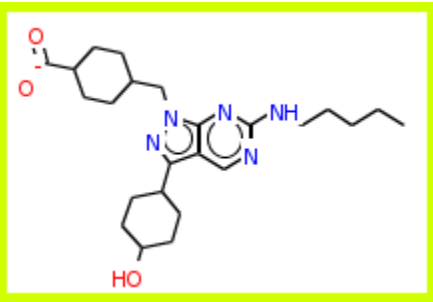
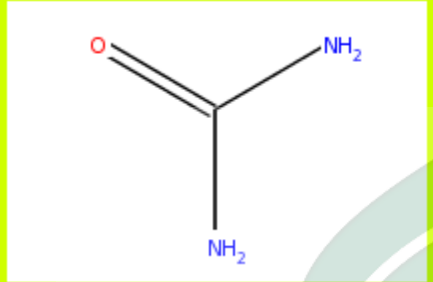
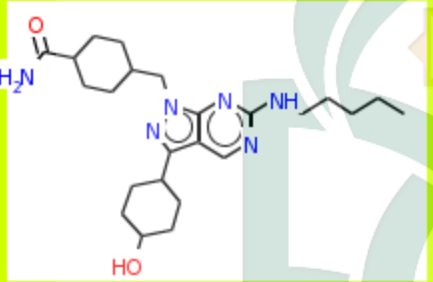
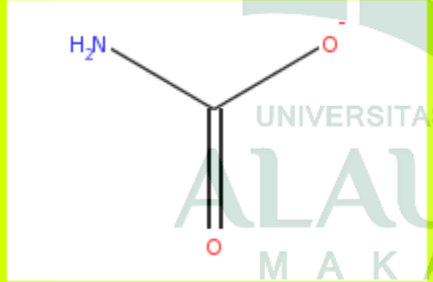
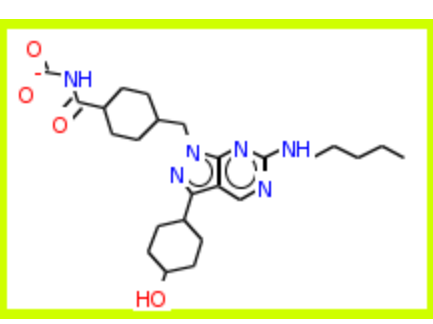
11	648		0.60 (neutral)	Compound 639 > {UM-BBD bt0241 [Neutral (0.6)]} > Product 648
12	649		0.60 (neutral)	Compound 639 > {UM-BBD bt0241 [Neutral (0.6)]} > Product 649
13	650		0.60 (neutral)	Compound 639 > {UM-BBD bt0242 [Neutral (0.6)]} > Product 650
14	651		0.60 (neutral)	Compound 639 > {UM-BBD bt0242 [Neutral (0.6)]} > Product 651
15	652		0.60 (neutral)	Compound 639 > {UM-BBD bt0242 [Neutral (0.6)]} > Product 652

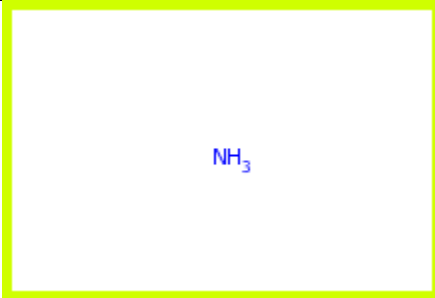
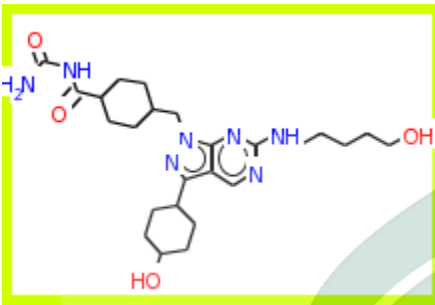
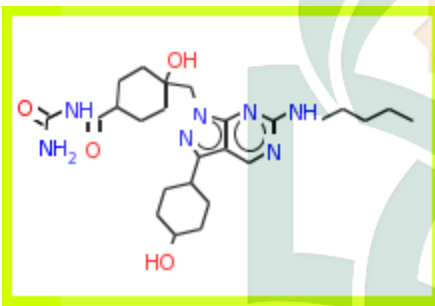
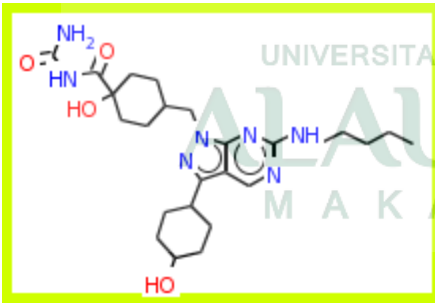
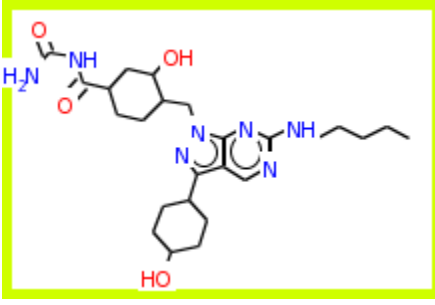
16	653		0.60 (neutral)	Compound 639 > {UM-BBD bt0242 [Neutral (0.6)]} > Product 653
17	630		0.60 (neutral)	Compound 639 > {UM-BBD bt0014 [Neutral (0.6)]} > Product 630

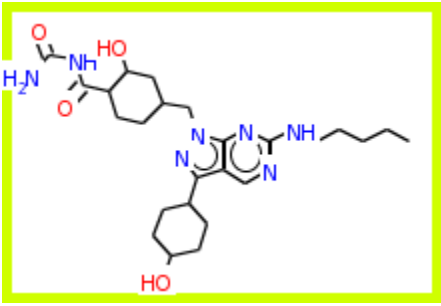
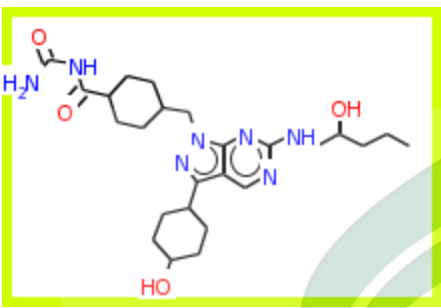
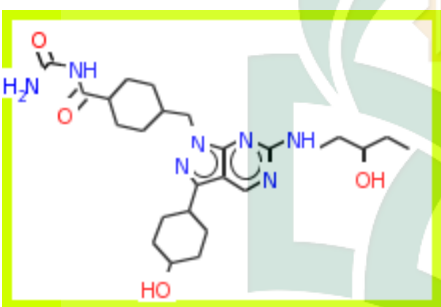
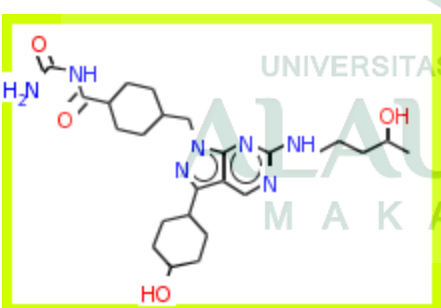
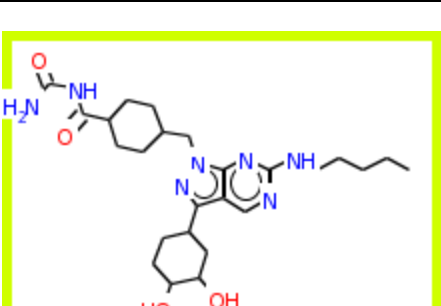
C. Ringkasan Produk Degradasi Senyawa 008

No	CRAFT ID	Struktur Molecular	CRAFT overall likelihood	CRAFT shortets pathway
1	656		0.80 (Likely)	Compound 655 > {UM-BBD bt0005 [Likely reaction (0.8)]} > Product 656
2	657		0.80 (Likely)	Compound 655 > {UM-BBD bt0005 [Likely reaction (0.8)]} > Product 657

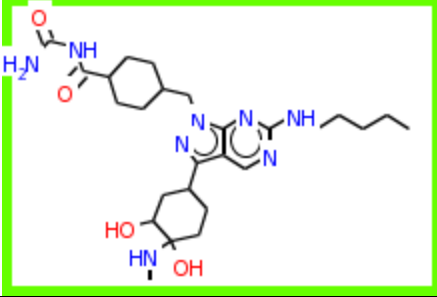
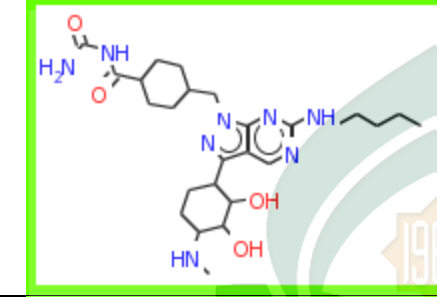
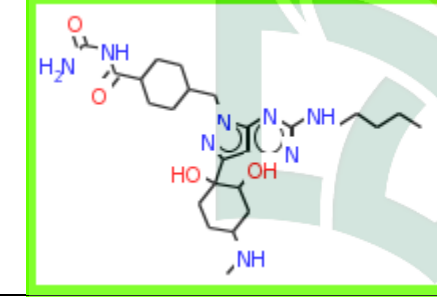
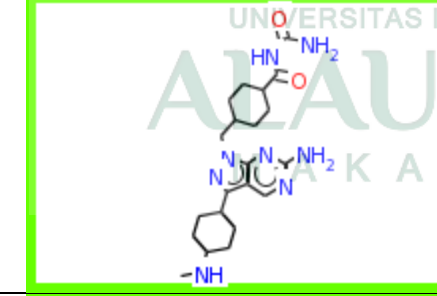
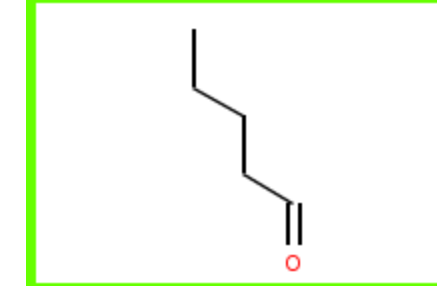
3	658		0.80 (Likely)	Compound 655 > {UM-BBD bt0005 [Likely reaction (0.8)]} > Product 658
4	659		0.80 (Likely)	Compound 655 > {UM-BBD bt0063 [Likely reaction (0.8)]} > Product 659
5	628		0.80 (Likely)	Compound 655 > {UM-BBD bt0063 [Likely reaction (0.8)]} > Product 628
6	660		0.80 (Likely)	Compound 655 > {UM-BBD bt0064 [Likely reaction (0.8)]} > Product 660
7	661		0.60 (neutral)	Compound 655 > {UM-BBD bt0002 [Neutral (0.6)]} > Product 661

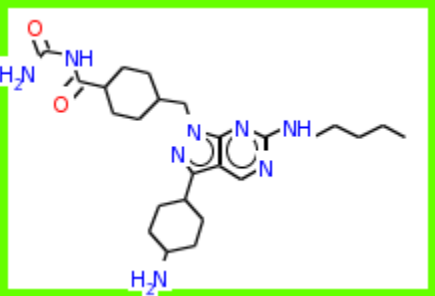
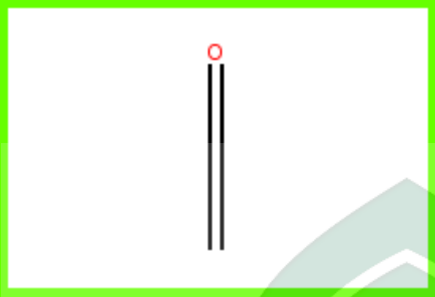
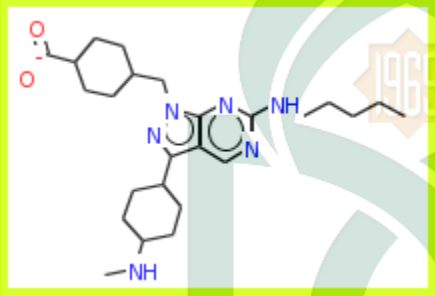
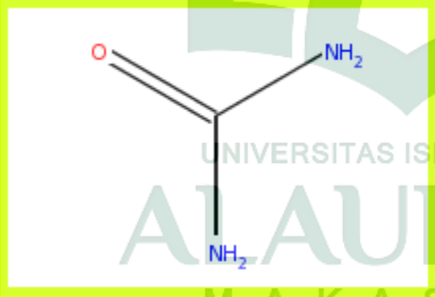
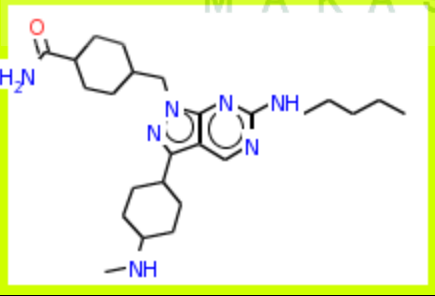
8	643		0.60 (neutral)	Compound 655 > {UM-BBD bt0067 [Neutral (0.6)]} > Product 643
9	662		0.60 (neutral)	Compound 655 > {UM-BBD bt0067 [Neutral (0.6)]} > Product 662
10	639		0.60 (neutral)	Compound 655 > {UM-BBD bt0067 [Neutral (0.6)]} > Product 639
11	663		0.60 (neutral)	Compound 655 > {UM-BBD bt0067 [Neutral (0.6)]} > Product 663
12	664		0.60 (neutral)	Compound 655 > {UM-BBD bt0067 [Neutral (0.6)]} > Product 664

13	51		0.60 (neutral)	Compound 655 > {UM-BBD bt0067 [Neutral (0.6)]} > Product 51
14	665		0.60 (neutral)	Compound 655 > {UM-BBD bt0334 [Neutral (0.6)]} > Product 665
15	666		0.60 (neutral)	Compound 655 > {UM-BBD bt0241 [Neutral (0.6)]} > Product 666
16	667		0.60 (neutral)	Compound 655 > {UM-BBD bt0241 [Neutral (0.6)]} > Product 667
17	668		0.60 (neutral)	Compound 655 > {UM-BBD bt0242 [Neutral (0.6)]} > Product 668

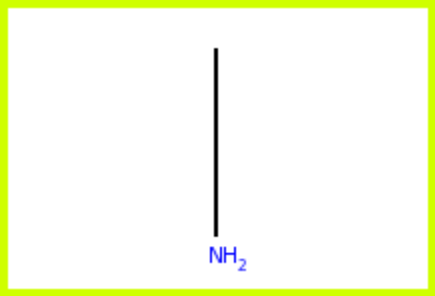
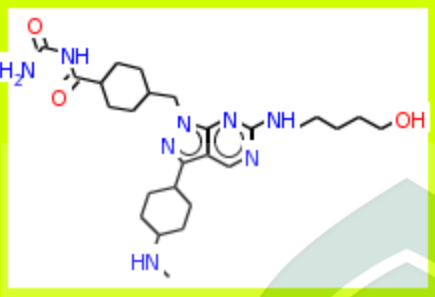
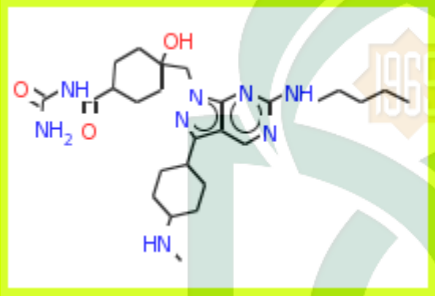
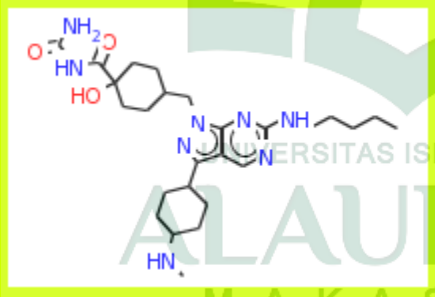
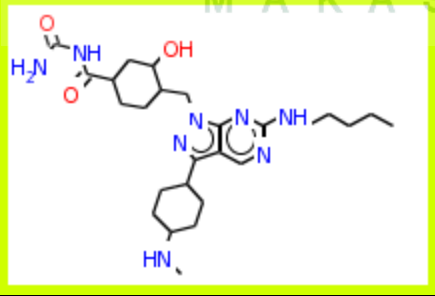
18	669		0.60 (neutral)	Compound 655 > {UM-BBD bt0242 [Neutral (0.6)]} > Product 669
19	670		0.60 (neutral)	Compound 655 > {UM-BBD bt0242 [Neutral (0.6)]} > Product 670
20	671		0.60 (neutral)	Compound 655 > {UM-BBD bt0242 [Neutral (0.6)]} > Product 671
21	672		0.60 (neutral)	Compound 655 > {UM-BBD bt0242 [Neutral (0.6)]} > Product 672
22	673		0.60 (neutral)	Compound 655 > {UM-BBD bt0014 [Neutral (0.6)]} > Product 673

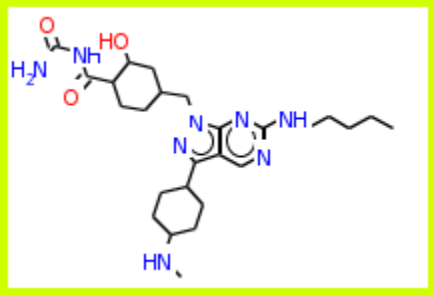
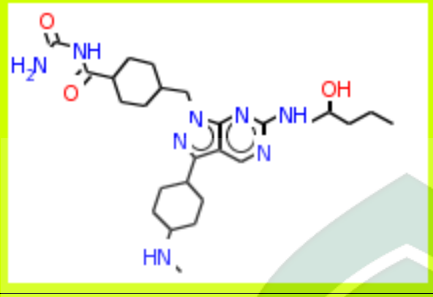
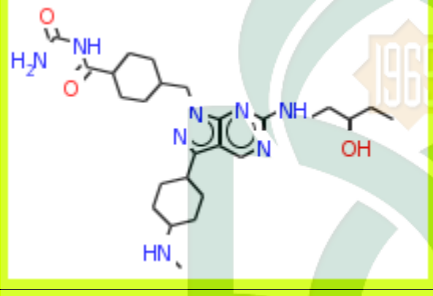
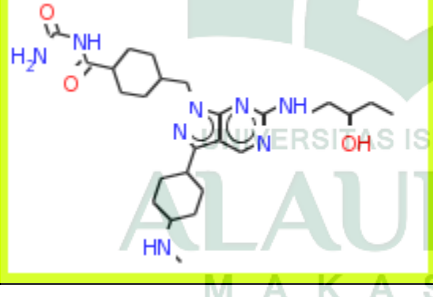
D. Ringkasan Produk Degradasi Senyawa 009

No	CRAFT ID	Struktur Molecular	CRAFT overall likelihood	CRAFT shortets pathway
1	675		0.80 (Likely)	Compound 674 > {UM-BBD bt0005 [Likely reaction (0.8)]} > Product 675
2	676		0.80 (Likely)	Compound 674 > {UM-BBD bt0005 [Likely reaction (0.8)]} > Product 676
3	677		0.80 (Likely)	Compound 674 > {UM-BBD bt0005 [Likely reaction (0.8)]} > Product 677
4	678		0.80 (Likely)	Compound 674 > {UM-BBD bt0063 [Likely reaction (0.8)]} > Product 678
5	628		0.80 (Likely)	Compound 674 > {UM-BBD bt0063 [Likely reaction (0.8)]} > Product 628

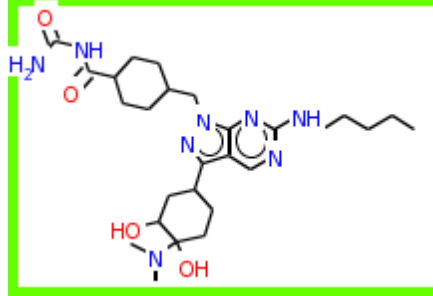
6	679		0.80 (Likely)	Compound 674 > {UM-BBD bt0063 [Likely reaction (0.8)]} > Product 679
7	16		0.80 (Likely)	Compound 674 > {UM-BBD bt0063 [Likely reaction (0.8)]} > Product 16
8	680		0.60 (neutral)	Compound 674 > {UM-BBD bt0067 [Neutral (0.6)]} > Product 680
9	662		0.60 (neutral)	Compound 674 > {UM-BBD bt0067 [Neutral (0.6)]} > Product 662
10	681		0.60 (neutral)	Compound 674 > {UM-BBD bt0067 [Neutral (0.6)]} > Product 681

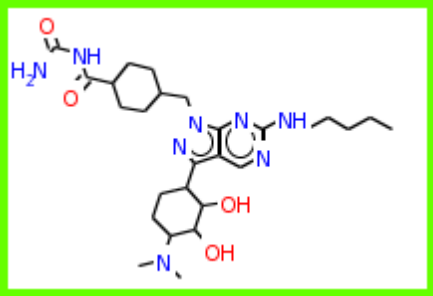
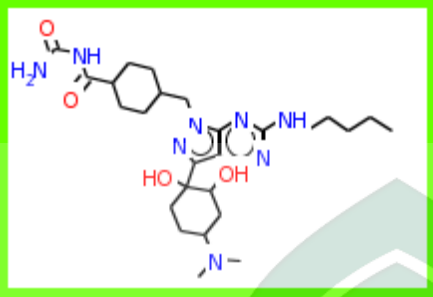
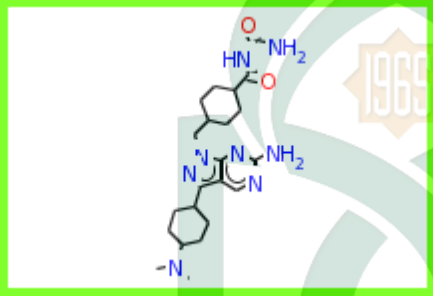

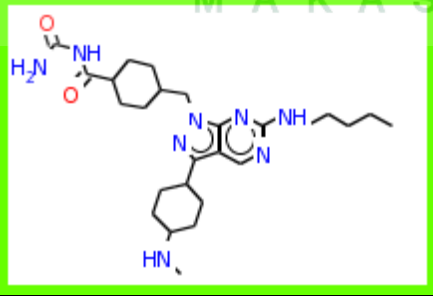
11	663		0.60 (neutral)	Compound 674 > {UM-BBD bt0067 [Neutral (0.6)]} > Product 663
12	682		0.60 (neutral)	Compound 674 > {UM-BBD bt0067 [Neutral (0.6)]} > Product 682
13	51		0.60 (neutral)	Compound 674 > {UM-BBD bt0067 [Neutral (0.6)]} > Product 51
14	683		0.60 (neutral)	Compound 674 > {UM-BBD bt0011 [Neutral (0.6)]} > Product 683
15	673		0.60 (neutral)	Compound 674 > {UM-BBD bt0065 [Neutral (0.6)]} > Product 673

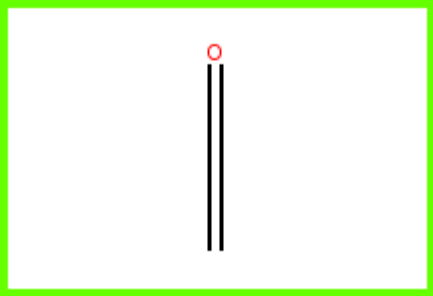
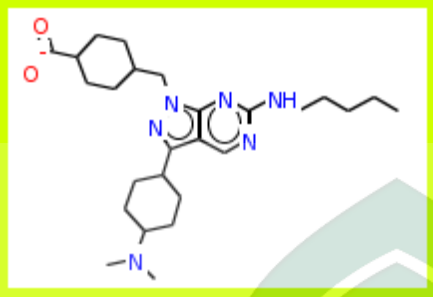
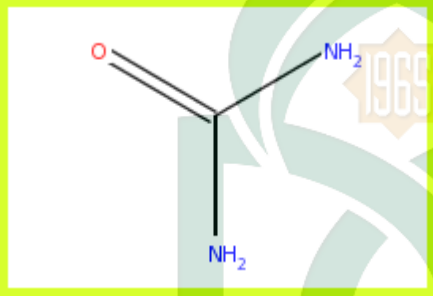
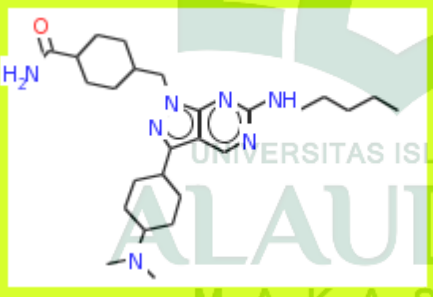
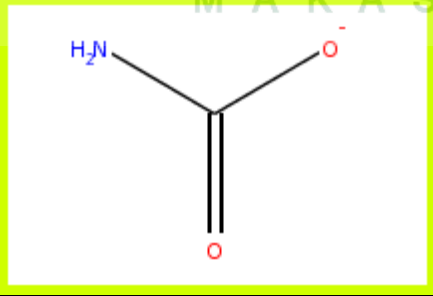
16	136		0.60 (neutral)	Compound 674 > {UM-BBD bt0065 [Neutral (0.6)]} > Product 136
17	684		0.60 (neutral)	Compound 674 > {UM-BBD bt0334 [Neutral (0.6)]} > Product 684
18	685		0.60 (neutral)	Compound 674 > {UM-BBD bt0241 [Neutral (0.6)]} > Product 685
19	686		0.60 (neutral)	Compound 674 > {UM-BBD bt0241 [Neutral (0.6)]} > Product 686
20	687		0.60 (neutral)	Compound 674 > {UM-BBD bt0242 [Neutral (0.6)]} > Product 687

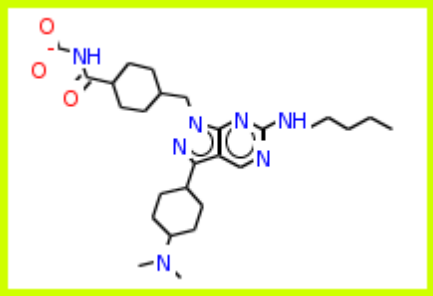
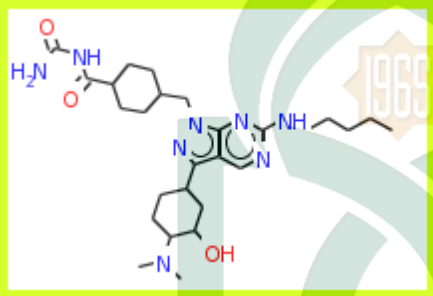
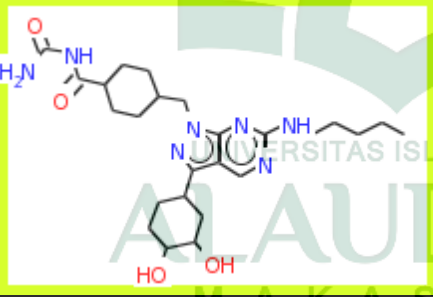
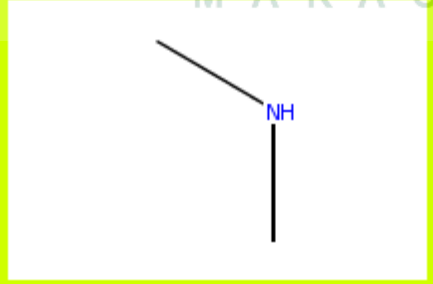
21	688		0.60 (neutral)	Compound 674 > {UM-BBD bt0242 [Neutral (0.6)]} > Product 688
22	689		0.60 (neutral)	Compound 674 > {UM-BBD bt0242 [Neutral (0.6)]} > Product 689
23	690		0.60 (neutral)	Compound 674 > {UM-BBD bt0242 [Neutral (0.6)]} > Product 690
24	691		0.60 (neutral)	Compound 674 > {UM-BBD bt0242 [Neutral (0.6)]} > Product 691

E. Ringkasan Produk Degradasi Senyawa 010

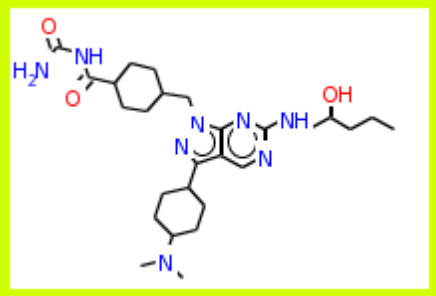
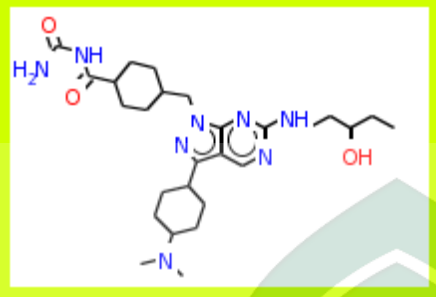
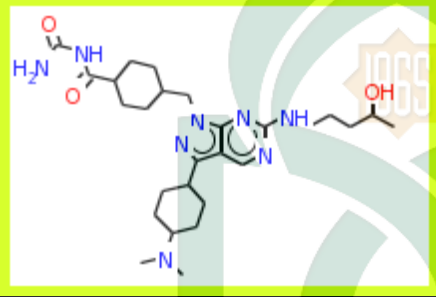
No	CRAFT ID	Struktur Molecular	CRAFT overall likelihood	CRAFT shortets pathway
1	693		0.80 (Likely)	Compound 692 > {UM-BBD bt0005 [Likely reaction (0.8)]} > Product 693

2	694		0.80 (Likely)	Compound 692 > {UM-BBD bt0005 [Likely reaction (0.8)]} > Product 694
3	695		0.80 (Likely)	Compound 692 > {UM-BBD bt0005 [Likely reaction (0.8)]} > Product 695
4	696		0.80 (Likely)	Compound 692 > {UM-BBD bt0063 [Likely reaction (0.8)]} > Product 696
5	628		0.80 (Likely)	Compound 692 > {UM-BBD bt0063 [Likely reaction (0.8)]} > Product 628
6	674		0.80 (Likely)	Compound 692 > {UM-BBD bt0063 [Likely reaction (0.8)]} > Product 674

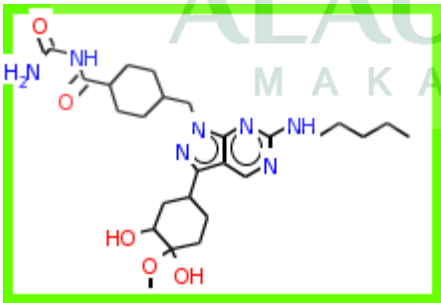
7	16		0.80 (Likely)	Compound 692 > {UM-BBD bt0063 [Likely reaction (0.8)]} > Product 16
8	697		0.60 (neutral)	Compound 692 > {UM-BBD bt0067 [Neutral (0.6)]} > Product 697
9	662		0.60 (neutral)	Compound 692 > {UM-BBD bt0067 [Neutral (0.6)]} > Product 662
10	698		0.60 (neutral)	Compound 692 > {UM-BBD bt0067 [Neutral (0.6)]} > Product 698
11	663		0.60 (neutral)	Compound 692 > {UM-BBD bt0067 [Neutral (0.6)]} > Product 663

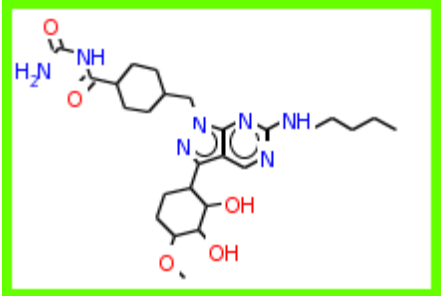
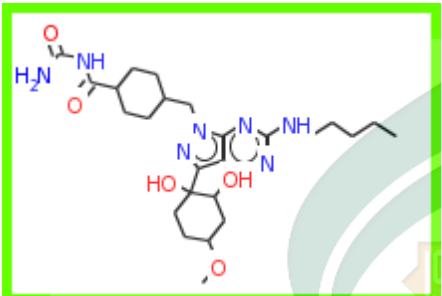
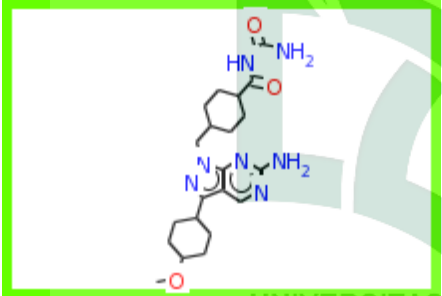
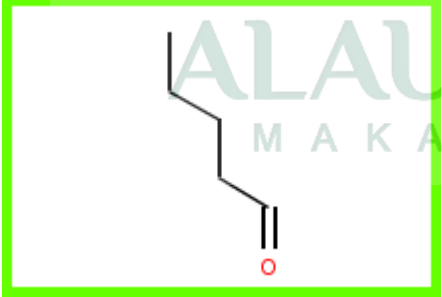
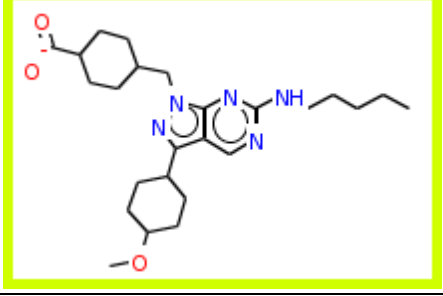
12	699		0.60 (neutral)	Compound 692 > {UM-BBD bt0067 [Neutral (0.6)]} > Product 699
13	51	NH_3	0.60 (neutral)	Compound 692 > {UM-BBD bt0067 [Neutral (0.6)]} > Product 51
14	700		0.60 (neutral)	Compound 692 > {UM-BBD bt0011 [Neutral (0.6)]} > Product 700
15	673		0.60 (neutral)	Compound 692 > {UM-BBD bt0065 [Neutral (0.6)]} > Product 673
16	14		0.60 (neutral)	Compound 692 > {UM-BBD bt0065 [Neutral (0.6)]} > Product 14

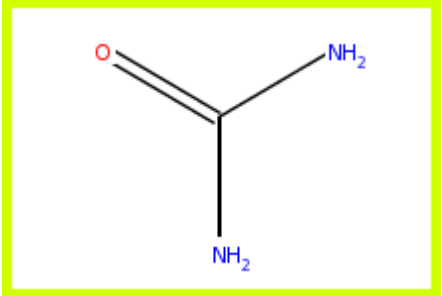
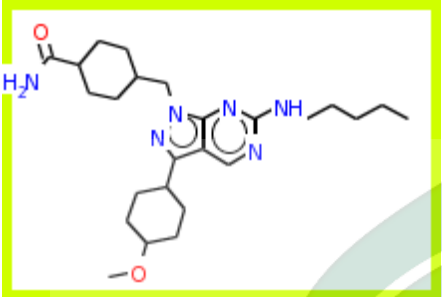
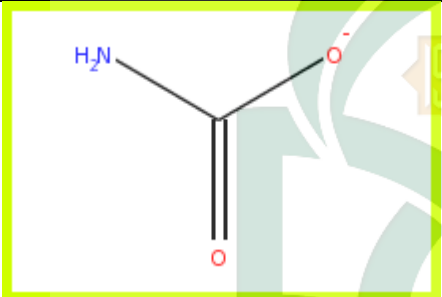
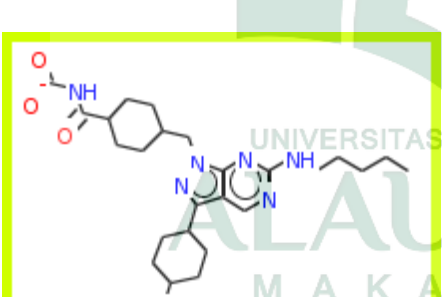
17	701		0.60 (neutral)	Compound 692 > {UM-BBD bt0334 [Neutral (0.6)]} > Product 701
18	702		0.60 (neutral)	Compound 692 > {UM-BBD bt0241 [Neutral (0.6)]} > Product 702
19	703		0.60 (neutral)	Compound 692 > {UM-BBD bt0241 [Neutral (0.6)]} > Product 703
20	704		0.60 (neutral)	Compound 692 > {UM-BBD bt0242 [Neutral (0.6)]} > Product 704
21	705		0.60 (neutral)	Compound 692 > {UM-BBD bt0242 [Neutral (0.6)]} > Product 705

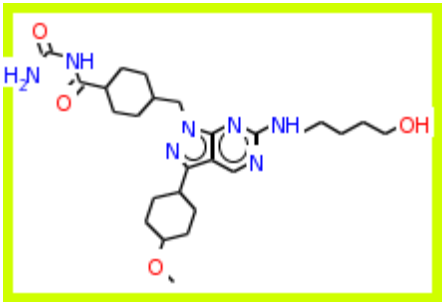
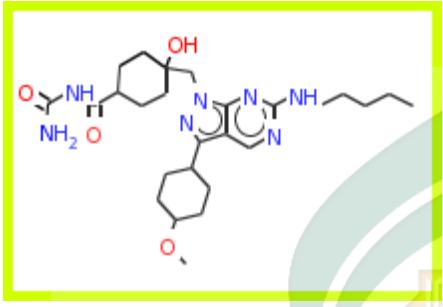
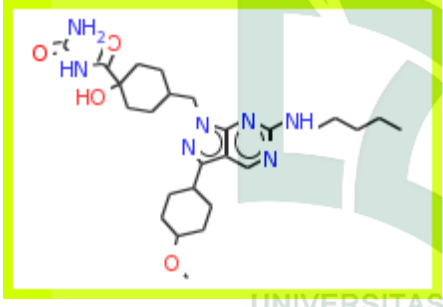
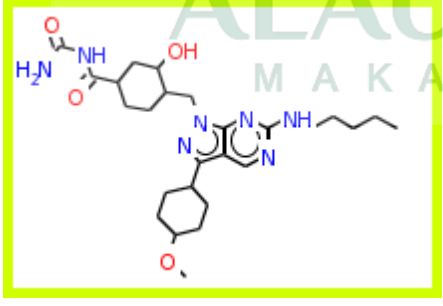
22	706		0.60 (neutral)	Compound 692 > {UM-BBD bt0242 [Neutral (0.6)]} > Product 706
23	707		0.60 (neutral)	Compound 692 > {UM-BBD bt0242 [Neutral (0.6)]} > Product 707
24	708		0.60 (neutral)	Compound 692 > {UM-BBD bt0242 [Neutral (0.6)]} > Product 708

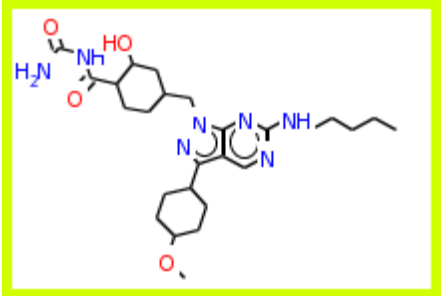
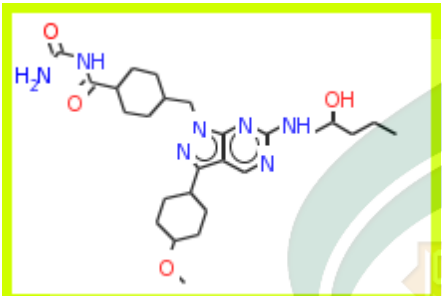
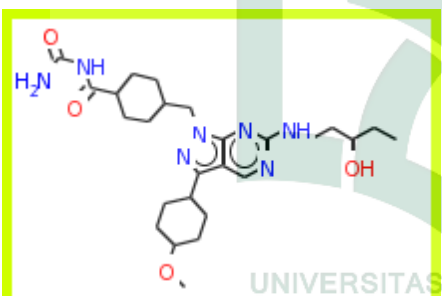
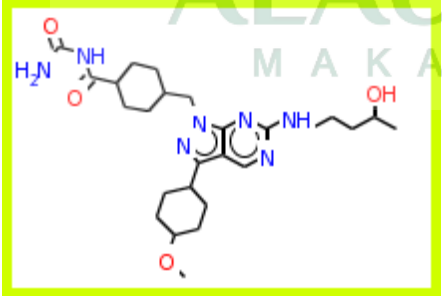
F. Ringkasan Produk Degradasi Senyawa 011

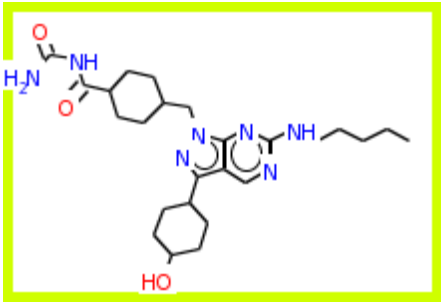
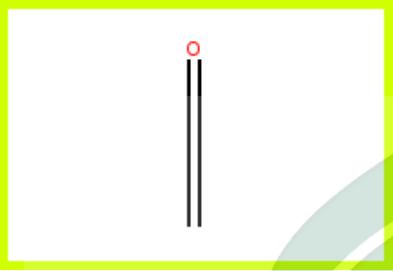
No	CRAFT ID	Struktur Molecular	CRAFT overall likelihood	CRAFT shortets pathway
1	710		0.80 (Likely)	Compound 709 > {UM-BBD bt0005 [Likely reaction (0.8)]} > Product 710

2	711		0.80 (Likely)	Compound 709 > {UM-BBD bt0005 [Likely reaction (0.8)]} > Product 711
3	712		0.80 (Likely)	Compound 709 > {UM-BBD bt0005 [Likely reaction (0.8)]} > Product 712
4	713		0.80 (Likely)	Compound 709 > {UM-BBD bt0063 [Likely reaction (0.8)]} > Product 713
5	628		0.80 (Likely)	Compound 709 > {UM-BBD bt0063 [Likely reaction (0.8)]} > Product 628
6	714		0.60 (neutral)	Compound 709 > {UM-BBD bt0067 [Neutral (0.6)]} > Product 714

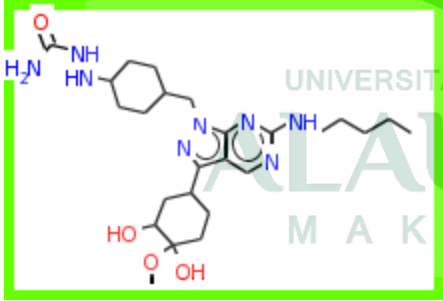
7	662		0.60 (neutral)	Compound 709 > {UM-BBD bt0067 [Neutral (0.6)]} > Product 662
8	715		0.60 (neutral)	Compound 709 > {UM-BBD bt0067 [Neutral (0.6)]} > Product 715
9	663		0.60 (neutral)	Compound 709 > {UM-BBD bt0067 [Neutral (0.6)]} > Product 663
10	716		0.60 (neutral)	Compound 709 > {UM-BBD bt0067 [Neutral (0.6)]} > Product 716
11	51	NH_3	0.60 (neutral)	Compound 709 > {UM-BBD bt0067 [Neutral (0.6)]} > Product 51

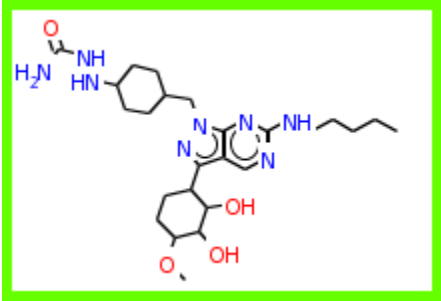
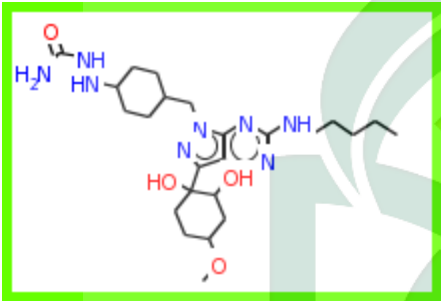
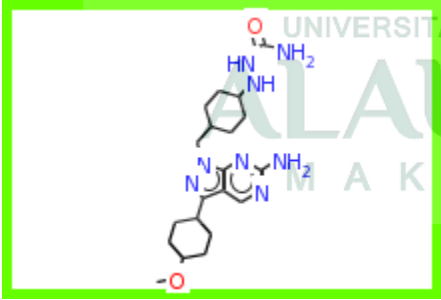
12	717		0.60 (neutral)	Compound 709 > {UM-BBD bt0334 [Neutral (0.6)]} > Product 717
13	718		0.60 (neutral)	Compound 709 > {UM-BBD bt0241 [Neutral (0.6)]} > Product 718
14	719		0.60 (neutral)	Compound 709 > {UM-BBD bt0241 [Neutral (0.6)]} > Product 719
15	720		0.60 (neutral)	Compound 709 > {UM-BBD bt0242 [Neutral (0.6)]} > Product 720

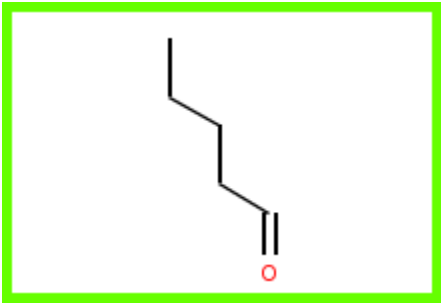
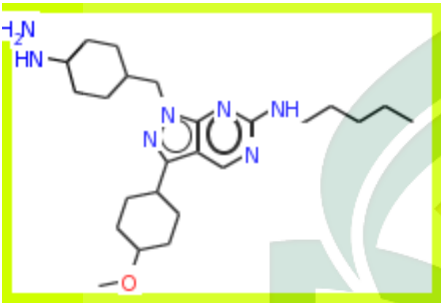
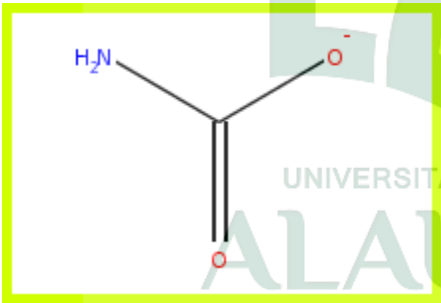
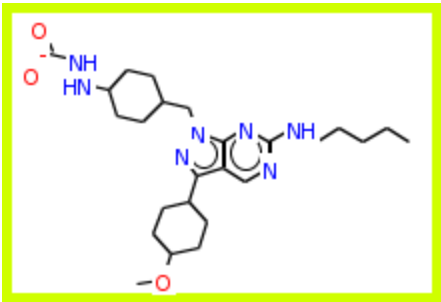
16	721		0.60 (neutral)	Compound 709 > {UM-BBD bt0242 [Neutral (0.6)]} > Product 721
17	722		0.60 (neutral)	Compound 709 > {UM-BBD bt0242 [Neutral (0.6)]} > Product 722
18	723		0.60 (neutral)	Compound 709 > {UM-BBD bt0242 [Neutral (0.6)]} > Product 723
19	724		0.60 (neutral)	Compound 709 > {UM-BBD bt0242 [Neutral (0.6)]} > Product 724

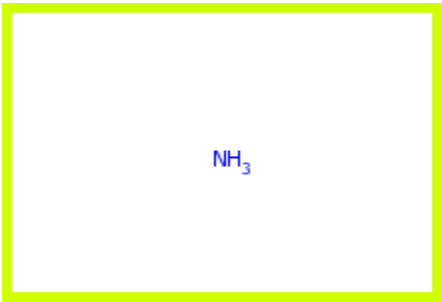
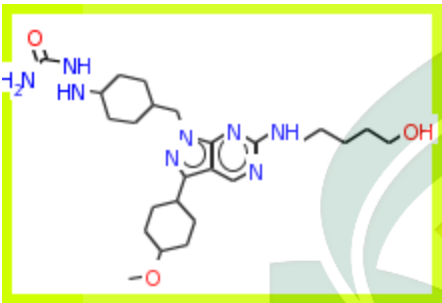
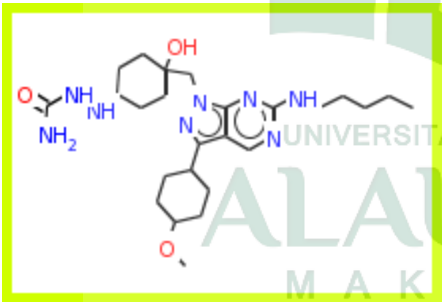
20	655		0.60 (neutral)	Compound 709 > {UM-BBD bt0023 [Neutral (0.6)]} > Product 655
21	16		0.60 (neutral)	Compound 709 > {UM-BBD bt0023 [Neutral (0.6)]} > Product 16

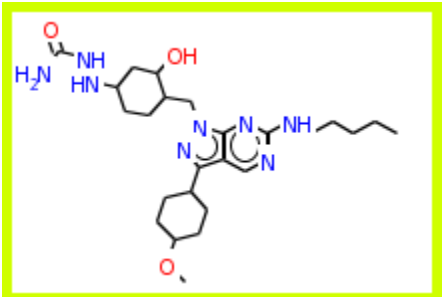
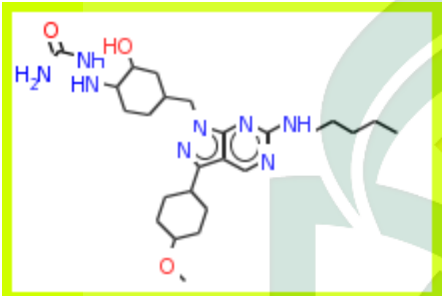
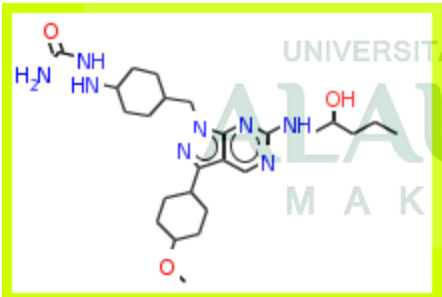
G. Ringkasan Produk Degradasi Senyawa 017

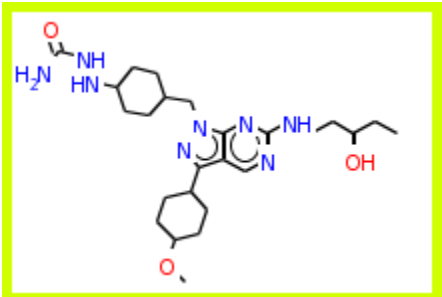
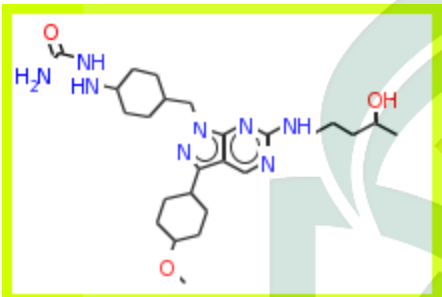
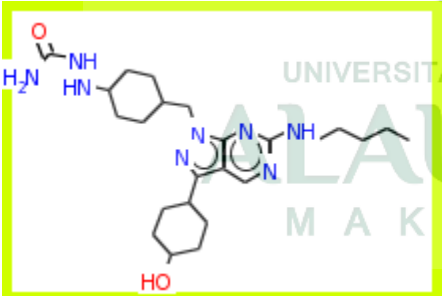
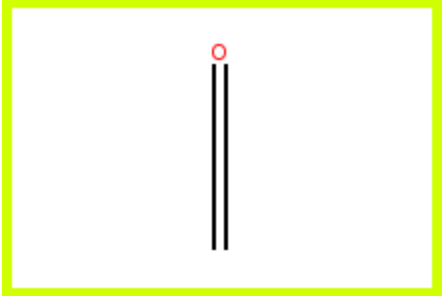
No	CRAFT ID	Struktur Molecular	CRAFT overall likelihood	CRAFT shortets pathway
1	726		0.80 (Likely)	Compound 725 > {UM-BBD bt0005 [Likely reaction (0.8)]} > Product 726

2	727	 <p>The chemical structure of compound 727 is shown within a green rectangular box. It features a central pyrazole ring system. One nitrogen atom of the pyrazole is substituted with a propyl group (NH-CH2-CH2-CH3). The other nitrogen atom is substituted with a 4-(aminomethyl)phenyl group (NH-CH2-C6H4-NH2). The pyrazole ring is also substituted at the 3-position with a 4-hydroxyphenyl group (C6H4-OH) and at the 5-position with a 4-hydroxyphenyl group (C6H4-OH). The hydroxyl groups are highlighted in red.</p>	0.80 (Likely)	Compound 725 > {UM-BBD bt0005 [Likely reaction (0.8)]} > Product 727
3	728	 <p>The chemical structure of compound 728 is shown within a green rectangular box. It features a central pyrazole ring system. One nitrogen atom of the pyrazole is substituted with a propyl group (NH-CH2-CH2-CH3). The other nitrogen atom is substituted with a 4-(aminomethyl)phenyl group (NH-CH2-C6H4-NH2). The pyrazole ring is also substituted at the 3-position with a 4-hydroxyphenyl group (C6H4-OH) and at the 5-position with a 4-hydroxyphenyl group (C6H4-OH). The hydroxyl groups are highlighted in red.</p>	0.80 (Likely)	Compound 725 > {UM-BBD bt0005 [Likely reaction (0.8)]} > Product 728
4	729	 <p>The chemical structure of compound 729 is shown within a green rectangular box. It features a central pyrazole ring system. One nitrogen atom of the pyrazole is substituted with a propyl group (NH-CH2-CH2-CH3). The other nitrogen atom is substituted with a 4-(aminomethyl)phenyl group (NH-CH2-C6H4-NH2). The pyrazole ring is also substituted at the 3-position with a 4-hydroxyphenyl group (C6H4-OH) and at the 5-position with a 4-hydroxyphenyl group (C6H4-OH). The hydroxyl groups are highlighted in red.</p>	0.80 (Likely)	Compound 725 > {UM-BBD bt0063 [Likely reaction (0.8)]} > Product 729

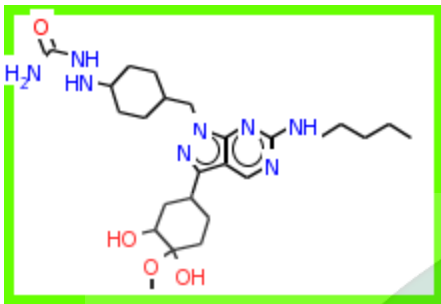
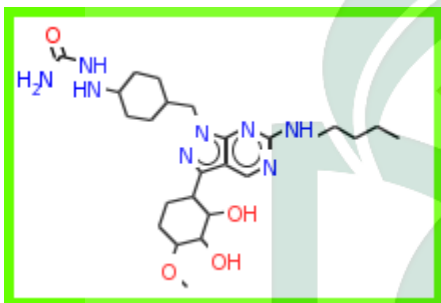
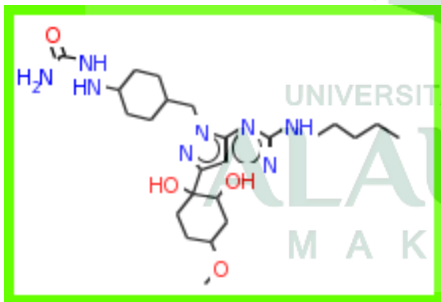
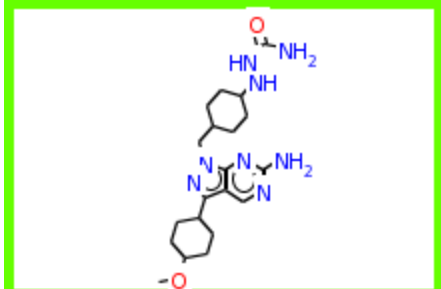
5	628		0.80 (Likely)	Compound 725 > {UM-BBD bt0063 [Likely reaction (0.8)]} > Product 628
6	730		0.60 (neutral)	Compound 725 > {UM-BBD bt0067 [Neutral (0.6)]} > Product 730
7	663		0.60 (neutral)	Compound 725 > {UM-BBD bt0067 [Neutral (0.6)]} > Product 663
8	731		0.60 (neutral)	Compound 725 > {UM-BBD bt0067 [Neutral (0.6)]} > Product 731

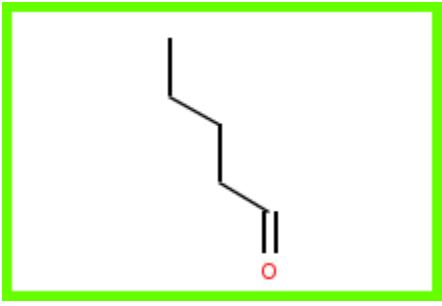
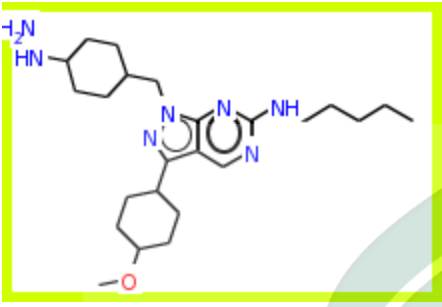
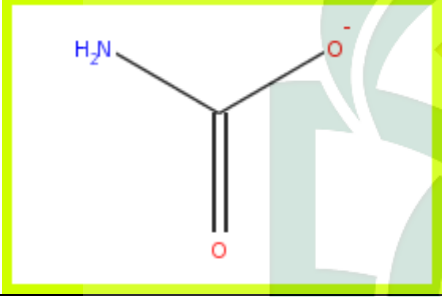
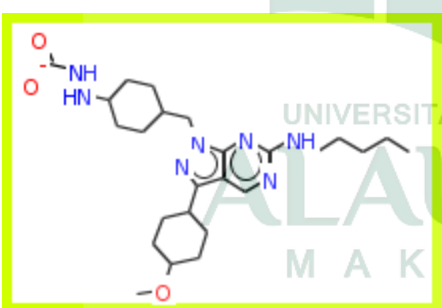
9	51		0.60 (neutral)	Compound 725 > {UM-BBD bt0067 [Neutral (0.6)]} > Product 51
10	732		0.60 (neutral)	Compound 725 > {UM-BBD bt0334 [Neutral (0.6)]} > Product 732
11	733		0.60 (neutral)	Compound 725 > {UM-BBD bt0241 [Neutral (0.6)]} > Product 733

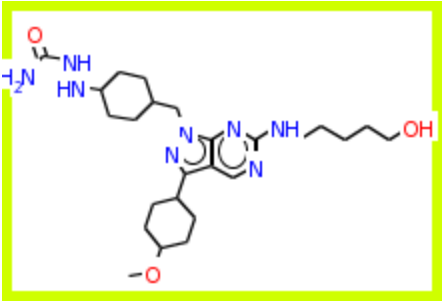
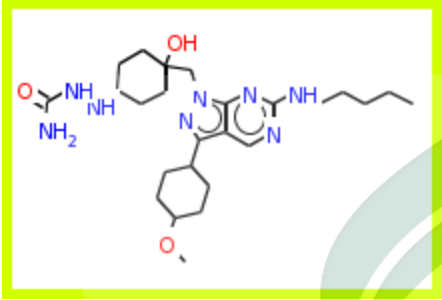
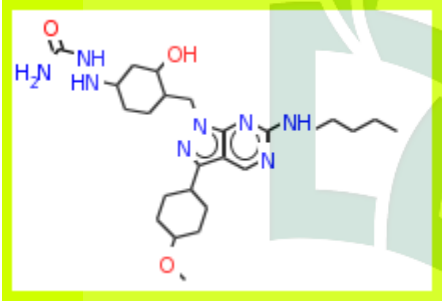
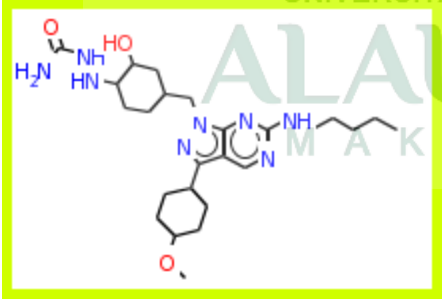
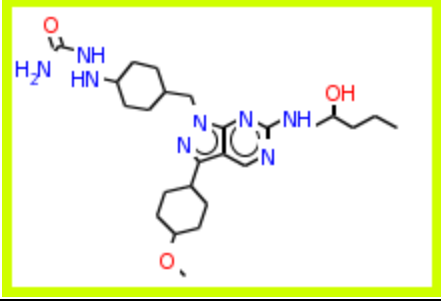
12	734	 <p>The chemical structure of compound 734 is shown within a yellow border. It features a central pyridine ring substituted with a piperidine ring at the 2-position, a 4-hydroxyphenyl group at the 3-position, and a 4-aminophenyl group at the 5-position. A butylamino group is attached to the 4-position of the pyridine ring.</p>	0.60 (neutral)	Compound 725 > {UM-BBD bt0242 [Neutral (0.6)]} > Product 734
13	735	 <p>The chemical structure of compound 735 is shown within a yellow border. It features a central pyridine ring substituted with a piperidine ring at the 2-position, a 4-hydroxyphenyl group at the 3-position, and a 4-aminophenyl group at the 5-position. A butylamino group is attached to the 4-position of the pyridine ring.</p>	0.60 (neutral)	Compound 725 > {UM-BBD bt0242 [Neutral (0.6)]} > Product 735
14	736	 <p>The chemical structure of compound 736 is shown within a yellow border. It features a central pyridine ring substituted with a piperidine ring at the 2-position, a 4-hydroxyphenyl group at the 3-position, and a 4-aminophenyl group at the 5-position. A butylamino group is attached to the 4-position of the pyridine ring.</p>	0.60 (neutral)	Compound 725 > {UM-BBD bt0242 [Neutral (0.6)]} > Product 736

15	737		0.60 (neutral)	Compound 725 > {UM-BBD bt0242 [Neutral (0.6)]} > Product 737
16	738		0.60 (neutral)	Compound 725 > {UM-BBD bt0242 [Neutral (0.6)]} > Product 738
17	739		0.60 (neutral)	Compound 725 > {UM-BBD bt0023 [Neutral (0.6)]} > Product 739
18	16		0.60 (neutral)	Compound 725 > {UM-BBD bt0023 [Neutral (0.6)]} > Product 16

Tabel IV.10 Ringkasan Produk Degradasi Senyawa 031

No	CRAFT ID	Structur Molecular	CRAFT overall likelihood	CRAFT shortets pathway
1	726		0.80 (Likely)	Compound 725 > {UM-BBD bt0005 [Likely reaction (0.8)]} > Product 726
2	727		0.80 (Likely)	Compound 725 > {UM-BBD bt0005 [Likely reaction (0.8)]} > Product 727
3	728		0.80 (Likely)	Compound 725 > {UM-BBD bt0005 [Likely reaction (0.8)]} > Product 728
4	729		0.80 (Likely)	Compound 725 > {UM-BBD bt0063 [Likely reaction (0.8)]} > Product 729

5	628		0.80 (Likely)	Compound 725 > {UM-BBD bt0063 [Likely reaction (0.8)]} > Product 628
6	730		0.60 (neutral)	Compound 725 > {UM-BBD bt0067 [Neutral (0.6)]} > Product 730
7	663		0.60 (neutral)	Compound 725 > {UM-BBD bt0067 [Neutral (0.6)]} > Product 663
8	731		0.60 (neutral)	Compound 725 > {UM-BBD bt0067 [Neutral (0.6)]} > Product 731
9	51	NH_3	0.60 (neutral)	Compound 725 > {UM-BBD bt0067 [Neutral (0.6)]} > Product 51

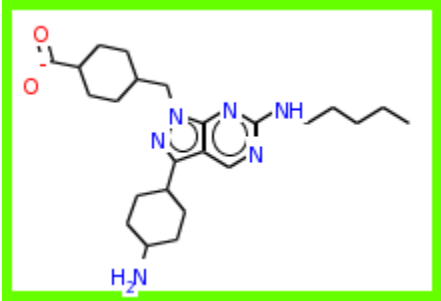
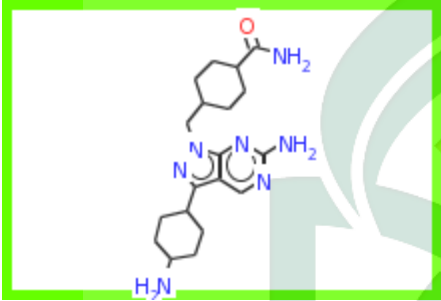

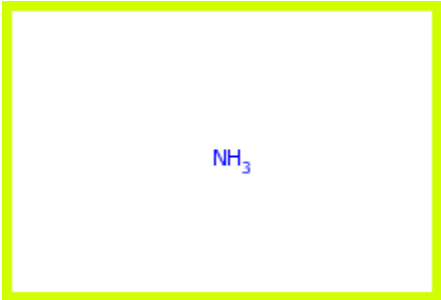
10	732		0.60 (neutral)	Compound 725 > {UM-BBD bt0334 [Neutral (0.6)]} > Product 732
11	733		0.60 (neutral)	Compound 725 > {UM-BBD bt0241 [Neutral (0.6)]} > Product 733
12	734		0.60 (neutral)	Compound 725 > {UM-BBD bt0242 [Neutral (0.6)]} > Product 734
13	735		0.60 (neutral)	Compound 725 > {UM-BBD bt0242 [Neutral (0.6)]} > Product 735
14	736		0.60 (neutral)	Compound 725 > {UM-BBD bt0242 [Neutral (0.6)]} > Product 736

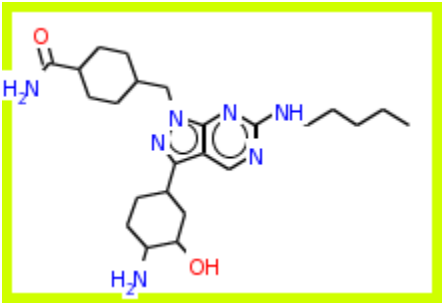
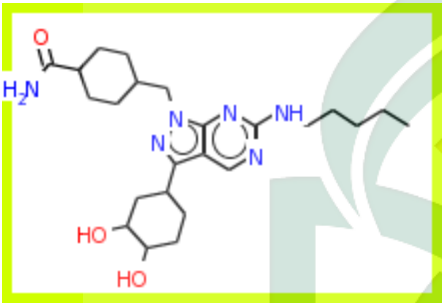
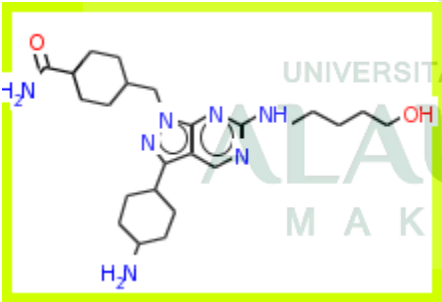
15	737		0.60 (neutral)	Compound 725 > {UM-BBD bt0242 [Neutral (0.6)]} > Product 737
16	738		0.60 (neutral)	Compound 725 > {UM-BBD bt0242 [Neutral (0.6)]} > Product 738
17	739		0.60 (neutral)	Compound 725 > {UM-BBD bt0023 [Neutral (0.6)]} > Product 739
18	16		0.60 (neutral)	Compound 725 > {UM-BBD bt0023 [Neutral (0.6)]} > Product 16

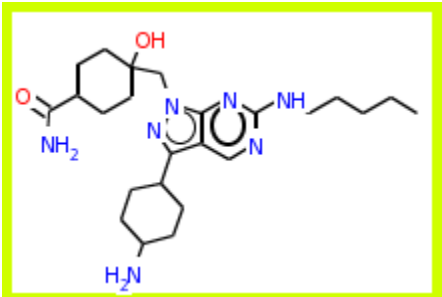
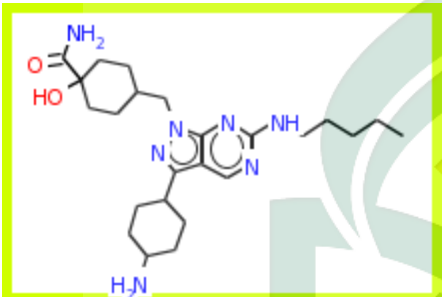
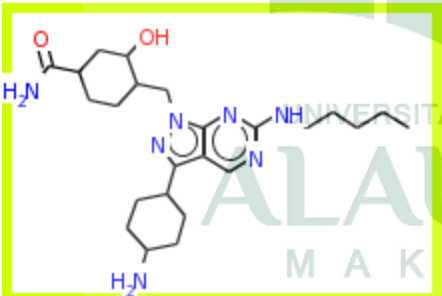
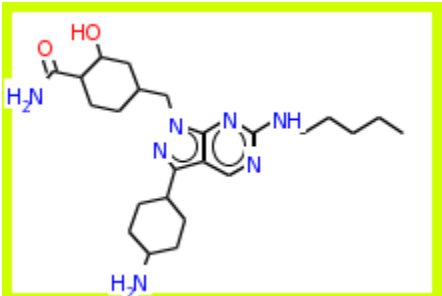
H. Ringkasan Produk Degradasi Senyawa 111

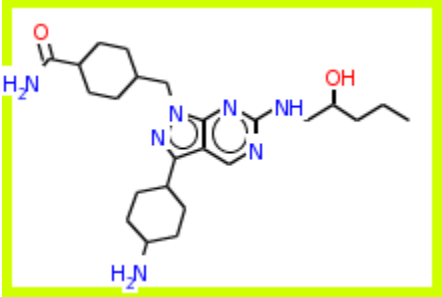
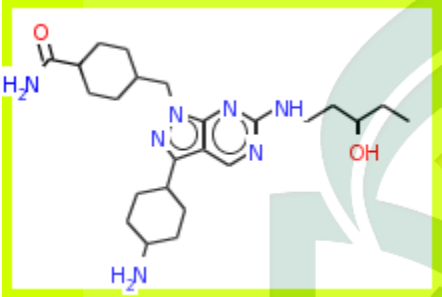
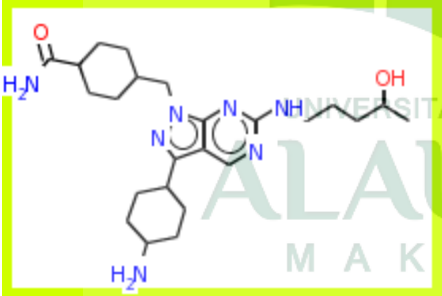
No	CRAFT ID	SMILES	CRAFT overall likelihood	CRAFT shortets pathway
----	----------	--------	--------------------------	------------------------

1	623		0.80 (Likely)	Compound 622 > {UM-BBD bt0005 [Likely reaction (0.8)]} > Product 623
2	624		0.80 (Likely)	Compound 622 > {UM-BBD bt0005 [Likely reaction (0.8)]} > Product 624
3	625		0.80 (Likely)	Compound 622 > {UM-BBD bt0005 [Likely reaction (0.8)]} > Product 625

4	626		0.80 (Likely)	Compound 622 > {UM-BBD bt0027 [Likely reaction (0.8)]} > Product 626
5	627		0.80 (Likely)	Compound 622 > {UM-BBD bt0063 [Likely reaction (0.8)]} > Product 627
6	628		0.80 (Likely)	Compound 622 > {UM-BBD bt0063 [Likely reaction (0.8)]} > Product 628
7	51		0.60 (neutral)	Compound 622 > {UM-BBD bt0067 [Neutral (0.6)]} > Product 51

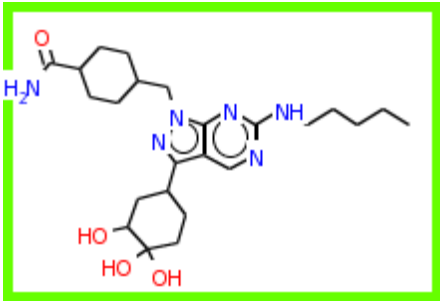
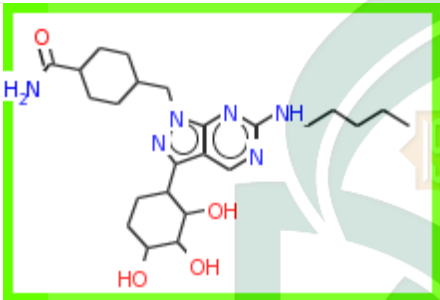
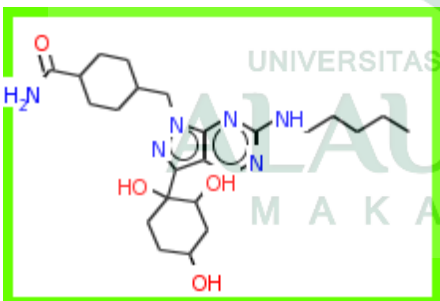
8	629		0.60 (neutral)	Compound 622 > {UM-BBD bt0011 [Neutral (0.6)]} > Product 629
9	630		0.60 (neutral)	Compound 622 > {UM-BBD bt0065 [Neutral (0.6)]} > Product 630
10	631		0.60 (neutral)	Compound 622 > {UM-BBD bt0334 [Neutral (0.6)]} > Product 631

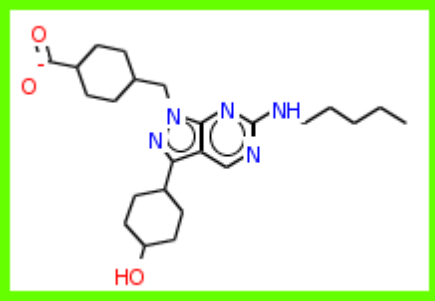
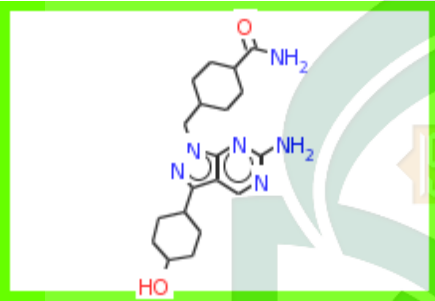
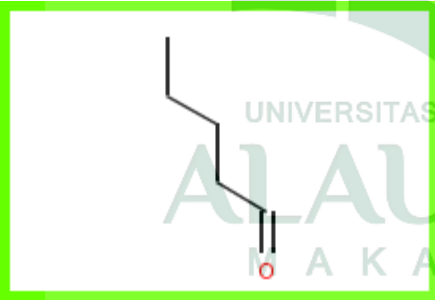
11	632	 <p>The chemical structure of compound 632 features a central benzimidazole ring system. It is substituted with a 4-aminocyclohexyl group at the 2-position, a 4-hydroxy-2-(aminomethyl)cyclohexyl group at the 5-position, and a butylamino group at the 6-position. The structure is highlighted with a yellow border.</p>	0.60 (neutral)	Compound 622 > {UM-BBD bt0241 [Neutral (0.6)]} > Product 632
12	633	 <p>The chemical structure of compound 633 is similar to 632, but the 4-hydroxy-2-(aminomethyl)cyclohexyl group is replaced by a 2-(aminomethyl)-4-hydroxycyclohexyl group. The structure is highlighted with a yellow border.</p>	0.60 (neutral)	Compound 622 > {UM-BBD bt0241 [Neutral (0.6)]} > Product 633
13	634	 <p>The chemical structure of compound 634 is similar to 632, but the 4-hydroxy-2-(aminomethyl)cyclohexyl group is replaced by a 2-(aminomethyl)-4-hydroxycyclohexyl group. The structure is highlighted with a yellow border.</p>	0.60 (neutral)	Compound 622 > {UM-BBD bt0242 [Neutral (0.6)]} > Product 634
14	635	 <p>The chemical structure of compound 635 is similar to 632, but the 4-hydroxy-2-(aminomethyl)cyclohexyl group is replaced by a 2-(aminomethyl)-4-hydroxycyclohexyl group. The structure is highlighted with a yellow border.</p>	0.60 (neutral)	Compound 622 > {UM-BBD bt0242 [Neutral (0.6)]} > Product 635

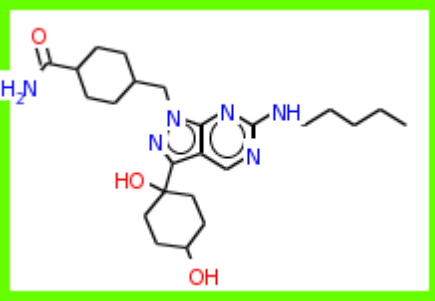
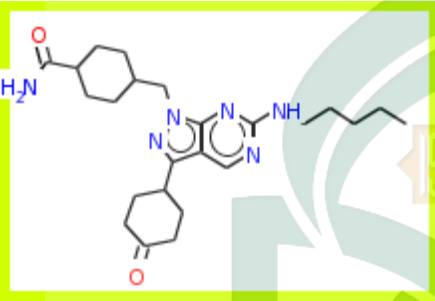

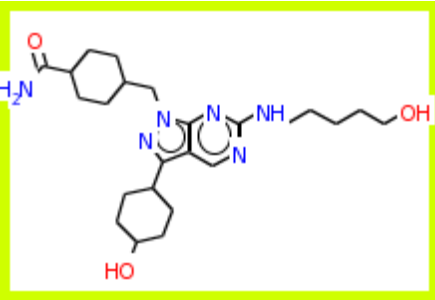
15	636		0.60 (neutral)	Compound 622 > {UM-BBD bt0242 [Neutral (0.6)]} > Product 636
16	637		0.60 (neutral)	Compound 622 > {UM-BBD bt0242 [Neutral (0.6)]} > Product 637
17	638		0.60 (neutral)	Compound 622 > {UM-BBD bt0242 [Neutral (0.6)]} > Product 638

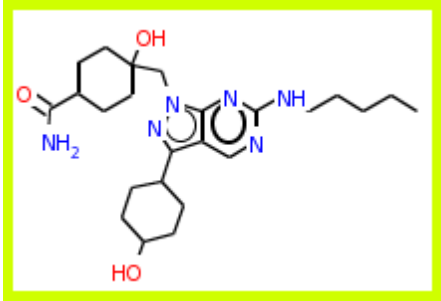
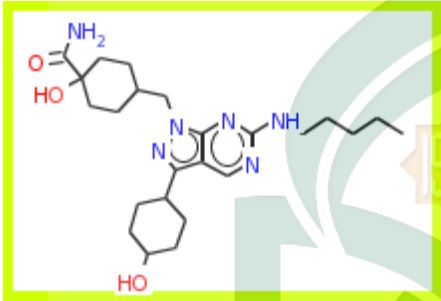
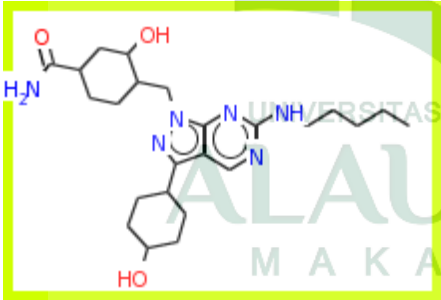
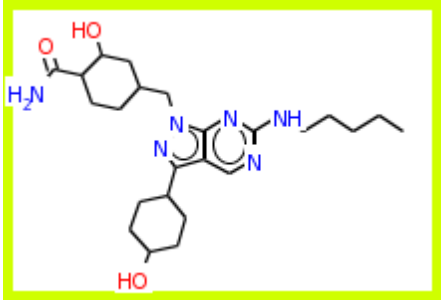
I. Ringkasan Produk Degradasi Senyawa 112

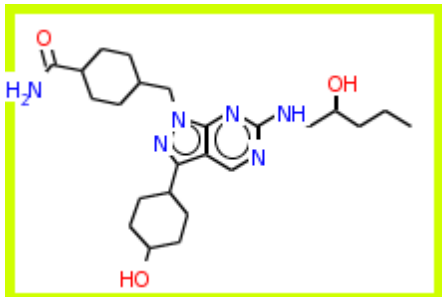
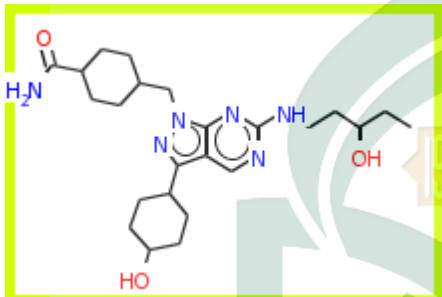
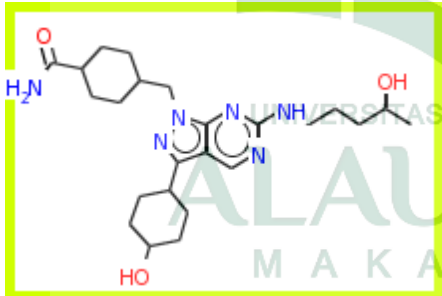
No	CRAFT ID	SMILES	CRAFT overall likelihood	CRAFT shortets pathway

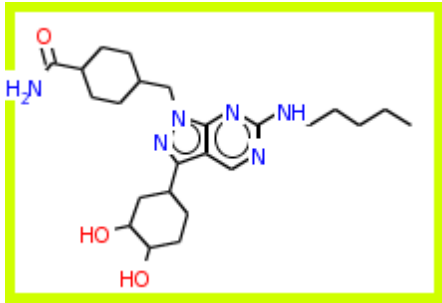
1	640		0.80 (Likely)	Compound 639 > {UM-BBD bt0005 [Likely reaction (0.8)]} > Product 640
2	641		0.80 (Likely)	Compound 639 > {UM-BBD bt0005 [Likely reaction (0.8)]} > Product 641
3	642		0.80 (Likely)	Compound 639 > {UM-BBD bt0005 [Likely reaction (0.8)]} > Product 642

4	643		0.80 (Likely)	Compound 639 > {UM-BBD bt0027 [Likely reaction (0.8)]} > Product 643
5	644		0.80 (Likely)	Compound 639 > {UM-BBD bt0063 [Likely reaction (0.8)]} > Product 644
6	628		0.80 (Likely)	Compound 639 > {UM-BBD bt0063 [Likely reaction (0.8)]} > Product 628

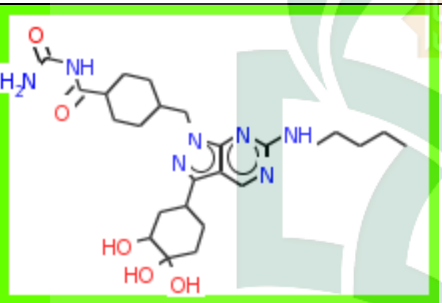
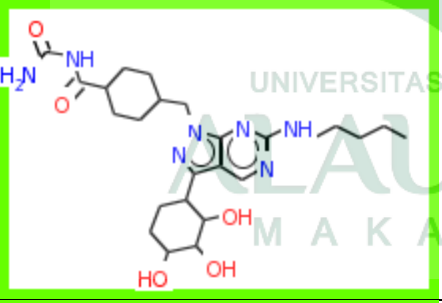
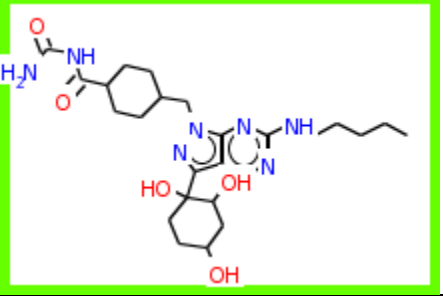
7	645		0.80 (Likely)	Compound 639 > {UM-BBD bt0064 [Likely reaction (0.8)]} > Product 645
8	646		0.60 (neutral)	Compound 639 > {UM-BBD bt0002 [Neutral (0.6)]} > Product 646
9	51		0.60 (neutral)	Compound 639 > {UM-BBD bt0067 [Neutral (0.6)]} > Product 51
10	647		0.60 (neutral)	Compound 639 > {UM-BBD bt0334 [Neutral (0.6)]} > Product 647

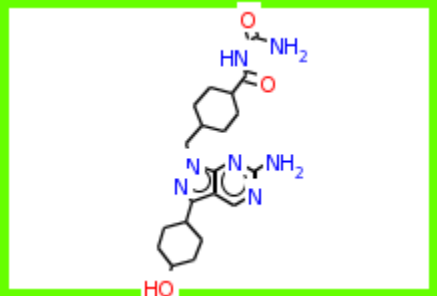
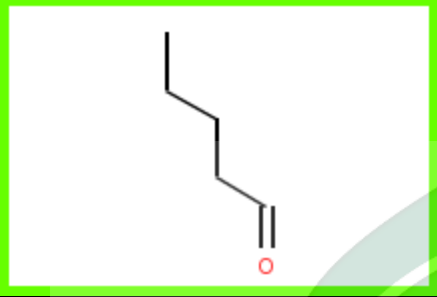
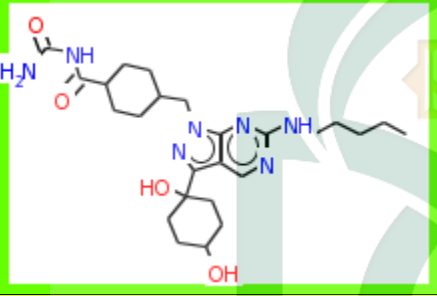
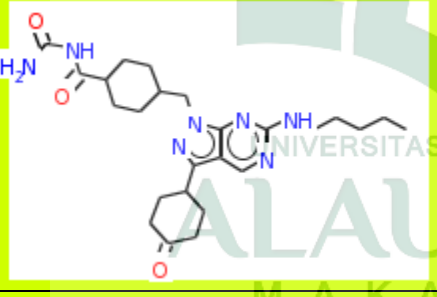
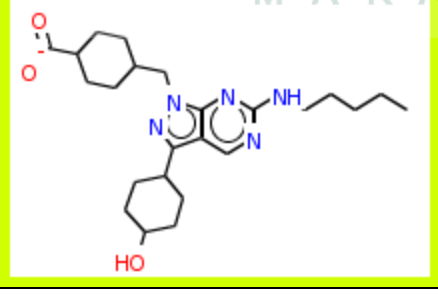
11	648	 <p>The chemical structure of compound 648 features a central benzimidazole ring system. It is substituted with a 4-hydroxycyclohexyl group at the 2-position, a 4-hydroxycyclohexylmethyl group at the 5-position, and a 4-(aminocarbonyl)cyclohexylmethyl group at the 6-position. A butylamino group is attached to the benzimidazole ring at the 7-position.</p>	0.60 (neutral)	Compound 639 > {UM-BBD bt0241 [Neutral (0.6)]} > Product 648
12	649	 <p>The chemical structure of compound 649 is similar to 648, but the 4-(aminocarbonyl)cyclohexylmethyl group is replaced by a 4-hydroxycyclohexylmethyl group.</p>	0.60 (neutral)	Compound 639 > {UM-BBD bt0241 [Neutral (0.6)]} > Product 649
13	650	 <p>The chemical structure of compound 650 is similar to 648, but the 4-hydroxycyclohexylmethyl group is replaced by a 4-(aminocarbonyl)cyclohexylmethyl group.</p>	0.60 (neutral)	Compound 639 > {UM-BBD bt0242 [Neutral (0.6)]} > Product 650
14	651	 <p>The chemical structure of compound 651 is similar to 650, but the 4-(aminocarbonyl)cyclohexylmethyl group is replaced by a 4-hydroxycyclohexylmethyl group.</p>	0.60 (neutral)	Compound 639 > {UM-BBD bt0242 [Neutral (0.6)]} > Product 651

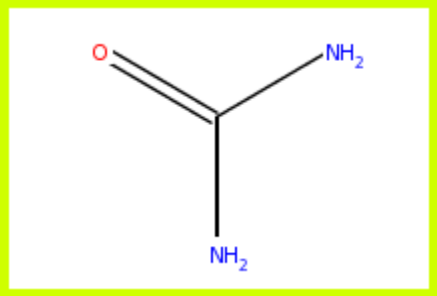
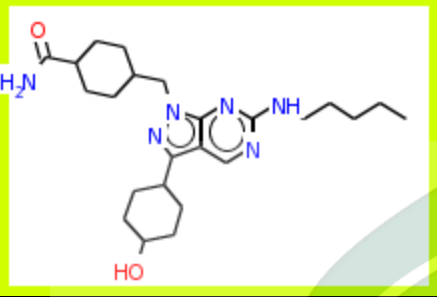
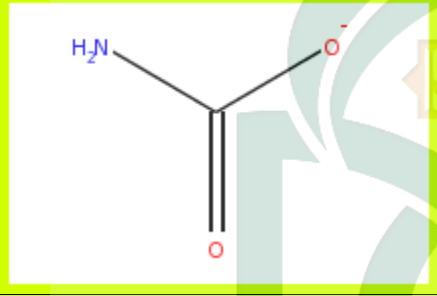
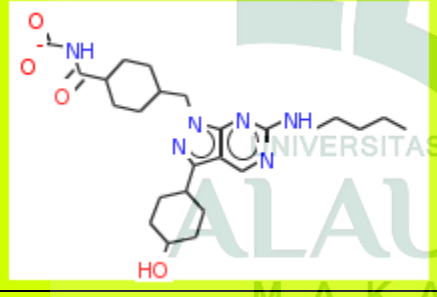
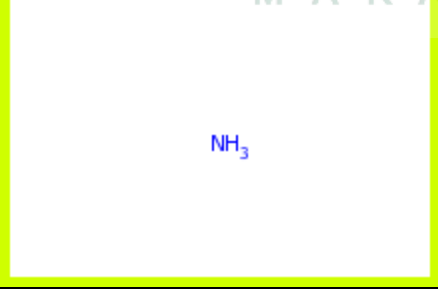
15	652		0.60 (neutral)	Compound 639 > {UM-BBD bt0242 [Neutral (0.6)]} > Product 652
16	653		0.60 (neutral)	Compound 639 > {UM-BBD bt0242 [Neutral (0.6)]} > Product 653
17	654		0.60 (neutral)	Compound 639 > {UM-BBD bt0242 [Neutral (0.6)]} > Product 654

18	630		0.60 (neutral)	Compound 639 > {UM-BBD bt0014 [Neutral (0.6)]} > Product 630
----	-----	---	----------------	--

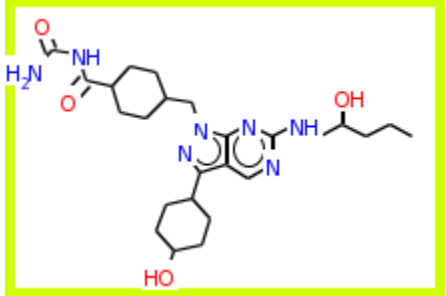
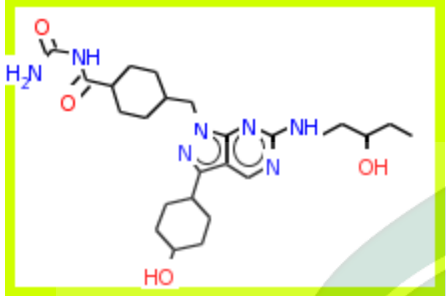
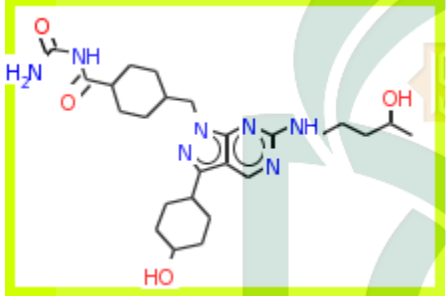
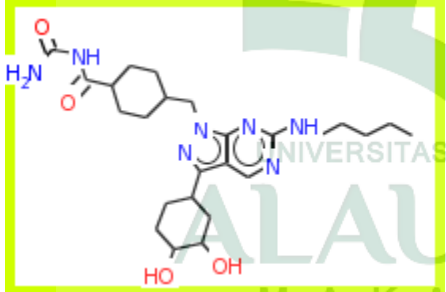
J. Ringkasan Produk Degradasi Senyawa 115

No	CRAFT ID	Struktur Molecular	CRAFT overall likelihood	CRAFT shortets pathway
1	656		0.80 (Likely)	Compound 655 > {UM-BBD bt0005 [Likely reaction (0.8)]} > Product 656
2	657		0.80 (Likely)	Compound 655 > {UM-BBD bt0005 [Likely reaction (0.8)]} > Product 657
3	658		0.80 (Likely)	Compound 655 > {UM-BBD bt0005 [Likely reaction (0.8)]} > Product 658

4	659		0.80 (Likely)	Compound 655 > {UM-BBD bt0063 [Likely reaction (0.8)]} > Product 659
5	628		0.80 (Likely)	Compound 655 > {UM-BBD bt0063 [Likely reaction (0.8)]} > Product 628
6	660		0.80 (Likely)	Compound 655 > {UM-BBD bt0064 [Likely reaction (0.8)]} > Product 660
7	661		0.6 (neutral)	Compound 655 > {UM-BBD bt0002 [Neutral (0.6)]} > Product 661
8	643		0.6 (neutral)	Compound 655 > {UM-BBD bt0067 [Neutral (0.6)]} > Product 643

9	662	 <chem>NC(=O)CN</chem>	0.6 (neutral)	Compound 655 > {UM-BBD bt0067 [Neutral (0.6)]} > Product 662
10	639	 <chem>CCCCNc1nc2c(nc12)C3CCCCC3O</chem>	0.6 (neutral)	Compound 655 > {UM-BBD bt0067 [Neutral (0.6)]} > Product 639
11	663	 <chem>[O-]C(=O)CN</chem>	0.6 (neutral)	Compound 655 > {UM-BBD bt0067 [Neutral (0.6)]} > Product 663
12	664	 <chem>CCCCNc1nc2c(nc12)C3CCCCC3O</chem>	0.6 (neutral)	Compound 655 > {UM-BBD bt0067 [Neutral (0.6)]} > Product 664
13	51	 <chem>N</chem>	0.6 (neutral)	Compound 655 > {UM-BBD bt0067 [Neutral (0.6)]} > Product 51

14	665		0.6 (neutral)	Compound 655 > {UM-BBD bt0334 [Neutral (0.6)]} > Product 665
15	666		0.6 (neutral)	Compound 655 > {UM-BBD bt0241 [Neutral (0.6)]} > Product 666
16	667		0.6 (neutral)	Compound 655 > {UM-BBD bt0241 [Neutral (0.6)]} > Product 667
17	668		0.6 (neutral)	Compound 655 > {UM-BBD bt0242 [Neutral (0.6)]} > Product 668
18	669		0.6 (neutral)	Compound 655 > {UM-BBD bt0242 [Neutral (0.6)]} > Product 669

19	670		0.6 (neutral)	Compound 655 > {UM-BBD bt0242 [Neutral (0.6)]} > Product 670
20	671		0.6 (neutral)	Compound 655 > {UM-BBD bt0242 [Neutral (0.6)]} > Product 671
21	672		0.6 (neutral)	Compound 655 > {UM-BBD bt0242 [Neutral (0.6)]} > Product 672
22	673		0.6 (neutral)	Compound 655 > {UM-BBD bt0014 [Neutral (0.6)]} > Product 673

DAFTAR LAMPIRAN

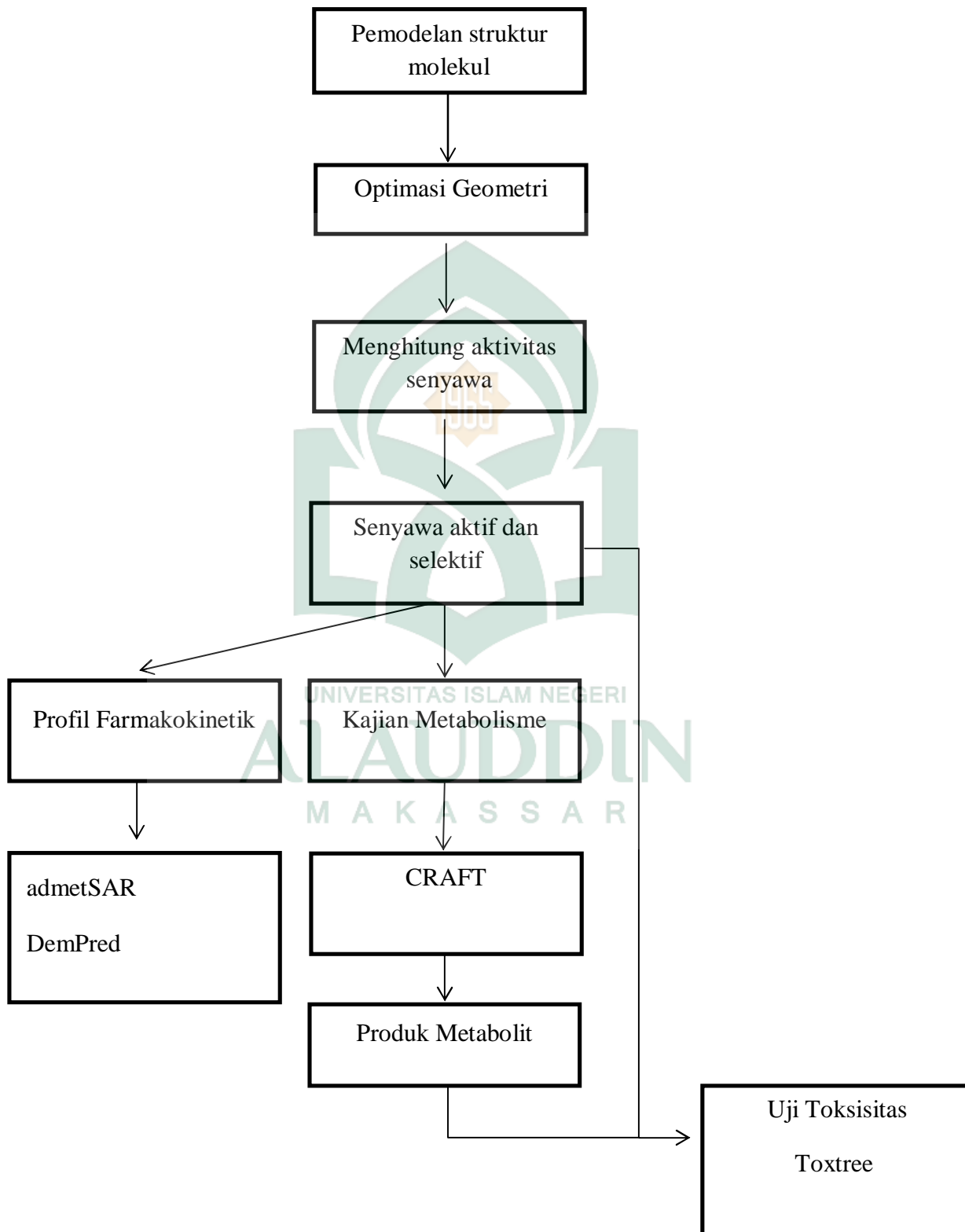
Lampiran 1	Nilai IC50 Pengembangan senyawa turunan pirazolo-[3,4-D]- pirimidin	71
Lampiran 2	Aturan reaksi dan tipe reaksi dengan struktur terkait yang teridentifikasi CRAFT Explorer	90
Lampiran 3	Ringkasan Produk Degradasi senyawa turunan pirazolo-[3,4- D]-pirimidin	95
Lampiran 4	Toxtree plugin dan Classes	157
Lampiran 5	Skema Kerja	158



Lampiran 4

Toxtree Plugins and Classes

No	Toxtree Plugins	Classes
1	Cramer Rules	<ol style="list-style-type: none"> 1. Class I substances are simple chemical structures with efficient modes of metabolism suggesting a low order of oral toxicity; 2. Class II are assigned to intermediate substances 3. Class III substances are those that permit no strong initial presumption of safety, or may even suggest significant toxicity or have reactive functional groups;
2	The Benigni / Bossa rulebase for mutagenicity and carcinogenicity	<ol style="list-style-type: none"> 1. Structural alert for genotoxic carcinogenicity 2. Structural alert non-for genotoxic carcinogenicity 3. Potential <i>Salmonella</i> yphimurium TA100 mutagen based on QSAR 4. Unlike to be a <i>Salmonella</i> yphimurium TA100 mutagen based on QSAR 5. Potential carcinogen based on QSAR 6. Unlike to be a carcinogen based on QSAR 7. For a better assessment a QSAR calculation could be applied 8. Negative for genotoxic carcinogenicity 9. Negative for nongenotoxic carcinogenicity 10. Error when applying decision tree
3	Micronucleous assay in rodent	<ol style="list-style-type: none"> 1. At least one positive structural alerts for micronucleus assay 2. No alerts for icronucleus assay
4	Cytochrome P450-mediated drug metabolism	<ol style="list-style-type: none"> 1. SMARTCyp Rank 1 sites 2. SMARTCyp Rank 2 sites 3. SMARTCyp Rank 3 sites 4. SMARTCyp Rank 4 sites
5	Kroes TTC	<ol style="list-style-type: none"> 1. Substance would not be expected to be a safety concern 2. Negligible risk (low probability of a life time cancer risk greater than 1 in 10⁶) 3. Risk assessment requires compound-specific toxicity data

SKEMA KERJA



Muh.Hidayat, kelahiran Ujung pandang, 20 Februari 1993. Anak kedua dari dua bersaudara dari pasangan Rasyid dan Bau Lawang.

Telah menyelesaikan pendidikan di SD Inpres Benteng 2 Selayar (2004), Mts Lembang BAu (2007), SMA Babussalam Selayar (2010). Masuk Perguruan Tinggi tepatnya di Jurusan Farmasi Fakultas Ilmu Kesehatan UIN Alauddin Makassar pada tahun 2010 melalui jalur UMB (Ujian Masuk Bersama) dan lulus hingga meraih gelar Sarjana Farmasi tahun 2014.

Selama menempuh masa kuliah aktif sebagai pengurus di Himpunan Mahasiswa Jurusan (HMJ) Farmasi Periode 2011-2012, dan pernah menjadi Asisten, Teknologi sediaan farmasi larutan dan semi padat (2013), Kimia Farmasi Kualitatif (2013), Farmasi Fisika (2012), kimia Keperawatan (2013), dan Kimia Fisika (2011 dan 2012).